



รายงานการวิจัย

การจำลองผลกระทบของอุณหภูมิที่เกิดจากปรากฏการณ์โคโรนา
ในสายส่งไฟฟ้าแรงสูงด้วยวิธีไฟไนต์เอลิเมนต์
(Simulation of Temperature Effects Caused by Corona Phenomenon
on a HV Transmission Lines by Finite Element Method)

ได้รับทุนอุดหนุนการวิจัยจาก
มหาวิทยาลัยเทคโนโลยีสุรนารี

ผลงานวิจัยเป็นความรับผิดชอบของหัวหน้าโครงการวิจัยแต่เพียงผู้เดียว



รายงานการวิจัย

การจำลองผลกระทบของอุณหภูมิที่เกิดจากปรากฏการณ์โคโรนา
ในสายส่งไฟฟ้าแรงสูงด้วยวิธีไฟไนต์เอลิเมนต์
(Simulation of Temperature Effects Caused by Corona Phenomenon
on a HV Transmission Lines by Finite Element Method)

คณะผู้วิจัย

หัวหน้าโครงการ

ผู้ช่วยศาสตราจารย์ ดร.เผด็จ เผ่าละออ

สาขาวิชาวิศวกรรมไฟฟ้า

สำนักวิชาวิศวกรรมศาสตร์

มหาวิทยาลัยเทคโนโลยีสุรนารี

ผู้ร่วมวิจัย

นายพีรวัฒน์ มีสุข

ได้รับทุนอุดหนุนการวิจัยจากมหาวิทยาลัยเทคโนโลยีสุรนารี ปีงบประมาณ พ.ศ. 2551

ผลงานวิจัยเป็นความรับผิดชอบของหัวหน้าโครงการวิจัยแต่เพียงผู้เดียว

ธันวาคม 2555

กิตติกรรมประกาศ

ขอขอบคุณมหาวิทยาลัยเทคโนโลยีสุรนารีที่ได้สนับสนุนทุนนักวิจัยรุ่นใหม่สำหรับโครงการ
นี้ โดยการวิจัยครั้งนี้ได้รับทุนอุดหนุนการวิจัยจากมหาวิทยาลัยเทคโนโลยีสุรนารี ปีงบประมาณ 2551



บทคัดย่อ

งานวิจัยนี้ นำเสนอแบบจำลองทางคณิตศาสตร์ของสนามไฟฟ้าและอุณหภูมิที่เกิดจากปรากฏการณ์โคโรนาในระบบส่งจ่ายกำลังไฟฟ้า ซึ่งแสดงอยู่ในรูปของสมการอนุพันธ์ย่อยอันดับที่สอง การจำลองผลด้วยคอมพิวเตอร์ได้ประยุกต์ใช้วิธีไฟไนต์เอลิเมนต์แบบ 3 มิติ ที่พัฒนาขึ้นด้วยโปรแกรม MATLAB พร้อมแสดงผลทางกราฟิกของค่าสนามไฟฟ้าที่มีผลต่ออุณหภูมิที่เกิดขึ้นตลอดสายส่งกำลังไฟฟ้า วิธีไฟไนต์เอลิเมนต์เป็นวิธีการแก้สมการเชิงตัวเลขในรูปแบบสมการที่มีความซับซ้อนที่ได้รับความนิยมอีกวิธีหนึ่ง และได้มีการนำวิธีการดังกล่าวมาใช้ในการงานทางวิศวกรรมอย่างกว้างขวาง แม้กระทั่งใช้ในการจำลองผลการกระจายตัวของสนามไฟฟ้าและอุณหภูมินี้ วิธีไฟไนต์เอลิเมนต์สามารถแก้ปัญหาสมการของแมกเวลล์ที่ปรากฏในแบบจำลองของระบบส่งจ่ายกำลังไฟฟ้า โดยได้ประยุกต์ใช้การประมาณค่าแบบย้อนหลังกับงานที่ขึ้นกับเวลา งานวิจัยนี้ได้นำประโยชน์ของวิธีไฟไนต์เอลิเมนต์มาใช้ในการคำนวณค่าความร้อนตลอดสายส่งกำลังไฟฟ้า และนำผลลัพธ์ที่ได้จากการจำลองผลตรวจสอบความถูกต้องกับผลการวัดของอุณหภูมิ ซึ่งผลที่ปรากฏมีความสอดคล้องไปในทิศทางเดียวกัน

ABSTRACT

This research presents a set of mathematical model of electric field and temperature effects caused by corona phenomenon in transmission system which performs in second-order partial differential equations. The computer simulation is applied using 3-D finite element method that is developed by MATLAB program with the graphical performance of electric field effect to temperature occurred around power transmission line. Finite Element Method is one among popular numerical methods that is able to handle problem complexity in various forms. At present, the finite element method has been widely applied in most engineering fields. Even for problems of electric field and temperature distribution, the finite element method is able to estimate solutions of Maxwell's equations governing the transmission systems. To solve this time-dependent system, a step-by-step numerical integration of the backward difference algorithm is applied. This research utilizes the advantages of the finite element method for handling the heat calculation around power transmission line. And discusses about the simulation results show good agreement with the temperature measurement results.

สารบัญ

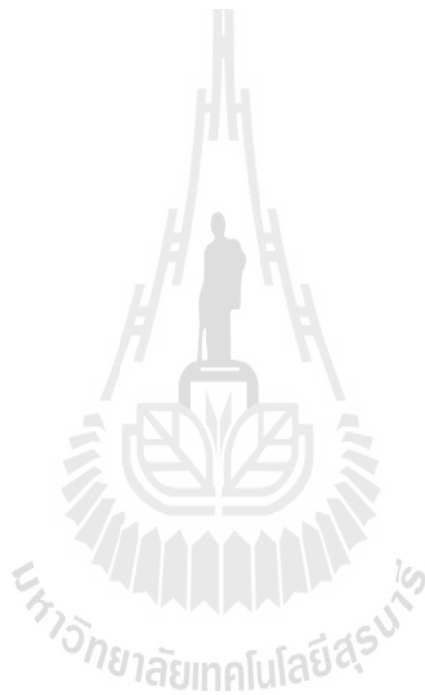
	หน้า
กิตติกรรมประกาศ.....	ก
บทคัดย่อภาษาไทย.....	ข
บทคัดย่อภาษาอังกฤษ.....	ค
สารบัญ.....	ง
สารบัญตาราง.....	ช
สารบัญรูป.....	ซ
บทที่ 1 บทนำ.....	1
1.1 ความสำคัญและที่มาของปัญหาการวิจัย.....	1
1.2 วัตถุประสงค์ของการวิจัย.....	2
1.3 ข้อยกเว้นเบื้องต้น.....	2
1.4 ขอบเขตของการวิจัย.....	2
1.5 ประโยชน์ที่ได้รับจากการวิจัย.....	3
1.6 การจัดรูปแบบรายงานการวิจัย.....	3
บทที่ 2 การคำนวณสนามไฟฟ้าและอุณหภูมิของสายส่งโดยวิธีไฟไนต์เอลิเมนต์แบบ 3 มิติ.....	5
2.1 บทนำ.....	5
2.2 แบบจำลองทางคณิตศาสตร์ของสนามไฟฟ้าและอุณหภูมิของสายส่งกำลังไฟฟ้า.....	5
2.2.1 แบบจำลองทางคณิตศาสตร์ของสนามไฟฟ้า.....	5
2.2.2 แบบจำลองทางคณิตศาสตร์ของอุณหภูมิ.....	7
2.3 การคำนวณสนามไฟฟ้าโดยวิธีไฟไนต์เอลิเมนต์แบบ 3 มิติ.....	7
2.3.1 การแบ่งเอลิเมนต์ของพื้นที่ศึกษา.....	7
2.3.2 ฟังก์ชันการประมาณภายในเอลิเมนต์.....	9
2.3.3 การสร้างสมการของเอลิเมนต์.....	10
2.3.4 การประกอบสมการเอลิเมนต์ที่ขึ้นเป็นระบบ.....	20
2.3.5 การประยุกต์เงื่อนไขขอบเขตพร้อมหาผลเฉลย.....	21
2.4 การคำนวณอุณหภูมิโดยวิธีไฟไนต์เอลิเมนต์แบบ 3 มิติ.....	22
2.4.1 ฟังก์ชันการประมาณภายในเอลิเมนต์.....	22
2.4.2 การสร้างสมการของเอลิเมนต์.....	24
2.4.3 การแก้ปัญหาภายใต้สถานะชั่วคราว.....	30

สารบัญ (ต่อ)

	หน้า
2.4.4 การประกอบสมการอิลิเมนต์ขึ้นเป็นระบบ.....	31
2.4.5 การประยุกต์เงื่อนไขเริ่มต้นและเงื่อนไขขอบเขตพร้อมหาผลเฉลย.....	32
2.5 สรุป.....	32
บทที่ 3 ผลการจำลองสนามไฟฟ้าของสายส่งกำลังไฟฟ้าที่มีผลต่ออุณหภูมิ.....	33
3.1 บทนำ.....	33
3.2 โครงสร้างของโปรแกรมจำลองผลสนามไฟฟ้า.....	33
3.2.1 โปรแกรมสร้างกริด.....	33
3.2.2 โปรแกรมจำลองผลสนามไฟฟ้า.....	35
3.3 ผลการจำลองสนามไฟฟ้าพร้อมวิเคราะห์ผล.....	37
3.4 สรุป.....	40
บทที่ 4 ผลการจำลองอุณหภูมิของสายส่งกำลังไฟฟ้าพร้อมผลการทดสอบจริง.....	41
4.1 บทนำ.....	41
4.2 โครงสร้างของโปรแกรมจำลองผลอุณหภูมิ.....	41
4.2.1 โปรแกรมสร้างกริด.....	41
4.2.2 โปรแกรมจำลองผลอุณหภูมิ.....	41
4.3 ผลการจำลองอุณหภูมิพร้อมวิเคราะห์ผล.....	44
4.4 การเปรียบเทียบผลการจำลองของอุณหภูมิกับผลการทดสอบจริง.....	50
4.5 สรุป.....	51
บทที่ 5 ผลการจำลองสนามไฟฟ้าและอุณหภูมิที่เกิดจากปรากฏการณ์โคโรนา.....	53
5.1 บทนำ.....	53
5.2 ผลการจำลองสนามไฟฟ้าที่เกิดจากปรากฏการณ์โคโรนา.....	53
5.3 ผลการจำลองอุณหภูมิที่เกิดจากปรากฏการณ์โคโรนา.....	55
5.4 สรุป.....	57
บทที่ 6 สรุปและข้อเสนอแนะ.....	58
6.1 สรุป.....	58
6.2 ข้อเสนอแนะงานวิจัยในอนาคต.....	58
บรรณานุกรม.....	60

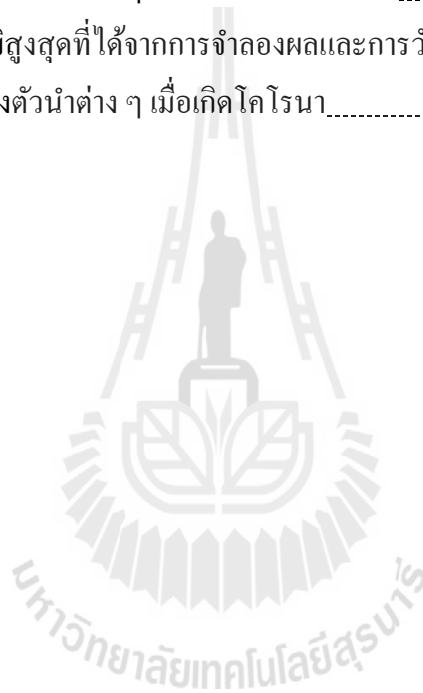
สารบัญ (ต่อ)

	หน้า
ภาคผนวก	
ภาพแสดงเครื่องมือและการวัดอุณหภูมิของสายส่งกำลังไฟฟ้า.....	63
ประวัติผู้วิจัย.....	66



สารบัญตาราง

ตารางที่	หน้า
2.1 ค่าสนามไฟฟ้าที่บริเวณผิวของตัวนำ.....	21
3.1 สนามไฟฟ้าเฉลี่ยของระบบส่งจ่าย 115 kV ที่พาดผ่านระบบจำหน่าย 22 kV เมื่อพิจารณาที่ระยะความสูงต่าง ๆ	39
4.1 อุณหภูมิเฉลี่ยของระบบส่งจ่าย 115 kV ที่พาดผ่านระบบจำหน่าย 22 kV เมื่อพิจารณาที่ระยะความสูงต่าง ๆ	50
4.2 ค่าอุณหภูมิสูงสุดที่ตำแหน่งตัวนำต่าง ๆ ที่ได้จากการจำลองจริง.....	51
4.3 การเปรียบเทียบค่าอุณหภูมิสูงสุดที่ได้จากการจำลองผลและการวัดจริง.....	51
5.1 ค่าอุณหภูมิสูงสุดที่ตำแหน่งตัวนำต่าง ๆ เมื่อเกิดโคโรนา.....	56



สารบัญรูป

รูปที่	หน้า
2.1 ระบบส่งจ่ายกำลังไฟฟ้า 115 kV พาดผ่านระบบจำหน่าย 22 kV ของการไฟฟ้าส่วนภูมิภาค.....	8
2.2 การแบ่งอิลิเมนต์ของระบบไฟฟ้า 115 kV ที่พาดผ่านระบบไฟฟ้าขนาด 22 kV ในแบบ 3 มิติ.....	9
3.1 โครงสร้างแบบ 3 มิติ ของระบบที่ศึกษา.....	34
3.2 ลักษณะการสร้างกริดของระบบส่งจ่ายไฟฟ้า 115 kV และ 22 kV ในงานวิจัย.....	35
3.3 แผนภูมิแสดงการทำงานของโปรแกรมคำนวณสนามไฟฟ้า.....	36
3.4 การกระจายสนามไฟฟ้า (kV/m) บริเวณขอบของระบบส่งจ่าย 115 kV ที่พาดผ่าน ระบบจำหน่าย 22 kV.....	38
3.5 ภาพตัดขวางการกระจายสนามไฟฟ้า (kV/m) ของระบบส่งจ่าย 115 kV ที่พาดผ่าน ระบบจำหน่าย 22 kV.....	38
4.1 แผนภูมิแสดงการทำงานของโปรแกรมคำนวณอุณหภูมิ.....	42
4.2 การกระจายตัวของอุณหภูมิ (°C) บริเวณขอบของระบบส่งจ่าย 115 kV ที่พาดผ่าน ระบบจำหน่าย 22 kV ณ เวลาใด ๆ.....	46
4.3 ภาพตัดขวางการกระจายตัวของอุณหภูมิ (°C) ของระบบส่งจ่าย 115 kV ที่พาดผ่าน ระบบจำหน่าย 22 kV ณ เวลาใด ๆ.....	49
5.1 ค่าสนามไฟฟ้า (kV/m) เมื่อเกิดโคโรนาบริเวณขอบของระบบส่งจ่าย 115 kV ที่พาดผ่าน ระบบจำหน่าย 22 kV.....	54
5.2 ภาพตัดขวางค่าสนามไฟฟ้า (kV/m) เมื่อเกิดโคโรนาของระบบส่งจ่าย 115 kV ที่พาดผ่าน ระบบจำหน่าย 22 kV.....	54
5.3 ค่าอุณหภูมิ (°C) เมื่อเกิดโคโรนาบริเวณขอบของระบบส่งจ่าย 115 kV ที่พาดผ่าน ระบบจำหน่าย 22 kV.....	55
5.4 ภาพตัดขวางค่าอุณหภูมิ (°C) เมื่อเกิดโคโรนาของระบบส่งจ่าย 115 kV ที่พาดผ่าน ระบบจำหน่าย 22 kV.....	56
ก.1 กล้องถ่ายภาพความร้อน (Thermo imager) รุ่น TESCO 880.....	63
ก.2 โปรแกรมวิเคราะห์การวัดอุณหภูมิ TESCO IRSofit software.....	64
ก.3 ภาพถ่ายทางความร้อนและภาพถ่ายจริงจากกล้องถ่ายภาพความร้อน.....	65

บทที่ 1

บทนำ

1.1 ความสำคัญและที่มาของปัญหาการวิจัย

ปัจจุบันผลกระทบที่เกิดจากความเครียดสนามไฟฟ้า (Electric field stress) อันเป็นผลให้เกิดโคโรนาดีสชาร์จ (Corona discharge) หรือปรากฏการณ์โคโรนา (Corona phenomenon) อันมีสาเหตุจากการส่งจ่ายกำลังไฟฟ้าผ่านสายส่งไฟฟ้าแรงสูงได้สร้างปัญหาให้กับหน่วยงานที่ออกแบบและก่อสร้างสายส่งไฟฟ้าเป็นอย่างมาก ทั้งนี้เพราะโคโรนาเป็นกำลังสูญเสียทางไฟฟ้าอย่างหนึ่งที่เกิดขึ้นบนสายส่งไฟฟ้าหรืออุปกรณ์ไฟฟ้าแรงสูง การเกิดโคโรนาจะทำให้กำลังไฟฟ้าถูกเปลี่ยนสภาพเป็นความร้อน แสง เสียง เคมี และแม่เหล็กไฟฟ้า ซึ่งนอกจากจะสูญเสียกำลังไฟฟ้าในรูปความร้อนไปโดยเปล่าประโยชน์แล้ว ยังทำให้เกิดคลื่นแม่เหล็กไฟฟ้าไปรบกวนคลื่นวิทยุอีกด้วย การศึกษาผลกระทบของปรากฏการณ์โคโรนาที่เกิดขึ้นในสายส่งไฟฟ้าแรงสูงจริงในภาคสนามนั้นทำได้ยากและมีค่าใช้จ่ายค่อนข้างสูง ดังนั้นการสร้างแบบจำลองพร้อมการประมวลผลด้วยคอมพิวเตอร์จึงเป็นที่นิยมกันอย่างแพร่หลาย ทั้งนี้ยังจำลองระบบได้เกือบทุกกรณีศึกษาโดยไม่ต้องรบกวนการทำงานของระบบจริงด้วย

ปัญหาสนามไฟฟ้าและความร้อนในทางวิศวกรรมศาสตร์ โดยปกติจะสามารถอธิบายได้ในรูปของสมการอนุพันธ์ หรือ สมการอินทิกรัล เป็นไปได้ยากที่จะหาผลเฉลยแม่นยำตรง (Exact solution) ได้ ดังนั้นจึงจำเป็นต้องใช้วิธีการหาผลเฉลยโดยประมาณด้วยวิธีการคำนวณเชิงตัวเลข อีกทั้งสมรรถนะของคอมพิวเตอร์ที่สูงขึ้น จึงทำให้การคำนวณเชิงตัวเลขสามารถทำได้อย่างรวดเร็ว สำหรับวิธีการหาผลเฉลยโดยประมาณของสมการที่อยู่ในรูปอนุพันธ์ย่อย (Partial differential equation : PDE) วิธีที่มีประสิทธิภาพสูงสุดและได้รับความนิยมแพร่หลายในปัจจุบันได้แก่วิธีไฟไนต์เอลิเมนต์ (Finite element method : FEM) โดยเฉพาะงานวิจัยนี้ซึ่งต้องอาศัยวิธีไฟไนต์เอลิเมนต์แบบ 3 มิติมาช่วยดำเนินการ

ระเบียบวิธีไฟไนต์เอลิเมนต์เริ่มวิวัฒนาการมาตั้งแต่ต้นปี ค.ศ. 1950 ปัจจุบันเป็นวิธีการคำนวณเชิงตัวเลขวิธีหนึ่งที่ได้รับคามนิยมมาก เนื่องจากปัจจุบันคอมพิวเตอร์มีความเร็วสูงและมีหน่วยความจำขนาดใหญ่ ทำให้สามารถคำนวณงานต่าง ๆ ด้วยวิธีไฟไนต์เอลิเมนต์ได้ง่ายและรวดเร็วขึ้น ในปัจจุบันได้มีการนำวิธีไฟไนต์เอลิเมนต์มาประยุกต์ใช้กับงานทางด้านวิศวกรรมแทบทุกสาขา และเริ่มนำมาประยุกต์กับปัญหาสนามไฟฟ้าในปี ค.ศ. 1968 ซึ่งระเบียบวิธีนี้จะแบ่งพื้นที่ของปัญหาเป็นชิ้นส่วนย่อยที่ประกอบขึ้นจากโนด โดยเชื่อมต่อกันด้วยกริด สำหรับปัญหา 2 มิตินิยมใช้ชิ้นส่วนย่อยที่เป็นรูปสามเหลี่ยมสามจุดต่อ (Linear triangle) และสำหรับปัญหา 3 มิตินิยมใช้ชิ้น

ส่วนย่อยที่เป็นรูปทรงสี่หน้าสี่จุดต่อ (Linear tetrahedral) เพื่อประมาณ โดเมนของปัญหาได้ ซึ่งข้อดีของระเบียบวิธีนี้คือ สามารถหาผลเฉลยของระบบที่มีรูปร่างซับซ้อนได้ นอกจากนี้ยังง่ายต่อการกำหนดเงื่อนไขขอบเขตที่อาจมีหลายลักษณะผสมกันอยู่ในระบบ ดังนั้นจึงมีความจำเป็นอย่างยิ่งที่ต้องนำวิธี FEM มาใช้ในการดำเนินการ โดยงานวิจัยนี้ได้ศึกษาถึงค่าสนามไฟฟ้าและอุณหภูมิที่กระจายตัวในระบบส่งจ่ายกำลังไฟฟ้าขนาด 115 kV ที่พาดผ่านระบบจำหน่าย 22 kV ของการไฟฟ้าส่วนภูมิภาคเมื่อเกิดปรากฏการณ์โคโรนา เพื่อเป็นแนวทางในการหาทางป้องกันผลกระทบของอุณหภูมิที่เกิดจากปรากฏการณ์โคโรนา และเนื่องจากปัญหาสนามไฟฟ้าและอุณหภูมินั้นแบบจำลองทางคณิตศาสตร์จะอยู่ในรูปสมการอนุพันธ์ย่อยซึ่งยากในการหาผลเฉลย ดังนั้นระเบียบวิธีไฟไนท์อีลิเมนต์จึงเป็นวิธีเชิงตัวเลขที่เหมาะสมที่สุดสำหรับการจำลองผลเพื่อหาผลเฉลยในงานวิจัยนี้

1.2 วัตถุประสงค์ของการวิจัย

- พัฒนาการความรู้ในการหาทางป้องกันผลของอุณหภูมิที่เกิดจากปรากฏการณ์โคโรนาในสายส่ง
- พัฒนาโปรแกรมไฟไนท์อีลิเมนต์สำหรับคำนวณค่าสนามไฟฟ้าและค่าอุณหภูมิที่กระจายตัวในสายส่งซึ่งเกิดจากปรากฏการณ์โคโรนา ให้สามารถคำนวณได้อย่างรวดเร็ว ถูกต้อง และแม่นยำ
- พัฒนานักวิจัยใหม่และบุคลากรทางด้านการวิเคราะห์และคำนวณผลของปรากฏการณ์โคโรนาในสายส่ง ด้วยเทคนิคการคำนวณขั้นสูง

1.3 ข้อตกลงเบื้องต้น

- พื้นที่ในการทดสอบระบบเป็นพื้นที่โล่ง ปราศจากการกีดขวางของอาคารและสิ่งปลูกสร้างต่าง ๆ
- สายตัวนำเป็นสายเปลือย (Bared wire) รูปทรงกระบอกตัน และมีผิวเรียบ
- กำหนดให้แรงดันและกระแสในสายตัวนำแต่ละเส้นมีค่าแรงดันและกระแสตามที่สม่ำเสมอตลอดทั้งเส้น
- กำหนดให้สภาพพื้นดินในระบบที่พิจารณาเป็นพื้นดินในสภาพทั่วไปปราศจากน้ำขังหรือความชื้นบนหน้าดินสูง

1.4 ขอบเขตของการวิจัย

- พัฒนาโปรแกรมไฟไนท์อีลิเมนต์สำหรับวิเคราะห์ปัญหาความร้อนที่เกิดจากปรากฏการณ์โคโรนาในระบบส่งจ่ายกำลังไฟฟ้า

- พิจารณาสายส่งไฟฟ้าแรงสูงในระบบส่งจ่ายขนาด 115 kV ที่พาดผ่านสายส่งไฟฟ้าในระบบจำหน่ายขนาด 22 kV ของการไฟฟ้าส่วนภูมิภาค
- วิธีไฟไนท์อิลลิเมนต์ที่ใช้ในการวิเคราะห์สนามไฟฟ้าและอุณหภูมิเป็นแบบ 3 มิติ
- ดำเนินการคำนวณเพื่อหาแนวทางการป้องกันผลกระทบของอุณหภูมิที่เกิดจากปรากฏการณ์โคโรนาในสายส่ง

1.5 ประโยชน์ที่ได้รับจากการวิจัย

- ได้หลักการและแนวความคิดสำหรับการศึกษาการกระจายตัวของสนามไฟฟ้าและอุณหภูมิในระบบส่งจ่ายกำลังไฟฟ้า
- ได้โปรแกรมจำลองผลที่เกิดจากการพัฒนาโปรแกรมไฟไนท์อิลลิเมนต์ที่สามารถนำไปประยุกต์ใช้เข้ากับปัญหาจริงในการวิเคราะห์สนามไฟฟ้าและอุณหภูมิในสายส่ง ตลอดจนสามารถนำไปใช้เพื่อประกอบการเรียนการสอนด้านสนามไฟฟ้า อุณหภูมิ และสายส่งกำลังไฟฟ้า
- ได้ข้อสรุปอันเป็นแนวทางในการป้องกันผลกระทบของอุณหภูมิที่เกิดจากปรากฏการณ์โคโรนาในสายส่งไฟฟ้า

1.6 การจัดรูปแบบรายงานการวิจัย

รายงานการวิจัยนี้ประกอบด้วย 6 บท และ 1 ภาคผนวก บทที่ 1 เป็นบทนำ กล่าวถึงความ เป็นมาและความสำคัญของปัญหา วัตถุประสงค์และเป้าหมายของงานวิจัย รวมทั้งขอบเขตของงานวิจัย ส่วนบทอื่นๆ ประกอบด้วยเนื้อหาดังต่อไปนี้

บทที่ 2 นำเสนอแบบจำลองทางคณิตศาสตร์ของสนามไฟฟ้าและอุณหภูมิที่กระจายตัวรอบสายส่ง และนำเสนอการคำนวณสนามไฟฟ้าและอุณหภูมิด้วยระเบียบวิธีไฟไนท์อิลลิเมนต์แบบ 3 มิติ โดยได้อธิบายขั้นตอนต่าง ๆ ในการประยุกต์ใช้ระเบียบวิธีไฟไนท์อิลลิเมนต์ เพื่อคำนวณหาค่าสนามไฟฟ้าและอุณหภูมิที่กระจายรอบ ๆ บริเวณระบบส่งจ่ายขนาด 115 kV ที่พาดผ่านระบบจำหน่ายขนาด 22 kV ของการไฟฟ้าส่วนภูมิภาค

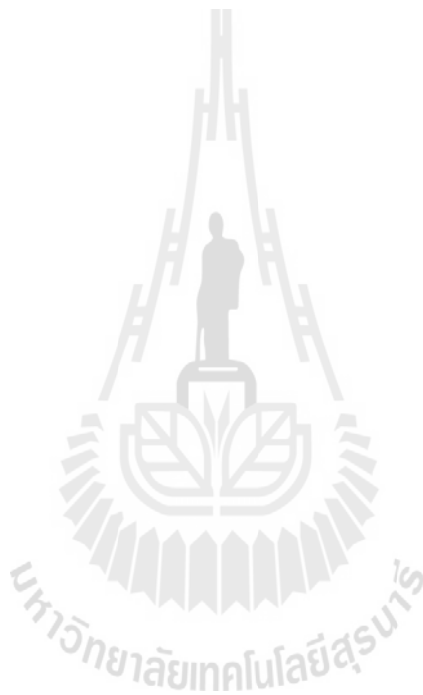
บทที่ 3 อธิบายถึงโปรแกรมจำลองผลสนามไฟฟ้าพร้อมผลการจำลองของระบบสายส่งแบบ 3 มิติ โดยกล่าวถึงพารามิเตอร์ที่ประยุกต์ใช้ในการจำลองผล รวมถึงอธิบายโครงสร้างของโปรแกรมจำลองผล

บทที่ 4 อธิบายถึงโปรแกรมจำลองผลอุณหภูมิพร้อมผลการจำลองของระบบสายส่งแบบ 3 มิติ โดยกล่าวถึงพารามิเตอร์ที่ประยุกต์ใช้ในการจำลองผล รวมถึงอธิบายโครงสร้างของโปรแกรมจำลองผล พร้อมเปรียบเทียบผลการจำลองกับผลการทดสอบจริง

บทที่ 5 มีเนื้อหาว่าด้วยผลการจำลองของสนามไฟฟ้าและอุณหภูมิที่เกิดจากปรากฏการณ์
โคโรนา เพื่อศึกษาถึงผลกระทบของความร้อนบริเวณสายส่งที่เกิดจากปรากฏการณ์โคโรนา

บทที่ 6 เป็นบทสรุปและข้อเสนอแนะ

ส่วนภาคผนวก เป็นการกล่าวถึงเครื่องมือและการวัดอุณหภูมิบริเวณรอบสายส่ง



บทที่ 2

การคำนวณสนามไฟฟ้าและอุณหภูมิของสายส่งโดยวิธีไฟไนต์เอลิเมนต์แบบ 3 มิติ

2.1 บทนำ

ระเบียบวิธีไฟไนต์เอลิเมนต์ (Finite Element Method : FEM) เป็นวิธีที่ใช้ในการหาผลเฉลยแบบประมาณของสมการเชิงอนุพันธ์ย่อย (Partial differential equation : PDE) และเป็นวิธีที่ได้รับความนิยมอย่างแพร่หลายในปัจจุบัน เนื่องจากเป็นวิธีที่สามารถวิเคราะห์งานที่มีโครงสร้างซับซ้อน หรือรูปร่างที่มีลักษณะโค้งมนได้อีกทั้งประสิทธิภาพและการประมวลผลที่สูงขึ้นของคอมพิวเตอร์ในปัจจุบัน นอกจากนี้ในบางระบบที่มีบริเวณที่ต้องการวิเคราะห์มีพื้นที่ขนาดเล็กมาก เมื่อเทียบกับปัญหาโดยรวมของระบบที่เป็นพื้นที่ขนาดใหญ่ ระเบียบวิธีไฟไนต์เอลิเมนต์ก็สามารถแบ่งกริดขนาดเล็กหรือใหญ่ ที่สามารถเชื่อมความสัมพันธ์ของ 2 บริเวณที่มีขนาดแตกต่างกันได้อย่างครอบคลุมและอิสระอย่างเช่น งานวิจัยนี้ที่พิจารณาค่าสนามไฟฟ้าและอุณหภูมิที่ปรากฏขึ้นรอบตัวนำภายในสายส่งซึ่งเป็นบริเวณที่มีขนาดเล็ก ระเบียบวิธีไฟไนต์เอลิเมนต์ก็สามารถตัดกริดรูปทรงสี่หน้าแบบ 3 มิติให้มีขนาดเล็กเพื่อการวิเคราะห์ภายในบริเวณดังกล่าวได้ ในขณะที่บริเวณส่วนใหญ่เป็นอากาศและไม่มีความจำเป็นสำหรับการศึกษามากนัก ระเบียบวิธีไฟไนต์เอลิเมนต์ก็สามารถตัดกริดให้มีขนาดใหญ่ได้เช่นกัน ซึ่งการดำเนินการแบบนี้จะก่อให้เกิดจำนวนเอลิเมนต์ที่ใช้ในระบบที่ศึกษามีจำนวนไม่มาก และสามารถคำนวณหาผลเฉลย ณ บริเวณที่ต้องการได้อย่างรวดเร็ว ดังนั้นในบทนี้จึงได้นำเสนอแบบจำลองทางคณิตศาสตร์ของสนามไฟฟ้าและอุณหภูมิของสายส่งกำลังไฟฟ้า พร้อมทั้งประยุกต์ใช้ระเบียบวิธีไฟไนต์เอลิเมนต์แบบ 3 มิติเพื่อใช้ในการคำนวณหาค่าสนามไฟฟ้าและอุณหภูมิที่กระจายตัวรอบสายส่งต่อไป

2.2 แบบจำลองทางคณิตศาสตร์ของสนามไฟฟ้าและอุณหภูมิของสายส่งกำลังไฟฟ้า

2.2.1 แบบจำลองทางคณิตศาสตร์ของสนามไฟฟ้า

สำหรับปัญหาค่าสนามไฟฟ้าใน 3 มิติในระบบพิกัดฉาก ระเบียบวิธีไฟไนต์เอลิเมนต์นิยมจัดรูปสมการเชิงอนุพันธ์ของปัญหาต่าง ๆ ให้อยู่ในรูปสมการที่ (2-1)

$$D_x \frac{\partial^2 \phi}{\partial x^2} + D_y \frac{\partial^2 \phi}{\partial y^2} + D_z \frac{\partial^2 \phi}{\partial z^2} - G\phi + Q = 0 \quad (2-1)$$

โดยที่ ϕ คือ ฟังก์ชันใด ๆ ที่ต้องการทราบค่า ส่วน D_x, D_y, D_z, G และ Q คือ ค่าคงที่สัมประสิทธิ์

แบบจำลองของสนามไฟฟ้าที่กระจายรอบบริเวณสายส่งไฟฟ้าแรงสูงในรูปแบบ 3 มิติ สามารถอธิบายได้ด้วยสมการที่ (2-2) (Christopoulos, 1995)

$$\left(\frac{\partial^2 \mathbf{E}}{\partial x^2}\right) + \left(\frac{\partial^2 \mathbf{E}}{\partial y^2}\right) + \left(\frac{\partial^2 \mathbf{E}}{\partial z^2}\right) - \mu\epsilon\left(\frac{\partial^2 \mathbf{E}}{\partial t^2}\right) - \mu\sigma\left(\frac{\partial \mathbf{E}}{\partial t}\right) = 0 \quad (2-2)$$

โดยที่ \mathbf{E} คือ สนามไฟฟ้า (Electric field)
 t คือ เวลา (Time)
 μ คือ สภาพขบซึมได้ทางแม่เหล็ก (Permeability)
 ϵ คือ สภาพยอมทางไฟฟ้า (Permittivity)
 σ คือ สภาพนำทางไฟฟ้า (Conductivity)

โดยที่ $\mu = \mu_0\mu_r$ และ $\epsilon = \epsilon_0\epsilon_r$ เมื่อ μ_r คือ สภาพขบซึมได้ทางแม่เหล็กสัมพัทธ์ และ ϵ_r คือ สภาพยอมทางไฟฟ้าสัมพัทธ์ ซึ่ง $\mu_0 = 4\pi \times 10^{-7}$ H/m, $\epsilon_0 = 8.854 \times 10^{-12}$ F/m

จากการใช้คุณสมบัติในการแปลงโดเมนเวลาเป็นโดเมนความถี่ (time-harmonic) อย่างเช่นในระบบสายส่งไฟฟ้าจะได้

$$\frac{\partial \mathbf{E}}{\partial t} \approx j\omega \mathbf{E} \quad (2-3)$$

$$\frac{\partial^2 \mathbf{E}}{\partial t^2} \approx -\omega^2 \mathbf{E} \quad (2-4)$$

ดังนั้นจากสมการที่ (2-2) จึงได้

$$\left(\frac{\partial^2 E}{\partial x^2}\right) + \left(\frac{\partial^2 E}{\partial y^2}\right) + \left(\frac{\partial^2 E}{\partial z^2}\right) + (j\mu\omega\sigma - \mu\omega^2\epsilon)E = 0 \quad (2-5)$$

เปรียบเทียบสมการที่ (2-1) กับ (2-5) เพื่อหาค่าสัมประสิทธิ์ D_x, D_y, D_z, G และ Q จะได้

$$\begin{aligned}
 D_x &= D_y = D_z = 1 \\
 G &= -\mu\epsilon\omega^2 + j\mu\sigma\omega \\
 Q &= 0
 \end{aligned}
 \tag{2-6}$$

2.2.2 แบบจำลองทางคณิตศาสตร์ของอุณหภูมิ

แบบจำลองทางคณิตศาสตร์การกระจายตัวของอุณหภูมิในรูปแบบ 3 มิติ สามารถอธิบายได้ด้วยสมการที่ (2-7) ดังนี้

$$k \frac{\partial}{\partial x} \frac{\partial T}{\partial x} + k \frac{\partial}{\partial y} \frac{\partial T}{\partial y} + k \frac{\partial}{\partial z} \frac{\partial T}{\partial z} + Q = \rho c \frac{\partial T}{\partial t}
 \tag{2-7}$$

โดยที่ T คือ อุณหภูมิ (Temperature)

k คือ ค่าสัมประสิทธิ์การนำความร้อน (Thermal conductivity)

ρ คือ ความหนาแน่นมวล (Mass density)

c คือ ความร้อนจำเพาะ (Specific heat)

Q คือ อัตราปริมาณความร้อนที่ผลิตได้เอง (Internal heat generation)

โดยสมการจะปรากฏอยู่ในรูปสมการอนุพันธ์ย่อยอันดับสอง ซึ่งปัญหาการถ่ายเทความร้อนนี้เป็นแบบเชิงเส้นในสถานะชั่วครู่ (Linear transient heat transfer problem) เป็นปัญหาอีกรูปแบบหนึ่งที่อุณหภูมิจะเปลี่ยนแปลงไปตามเวลา

2.3 การคำนวณสนามไฟฟ้าโดยวิธีไฟไนต์เอลิเมนต์แบบ 3 มิติ

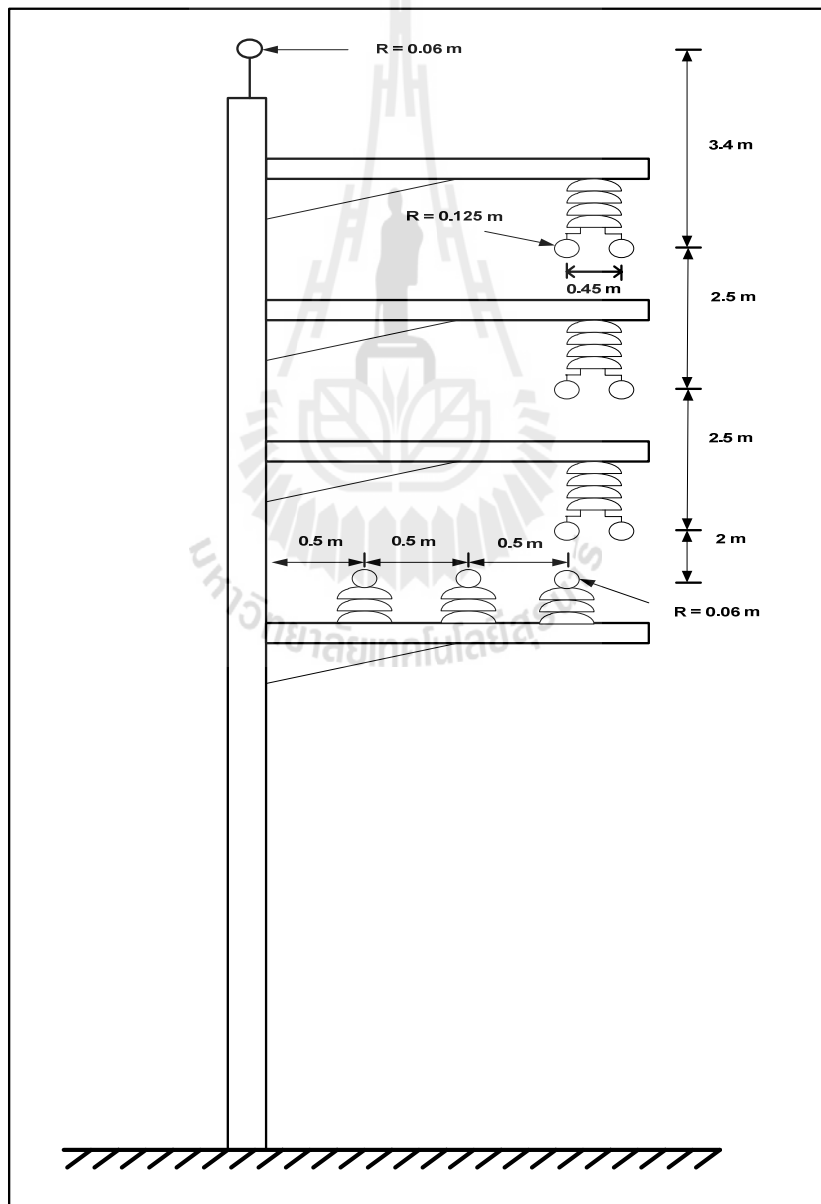
สืบเนื่องจากสมการเชิงอนุพันธ์เพื่อใช้ในการคำนวณหาสนามไฟฟ้าของระบบสายส่งไฟฟ้าแรงสูงดังแสดงในสมการที่ (2-5) นั้น หาผลเฉลยแม่นยำได้ยากเพราะด้วยเหตุที่ติดอยู่ในรูปสมการเชิงอนุพันธ์ย่อยอันดับสอง ดังนั้นการหาค่าผลเฉลยโดยประมาณด้วยระเบียบวิธีไฟไนต์เอลิเมนต์จึงถูกนำมาใช้ในการนี้ ซึ่งประกอบไปด้วยขั้นตอนการดำเนินงานต่าง ๆ ดังนี้

2.3.1 การแบ่งเอลิเมนต์ของพื้นที่ศึกษา

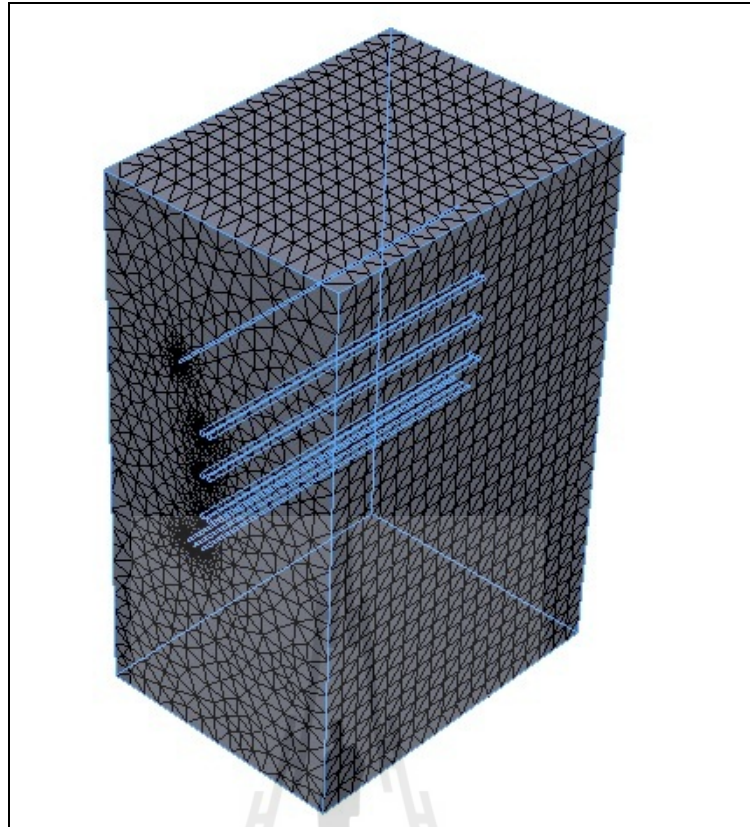
สำหรับงานวิจัยนี้ได้ศึกษาระบบส่งจ่ายกำลังไฟฟ้าขนาด 115 kV ที่พาดผ่านสายส่งในระบบจำหน่าย 22 kV ของการไฟฟ้าส่วนภูมิภาคดังแสดงในรูปที่ 2.1 การออกแบบกริดให้มีขนาดเล็ก

หรือใหญ่นั้นจะแปรเปลี่ยนตามความต้องการในการวิเคราะห์บริเวณที่สนใจภายในส่วนต่าง ๆ ของระบบ

ขั้นตอนแรกเริ่มจากการแบ่งพื้นที่ของระบบสายส่งออกเป็นอิเลเมนต์รูปทรงสี่หน้า (Tetrahedral elements) สำหรับปัญหาในแบบ 3 มิติ โดยสมมติลักษณะการกระจายของผลลัพท์โดยประมาณ ณ ตำแหน่งใด ๆ บนอิเลเมนต์เป็นแบบเชิงเส้น ซึ่งผ่านการเชื่อมต่อกันระหว่างโนดและอิเลเมนต์ต่าง ๆ การออกแบบกริดเป็นรูปอิเลเมนต์ต่าง ๆ ได้ใช้โปรแกรมสำเร็จรูปที่ชื่อว่า Solidworks โดยจะมีจำนวนโนดและอิเลเมนต์ที่ใช้ภายในระบบส่งจ่ายกำลังไฟฟ้า 115 kV ที่พาดผ่านระบบจำหน่ายกำลังไฟฟ้าขนาด 22 kV คิดตั้งอยู่เป็น 18,101 โนด และ 97,304 อิเลเมนต์ สำหรับตัวอย่างการออกแบบกริดของปัญหาในแบบ 3 มิติ สามารถแสดงได้ด้วยรูปที่ 2.2



รูปที่ 2.1 ระบบส่งจ่ายกำลังไฟฟ้า 115 kV พาดผ่านระบบจำหน่าย 22 kV ของการไฟฟ้าส่วนภูมิภาค



รูปที่ 2.2 การแบ่งอิลิเมนต์ของระบบไฟฟ้า 115 kV ที่พาดผ่านระบบไฟฟ้าขนาด 22 kV ในแบบ 3 มิติ

2.3.2 ฟังก์ชันการประมาณภายในอิลิเมนต์

ขั้นตอนนี้เป็นการเลือกรูปแบบของฟังก์ชันการประมาณภายในอิลิเมนต์ โดยเมื่อสมมติให้ลักษณะการกระจายของผลเฉลยบนอิลิเมนต์เป็นแบบเชิงเส้นจะได้

$$E(x, y, z) = E_1 N_1 + E_2 N_2 + E_3 N_3 + E_4 N_4 \quad (2-8)$$

โดยที่ N_n , $n = 1, 2, 3, 4$ คือฟังก์ชันการประมาณภายในอิลิเมนต์ และ E_n , $n = 1, 2, 3, 4$ คือผลลัพธ์ของค่าสนามไฟฟ้าในแต่ละ โหนด 1, 2, 3, 4 ของอิลิเมนต์ ซึ่งในกรณีอิลิเมนต์รูปทรงสี่หน้าสี่จุดต่อจะได้

$$N_i = \frac{1}{6V} (a_i + b_i x + c_i y + d_i z) \quad \text{เมื่อ } i = 1, 2, 3, 4 \quad (2-9)$$

โดยที่

$$a_1 = x_4 (y_2 z_3 - y_3 z_2) + x_3 (y_4 z_2 - y_2 z_4) + x_2 (y_3 z_4 - y_4 z_3)$$

$$a_2 = x_4 (y_3 z_1 - y_1 z_3) + x_3 (y_1 z_4 - y_4 z_1) + x_1 (y_4 z_3 - y_3 z_4)$$

$$a_3 = x_4 (y_1 z_2 - y_2 z_1) + x_2 (y_4 z_1 - y_1 z_4) + x_1 (y_2 z_4 - y_4 z_2)$$

$$a_4 = x_3 (y_2 z_1 - y_1 z_2) + x_2 (y_1 z_3 - y_3 z_1) + x_1 (y_3 z_2 - y_2 z_3)$$

$$b_1 = y_4 (z_3 - z_2) + y_3 (z_2 - z_4) + y_2 (z_4 - z_3)$$

$$b_2 = y_4 (z_1 - z_3) + y_1 (z_3 - z_4) + y_3 (z_4 - z_1)$$

$$b_3 = y_4 (z_2 - z_1) + y_2 (z_1 - z_4) + y_1 (z_4 - z_2)$$

$$b_4 = y_3 (z_1 - z_2) + y_1 (z_2 - z_3) + y_2 (z_3 - z_1)$$

$$c_1 = x_4 (z_2 - z_3) + x_2 (z_3 - z_4) + x_3 (z_4 - z_2)$$

$$c_2 = x_4 (z_3 - z_1) + x_3 (z_1 - z_4) + x_1 (z_4 - z_3)$$

$$c_3 = x_4 (z_1 - z_2) + x_1 (z_2 - z_4) + x_2 (z_4 - z_1)$$

$$c_4 = x_3 (z_2 - z_1) + x_2 (z_1 - z_3) + x_1 (z_3 - z_2)$$

$$d_1 = x_4 (y_3 - y_2) + x_3 (y_2 - y_4) + x_2 (y_4 - y_3)$$

$$d_2 = x_4 (y_1 - y_3) + x_1 (y_3 - y_4) + x_3 (y_4 - y_1)$$

$$d_3 = x_4 (y_2 - y_1) + x_2 (y_1 - y_4) + x_1 (y_4 - y_2)$$

$$d_4 = x_3 (y_1 - y_2) + x_1 (y_2 - y_3) + x_2 (y_3 - y_1)$$

และ V คือปริมาตรของแต่ละอิลิเมนต์ หาได้จากดีเทอร์มิแนนต์ของสัมประสิทธิ์ดังนี้

$$V = \frac{1}{6} \begin{vmatrix} 1 & x_1 & y_1 & z_1 \\ 1 & x_2 & y_2 & z_2 \\ 1 & x_3 & y_3 & z_3 \\ 1 & x_4 & y_4 & z_4 \end{vmatrix} \quad (2-10)$$

2.3.3 การสร้างสมการของอิลิเมนต์

ขั้นตอนนี้ถือว่าเป็นขั้นตอนที่สำคัญที่สุดของวิธีไฟไนท์อิลิเมนต์ ซึ่งเป็นการสร้างสมการของอิลิเมนต์ให้สอดคล้องกับสมการเชิงอนุพันธ์ของปัญหาต่าง ๆ สำหรับปัญหาของระบบ 3 มิติ ทางระเบียบวิธีไฟไนท์อิลิเมนต์จะต้องจัดสมการเชิงอนุพันธ์ของปัญหาให้อยู่ในรูปแบบทั่วไป ดังแสดงในสมการที่ (2-1) ก่อนที่จะเข้าสู่การสร้างสมการของอิลิเมนต์ต่อไป

$$D_x \frac{\partial^2 \phi}{\partial x^2} + D_y \frac{\partial^2 \phi}{\partial y^2} + D_z \frac{\partial^2 \phi}{\partial z^2} - G\phi + Q = 0$$

ประยุกต์วิธีการถ่วงน้ำหนักเศษตกค้าง (Weighting functions) ดังสมการที่ (2-11) ซึ่งวิธีนี้สามารถกระทำได้โดยการคูณเศษตกค้าง R ด้วยฟังก์ชันน้ำหนัก W แล้วอินทิเกรตตลอดทั้งโดเมนของอิลิเมนต์ (v) และกำหนดผลที่ได้ให้เท่ากับศูนย์ ในปัจจุบันการประยุกต์วิธีการถ่วงน้ำหนักเศษตกค้างถือเป็นวิธีที่ถูกจัดให้เป็นวิธีที่นิยมที่สุดในการประยุกต์ใช้กับปัญหาต่าง ๆ ซึ่งเมทริกซ์ที่เกิดขึ้นจากวิธีนี้ปกติแล้วจะมีความสมมาตร จึงก่อให้เกิดประโยชน์อย่างมากในการพัฒนาโปรแกรมคอมพิวเตอร์เพื่อใช้กับปัญหาขนาดใหญ่

$$-\int_v W_n R dv = 0 \quad (2-11)$$

การสร้างสมการของอิลิเมนต์ด้วยการถ่วงน้ำหนักเศษตกค้างมีหลักการดังนี้ คือ การแทนค่าผลเฉลยโดยประมาณลงในสมการที่ (2-1) จะไม่ก่อให้เกิดค่าเท่ากับศูนย์ หากแต่จะมีค่าเท่ากับ R แทน ดังแสดงด้วยสมการที่ (2-12)

$$R = D_x \frac{\partial^2 \phi}{\partial x^2} + D_y \frac{\partial^2 \phi}{\partial y^2} + D_z \frac{\partial^2 \phi}{\partial z^2} - G\phi + Q \quad (2-12)$$

โดยที่ ϕ คือ ตัวแปรที่ไม่ทราบค่า

ซึ่ง R เรียกว่าเศษตกค้าง (Residual) เป็นค่าผิดพลาดที่เกิดขึ้นจากการใช้ผลเฉลยโดยประมาณ ซึ่งไม่ใช่ผลเฉลยแน่นอนตรงของปัญหา เศษตกค้าง R ที่เกิดขึ้นควรมีค่าต่ำที่สุด เพื่อผลเฉลยโดยประมาณที่เกิดขึ้นจะมีค่าที่เที่ยงตรงมากที่สุด

งานวิจัยนี้เลือกกริดรูปทรงสี่เหลี่ยมจัตุรัสในการคำนวณ ดังนั้นจุดที่ไม่ทราบค่าจะมี 4 จุดซึ่งได้แก่จุดต่อทั้งสี่ ดังนั้นจึงต้องการ 4 สมการในการแก้หาจุดที่ไม่ทราบค่า ดังนั้นจากสมการที่ (2-11) จะต้องมีค่า $n = 1, 2, 3, 4$ และในงานวิจัยนี้ วิธีการถ่วงน้ำหนักเศษตกค้างได้เลือกใช้วิธีของกาลอร์คิน (Galerkin) (Preston, Reece, and Sangha, 1988) และ (Kim, Kwon, and Park, 1999) ซึ่งวิธีนี้จะกำหนดให้ $W_n = N_n$ ดังนั้นเมื่อแทน R ด้วยสมการที่ (2-12) ลงในสมการที่ (2-11) จะได้

$$0 = -\int_v [N]^T (D_x \frac{\partial^2 \phi}{\partial x^2} + D_y \frac{\partial^2 \phi}{\partial y^2} + D_z \frac{\partial^2 \phi}{\partial z^2} - G\phi + Q) dv \quad (2-13)$$

โดยที่ $[N]^T$ คือ เวกเตอร์เมทริกซ์แนวตั้งของฟังก์ชันการประมาณภายในอิลิเมนต์

เนื่องจากฟังก์ชันที่ต้องการประมาณ $\phi(x, y, z)$ ไม่มีความต่อเนื่องของอนุพันธ์ระหว่างแต่ละอิลิเมนต์ ดังนั้นสมการอนุพันธ์อันดับสองตามสมการที่ (2-13) สามารถแทนได้ด้วยสมการอนุพันธ์อันดับหนึ่งได้ดังนี้

$$[N]^T \frac{\partial^2 \phi}{\partial x^2} = \frac{\partial}{\partial x} \left([N]^T \frac{\partial \phi}{\partial x} \right) - \frac{\partial [N]^T}{\partial x} \frac{\partial \phi}{\partial x} \quad (2-14)$$

จากสมการที่ (2-13) จะได้

$$0 = \underbrace{-\int_v [N]^T D_x \frac{\partial^2 \phi}{\partial x^2} dv}_{(A)} - \underbrace{\int_v [N]^T D_y \frac{\partial^2 \phi}{\partial y^2} dv}_{(B)} - \underbrace{\int_v [N]^T D_z \frac{\partial^2 \phi}{\partial z^2} dv}_{(C)} + \underbrace{\int_v [N]^T G \phi dv}_{(D)} - \underbrace{\int_v [N]^T Q dv}_{(E)} \quad (2-15)$$

เทอม A ในสมการที่ (2-15) จะสามารถแทนได้ด้วยสมการอนุพันธ์อันดับหนึ่งโดยอาศัยสมการที่ (2-14) จะได้สมการใหม่ดังสมการที่ (2-16)

$$-\int_v [N]^T D_x \frac{\partial^2 \phi}{\partial x^2} dv = -\int_v D_x \frac{\partial}{\partial x} \left([N]^T \frac{\partial \phi}{\partial x} \right) dv + \int_v D_x \frac{\partial [N]^T}{\partial x} \frac{\partial \phi}{\partial x} dv \quad (2-16)$$

นอกจากนี้ยังสามารถประมาณพจน์ $-\int_v D_x \frac{\partial}{\partial x} \left([N]^T \frac{\partial \phi}{\partial x} \right) dv$ โดยอาศัยสมการที่ (2-17) ได้ดังนี้

$$\int_v \frac{\partial}{\partial x} \left([N]^T \frac{\partial \phi}{\partial x} \right) dv = \int_{\Gamma} [N]^T \frac{\partial \phi}{\partial x} \cos \theta d\Gamma \quad (2-17)$$

โดยที่ θ คือ มุมที่กระทำกับอิลิเมนต์

Γ คือ ขอบเขตของอิลิเมนต์

แทนค่าสมการที่ (2-17) ใน (2-16) จึงได้เทอม A เป็น

$$-\int_v D_x [N]^T \frac{\partial^2 \phi}{\partial x^2} dv = -\int_{\Gamma} D_x [N]^T \frac{\partial \phi}{\partial x} \cos \theta d\Gamma + \int_v D_x \frac{\partial [N]^T}{\partial x} \frac{\partial \phi}{\partial x} dv \quad (2-18)$$

เทอม B และ C ก็สามารถแทนได้ด้วยสมการอนุพันธ์อันดับหนึ่งในทำนองเดียวกัน
ดังนั้นสมการที่ (2-15) จึงกลายเป็น

$$0 = -\int_{\Gamma} [N]^T (D_x \frac{\partial \phi}{\partial x} \cos \theta + D_y \frac{\partial \phi}{\partial y} \cos \theta + D_z \frac{\partial \phi}{\partial z} \cos \theta) d\Gamma + \int_v (D_x \frac{\partial [N]^T}{\partial x} \frac{\partial \phi}{\partial x} + D_y \frac{\partial [N]^T}{\partial y} \frac{\partial \phi}{\partial y} + D_z \frac{\partial [N]^T}{\partial z} \frac{\partial \phi}{\partial z}) dv \\ + \int_v [G][N]^T \phi dv - \int_v [Q][N]^T dv \quad (2-19)$$

จาก $\phi^{(e)} = [N]\{\Phi^{(e)}\}$ แทนค่าในสมการที่ (2-19) จะได้

$$0 = -\int_{\Gamma} [N]^T (D_x \frac{\partial \phi}{\partial x} \cos \theta + D_y \frac{\partial \phi}{\partial y} \cos \theta + D_z \frac{\partial \phi}{\partial z} \cos \theta) d\Gamma \\ + \left(\int_v (D_x \frac{\partial [N]^T}{\partial x} \frac{\partial [N]}{\partial x} + D_y \frac{\partial [N]^T}{\partial y} \frac{\partial [N]}{\partial y} + D_z \frac{\partial [N]^T}{\partial z} \frac{\partial [N]}{\partial z}) dv \right) \{\Phi^{(e)}\} \quad (2-20) \\ + \left(\int_v [G][N]^T [N] dv \right) \{\Phi^{(e)}\} - \int_v [Q][N]^T dv$$

และสามารถเขียนให้อยู่ในรูปทั่วไปได้เป็น

$$0 = \{I^{(e)}\} + [K^{(e)}]\{\Phi^{(e)}\} - \{f^{(e)}\} \quad (2-21)$$

โดยที่

$$\{I^{(e)}\} = -\int_{\Gamma} [N]^T \left(D_x \frac{\partial \phi}{\partial x} \cos \theta + D_y \frac{\partial \phi}{\partial y} \cos \theta + D_z \frac{\partial \phi}{\partial z} \cos \theta \right) d\Gamma$$

$$[K^{(e)}] = \int_v \left(D_x \frac{\partial [N]^T}{\partial x} \frac{\partial [N]}{\partial x} + D_y \frac{\partial [N]^T}{\partial y} \frac{\partial [N]}{\partial y} + D_z \frac{\partial [N]^T}{\partial z} \frac{\partial [N]}{\partial z} \right) dv + \int_v G [N]^T [N] dv$$

$$\{f^{(e)}\} = \int_v Q [N]^T dv$$

โดยที่ $[K^{(e)}]$ สามารถจัดรูปใหม่โดยการดำเนินการต่อไปนี้

$$[D] = \begin{bmatrix} D_x & 0 & 0 \\ 0 & D_y & 0 \\ 0 & 0 & D_z \end{bmatrix} \quad (2-22)$$

และเวกเตอร์เกรเดียนต์ (Gradient vector : gv)

$$\{gv\} = \begin{Bmatrix} \frac{\partial \phi}{\partial x} \\ \frac{\partial \phi}{\partial y} \\ \frac{\partial \phi}{\partial z} \end{Bmatrix} = \begin{bmatrix} \frac{\partial [N]}{\partial x} \\ \frac{\partial [N]}{\partial y} \\ \frac{\partial [N]}{\partial z} \end{bmatrix} \{\Phi^{(e)}\} = [B] \{\Phi^{(e)}\}$$

$$[B] = \begin{bmatrix} \frac{\partial [N]}{\partial x} \\ \frac{\partial [N]}{\partial y} \\ \frac{\partial [N]}{\partial z} \end{bmatrix}$$

$$[B]^T = \begin{bmatrix} \frac{\partial [N]^T}{\partial x} & \frac{\partial [N]^T}{\partial y} & \frac{\partial [N]^T}{\partial z} \end{bmatrix} \quad (2-23)$$

จาก $[B]$, $[B]^T$ และ $[D]$ สามารถเขียน $[K^{(e)}]$ ใหม่ได้เป็น

$$[K^{(e)}] = \int_v [B]^T [D] [B] dv + \int_v G [N]^T [N] dv$$

$$[K^{(e)}] = [K_D^{(e)}] + [K_G^{(e)}] \quad (2-24)$$

สำหรับวิธีไฟไนต์เอลิเมนต์แบบ 3 มิติ งานวิจัยนี้เลือกกริดรูปทรงสี่หน้าสี่จุดต่อในการคำนวณ ดังนั้นค่า ϕ ในรูปทรงสี่หน้าจึงสามารถกำหนดได้เป็น

$$\phi^{(e)} = [N_1 \quad N_2 \quad N_3 \quad N_4] \{\Phi^{(e)}\} \quad (2-25)$$

โดยที่

$$\begin{aligned} N_1 &= \frac{1}{6V} (a_1 + b_1 x + c_1 y + d_1 z) \\ N_2 &= \frac{1}{6V} (a_2 + b_2 x + c_2 y + d_2 z) \\ N_3 &= \frac{1}{6V} (a_3 + b_3 x + c_3 y + d_3 z) \\ N_4 &= \frac{1}{6V} (a_4 + b_4 x + c_4 y + d_4 z) \end{aligned} \quad (2-26)$$

และจะได้เวกเตอร์เกรเดียนต์สำหรับเอลิเมนต์นี้เป็น

$$\{gv\} = \begin{bmatrix} \frac{\partial N_1}{\partial x} & \frac{\partial N_2}{\partial x} & \frac{\partial N_3}{\partial x} & \frac{\partial N_4}{\partial x} \\ \frac{\partial N_1}{\partial y} & \frac{\partial N_2}{\partial y} & \frac{\partial N_3}{\partial y} & \frac{\partial N_4}{\partial y} \\ \frac{\partial N_1}{\partial z} & \frac{\partial N_2}{\partial z} & \frac{\partial N_3}{\partial z} & \frac{\partial N_4}{\partial z} \end{bmatrix} \{\Phi^{(e)}\} \quad (2-27)$$

แทนค่าสมการที่ (2-26) ในสมการที่ (2-27) จะได้

$$\{gv\} = \frac{1}{6V} \begin{bmatrix} b_1 & b_2 & b_3 & b_4 \\ c_1 & c_2 & c_3 & c_4 \\ d_1 & d_1 & d_1 & d_1 \end{bmatrix} \{\Phi^{(e)}\} = [B] \{\Phi^{(e)}\}$$

$$[B] = \frac{1}{6V} \begin{bmatrix} b_1 & b_2 & b_3 & b_4 \\ c_1 & c_2 & c_3 & c_4 \\ d_1 & d_1 & d_1 & d_1 \end{bmatrix} \quad (2-28)$$

จากสมการที่ (2-24) จะสังเกตเห็นได้ว่า

$$[K_D^{(e)}] = \int_v [B]^T [D][B] dv$$

เนื่องจาก $[B]$ และ $[D]$ เป็นค่าคงที่จะได้

$$[K_D^{(e)}] = [B]^T [D][B] \int_v dv$$

$$[K_D^{(e)}] = [B]^T [D][B]V \quad (2-29)$$

แทนค่า $[B]$ และ $[D]$ จัดอยู่ในรูปสมการ $[K_D^{(e)}]$ ใหม่ได้เป็น

$$[K_D^{(e)}] = \begin{bmatrix} b_1 & c_1 & d_1 \\ b_2 & c_2 & d_2 \\ b_3 & c_3 & d_3 \\ b_4 & c_4 & d_4 \end{bmatrix} \begin{bmatrix} D_x & 0 & 0 \\ 0 & D_y & 0 \\ 0 & 0 & D_z \end{bmatrix} \begin{bmatrix} b_1 & b_2 & b_3 & b_4 \\ c_1 & c_2 & c_3 & c_4 \\ d_1 & d_2 & d_3 & d_4 \end{bmatrix} V \left(\frac{1}{6V} \right) \left(\frac{1}{6V} \right)$$

$$[K_D^{(e)}] = \frac{1}{36V} \begin{bmatrix} D_x b_1 & D_y c_1 & D_z d_1 \\ D_x b_2 & D_y c_2 & D_z d_2 \\ D_x b_3 & D_y c_3 & D_z d_3 \\ D_x b_4 & D_y c_4 & D_z d_4 \end{bmatrix} \begin{bmatrix} b_1 & b_2 & b_3 & b_4 \\ c_1 & c_2 & c_3 & c_4 \\ d_1 & d_2 & d_3 & d_4 \end{bmatrix}$$

$$[K_D^{(e)}] = \frac{1}{36V} \begin{bmatrix} D_x b_1^2 + D_y c_1^2 + D_z d_1^2 & D_x b_1 b_2 + D_y c_1 c_2 + D_z d_1 d_2 & D_x b_1 b_3 + D_y c_1 c_3 + D_z d_1 d_3 & D_x b_1 b_4 + D_y c_1 c_4 + D_z d_1 d_4 \\ D_x b_2 b_1 + D_y c_2 c_1 + D_z d_2 d_1 & D_x b_2^2 + D_y c_2^2 + D_z d_2^2 & D_x b_2 b_3 + D_y c_2 c_3 + D_z d_2 d_3 & D_x b_2 b_4 + D_y c_2 c_4 + D_z d_2 d_4 \\ D_x b_3 b_1 + D_y c_3 c_1 + D_z d_3 d_1 & D_x b_3 b_2 + D_y c_3 c_2 + D_z d_3 d_2 & D_x b_3^2 + D_y c_3^2 + D_z d_3^2 & D_x b_3 b_4 + D_y c_3 c_4 + D_z d_3 d_4 \\ D_x b_4 b_1 + D_y c_4 c_1 + D_z d_4 d_1 & D_x b_4 b_2 + D_y c_4 c_2 + D_z d_4 d_2 & D_x b_4 b_3 + D_y c_4 c_3 + D_z d_4 d_3 & D_x b_4^2 + D_y c_4^2 + D_z d_4^2 \end{bmatrix}$$

$$\therefore [K_D^{(e)}] = \frac{D_x}{36V} \begin{bmatrix} b_1^2 & b_1b_2 & b_1b_3 & b_1b_4 \\ b_2b_1 & b_2^2 & b_2b_3 & b_2b_4 \\ b_3b_1 & b_3b_2 & b_3^2 & b_3b_4 \\ b_4b_1 & b_4b_2 & b_4b_3 & b_4^2 \end{bmatrix} + \frac{D_y}{36V} \begin{bmatrix} c_1^2 & c_1c_2 & c_1c_3 & c_1c_4 \\ c_2c_1 & c_2^2 & c_2c_3 & c_2c_4 \\ c_3c_1 & c_3c_2 & c_3^2 & c_3c_4 \\ c_4c_1 & c_4c_2 & c_4c_3 & c_4^2 \end{bmatrix} + \frac{D_z}{36V} \begin{bmatrix} d_1^2 & d_1d_2 & d_1d_3 & d_1d_4 \\ d_2d_1 & d_2^2 & d_2d_3 & d_2d_4 \\ d_3d_1 & d_3d_2 & d_3^2 & d_3d_4 \\ d_4d_1 & d_4d_2 & d_4d_3 & d_4^2 \end{bmatrix} \quad (2-30)$$

จากสมการที่ (2-24) ถ้ากำหนดให้ G เป็นค่าคงที่ ภายในแต่ละอิเลเมนต์จะได้

$$\begin{aligned} [K_G^{(e)}] &= \int_v G [N]^T [N] dv \\ &= G \int_v \begin{bmatrix} N_1 \\ N_2 \\ N_3 \\ N_4 \end{bmatrix} [N_1 \quad N_2 \quad N_3 \quad N_4] dv \\ &= G \int_v \begin{bmatrix} N_1^2 & N_1N_2 & N_1N_3 & N_1N_4 \\ N_2N_1 & N_2^2 & N_2N_3 & N_2N_4 \\ N_3N_1 & N_3N_2 & N_3^2 & N_3N_4 \\ N_4N_1 & N_4N_2 & N_4N_3 & N_4^2 \end{bmatrix} dv \end{aligned} \quad (2-31)$$

ใช้สูตรเชิงตัวประกอบ (Factorial formula) ในการประมาณการอินทิเกรตตลอด ปริมาตรคั่งสมการที่ (2-32) โดยที่ $N_1 = L_1$, $N_2 = L_2$, $N_3 = L_3$ และ $N_4 = L_4$ จะได้

$$\int_v L_1^a L_2^b L_3^c L_4^d dv = \frac{a!b!c!d!}{(a+b+c+d+3)!} 6V \quad (2-32)$$

จากสมการที่ (2-31) สามารถแบ่งพิจารณาออกเป็น 2 กรณีคือ $L_n = L_m$ และ $L_n \neq L_m$ ในกรณีที่ $L_n = L_m$ จะขอยกตัวอย่างการพิจารณาจุดต่อที่ 1 ของรูปทรงสี่หน้าจะได้ $a=2$, $b=c=d=0$ ดังนั้นจากสมการที่ (2-32) จะได้

$$\begin{aligned} \int_v L_1^2 dv &= \frac{2!0!0!0!}{(2+0+0+0+3)!} 6V \\ &= \frac{12V}{120} = \frac{2V}{20} \end{aligned}$$

ในกรณีที่ $L_n \neq L_m$ จะขอยกตัวอย่างการพิจารณาจุดต่อที่ 1 และ 2 ของรูปทรงสี่หน้าจะ
ได้ $a = b = 1, c = d = 0$ ดังนั้นจากสมการที่ (2-32) จะได้

$$\int_v L_1^1 L_2^1 dv = \frac{1!1!0!0!}{(1+1+0+0+3)!} 6V$$

$$= \frac{6V}{120} = \frac{1V}{20}$$

ที่จุดต่ออื่น ๆ ของรูปทรงสี่หน้าก็พิจารณาในลักษณะเช่นเดียวกัน ดังนั้นจากสมการที่ (2-31) จะได้

$$[K_G^{(e)}] = \frac{GV}{20} \begin{bmatrix} 2 & 1 & 1 & 1 \\ 1 & 2 & 1 & 1 \\ 1 & 1 & 2 & 1 \\ 1 & 1 & 1 & 2 \end{bmatrix} \quad (2-33)$$

จาก $[K^{(e)}] = [K_D^{(e)}] + [K_G^{(e)}]$

$$[K^{(e)}] = \frac{D_x}{36V} \begin{bmatrix} b_1^2 & b_1 b_2 & b_1 b_3 & b_1 b_4 \\ b_2 b_1 & b_2^2 & b_2 b_3 & b_2 b_4 \\ b_3 b_1 & b_3 b_2 & b_3^2 & b_3 b_4 \\ b_4 b_1 & b_4 b_2 & b_4 b_3 & b_4^2 \end{bmatrix} + \frac{D_y}{36V} \begin{bmatrix} c_1^2 & c_1 c_2 & c_1 c_3 & c_1 c_4 \\ c_2 c_1 & c_2^2 & c_2 c_3 & c_2 c_4 \\ c_3 c_1 & c_3 c_2 & c_3^2 & c_3 c_4 \\ c_4 c_1 & c_4 c_2 & c_4 c_3 & c_4^2 \end{bmatrix}$$

$$+ \frac{D_z}{36V} \begin{bmatrix} d_1^2 & d_1 d_2 & d_1 d_3 & d_1 d_4 \\ d_2 d_1 & d_2^2 & d_2 d_3 & d_2 d_4 \\ d_3 d_1 & d_3 d_2 & d_3^2 & d_3 d_4 \\ d_4 d_1 & d_4 d_2 & d_4 d_3 & d_4^2 \end{bmatrix} + \frac{GV}{20} \begin{bmatrix} 2 & 1 & 1 & 1 \\ 1 & 2 & 1 & 1 \\ 1 & 1 & 2 & 1 \\ 1 & 1 & 1 & 2 \end{bmatrix} \quad (2-34)$$

จากสมการที่ (2-21) สำหรับการหาค่า $\{f^{(e)}\}$ แสดงได้ดังนี้

$$\{f^{(e)}\} = \int_v Q[N]^T dv$$

$$\{f^{(e)}\}_e = Q \int_v \begin{bmatrix} N_1 \\ N_2 \\ N_3 \\ N_4 \end{bmatrix} dv$$

ใช้สูตรเชิงตัวประกอบในการประมาณการอินทิเกรตตลอดปริมาตรดังสมการที่ (2-32) โดยที่ $N_1 = L_1$, $N_2 = L_2$, $N_3 = L_3$ และ $N_4 = L_4$ และสำหรับกรณีนี้ $Q \neq 0$ จะได้

$$\begin{aligned} \{f^{(e)}\} &= Q \int_v \begin{bmatrix} L_1 \\ L_2 \\ L_3 \\ L_4 \end{bmatrix} dv \\ \therefore \{f^{(e)}\} &= \frac{QV}{4} \begin{bmatrix} 1 \\ 1 \\ 1 \\ 1 \end{bmatrix} \end{aligned} \quad (2-35)$$

จากสมการที่ (2-21) สำหรับการหาค่า $\{I^{(e)}\}$ แสดงได้ดังนี้

$$\{I^{(e)}\} = - \int_{\Gamma} [N]^T \left(D_x \frac{\partial \phi}{\partial x} \cos \theta + D_y \frac{\partial \phi}{\partial y} \cos \theta + D_z \frac{\partial \phi}{\partial z} \cos \theta \right) d\Gamma$$

โดยที่ค่าขอบเขตของแต่ละอิเลเมนต์ Γ ได้ประยุกต์เงื่อนไขแบบนอยมันน์ (Neumann condition) โดยกำหนดให้ $\frac{\partial \phi}{\partial \bar{n}} = 0$ เมื่อ \bar{n} คือ เวกเตอร์ตั้งฉากกับขอบเขตของเวกเตอร์ตั้งนั้นจึงได้

$$\{I^{(e)}\} = 0 \quad (2-36)$$

เมื่อแทนสมการที่ (2-35) และ (2-36) ในสมการที่ (2-21) จะได้ดังนี้

$$0 = [K^{(e)}] \{\Phi^{(e)}\} - \frac{QV}{4} \begin{bmatrix} 1 \\ 1 \\ 1 \\ 1 \end{bmatrix} \quad (2-37)$$

เมื่อพิจารณาปัญหาสนามไฟฟ้าแบบ 3 มิติ โดยการแทนค่าสัมประสิทธิ์จากสมการที่ (2-6) ลงในสมการที่ (2-37) จะได้

$$0 = [K^{(e)}] \{\Phi^{(e)}\} \quad (2-38)$$

โดยที่

$$[K^{(e)}] = \frac{1}{36V} \begin{bmatrix} b_1^2 & b_1b_2 & b_1b_3 & b_1b_4 \\ b_2b_1 & b_2^2 & b_2b_3 & b_2b_4 \\ b_3b_1 & b_3b_2 & b_3^2 & b_3b_4 \\ b_4b_1 & b_4b_2 & b_4b_3 & b_4^2 \end{bmatrix} + \frac{1}{36V} \begin{bmatrix} c_1^2 & c_1c_2 & c_1c_3 & c_1c_4 \\ c_2c_1 & c_2^2 & c_2c_3 & c_2c_4 \\ c_3c_1 & c_3c_2 & c_3^2 & c_3c_4 \\ c_4c_1 & c_4c_2 & c_4c_3 & c_4^2 \end{bmatrix} + \frac{1}{36V} \begin{bmatrix} d_1^2 & d_1d_2 & d_1d_3 & d_1d_4 \\ d_2d_1 & d_2^2 & d_2d_3 & d_2d_4 \\ d_3d_1 & d_3d_2 & d_3^2 & d_3d_4 \\ d_4d_1 & d_4d_2 & d_4d_3 & d_4^2 \end{bmatrix} \\ + \frac{(-\mu\epsilon\omega^2 + j\mu\sigma\omega)V}{20} \begin{bmatrix} 2 & 1 & 1 & 1 \\ 1 & 2 & 1 & 1 \\ 1 & 1 & 2 & 1 \\ 1 & 1 & 1 & 2 \end{bmatrix}$$

2.3.4 การประกอบสมการอิลิเมนต์ขึ้นเป็นระบบ

ขั้นตอนนี้เป็นกรนำสมการของแต่ละอิลิเมนต์ที่ได้มาประกอบกันเป็นสมการรวมของระบบ โดยจากขั้นตอนในหัวข้อที่ 2.3.1 หากเราแบ่งลักษณะรูปร่างของปัญหาออกเป็นอิลิเมนต์ย่อยซึ่งประกอบด้วย n จุดต่อ จึงก่อให้เกิดระบบสมการรวมซึ่งประกอบด้วยสมการย่อยจำนวนทั้งสิ้น n สมการ ดังนั้นจึงได้สมการรวมสำหรับการจำลองผลค่าสนามไฟฟ้าของงานวิจัยนี้ในรูปสมการเชิงเส้นคือ

$$[K]\{E\} = \{f\}$$

$$\begin{bmatrix} K_{11} & K_{12} & K_{13} & \cdot & \cdot & K_{1n} \\ K_{21} & K_{22} & K_{23} & \cdot & \cdot & K_{2n} \\ K_{31} & K_{32} & K_{33} & \cdot & \cdot & K_{3n} \\ \cdot & \cdot & \cdot & \cdot & \cdot & \cdot \\ \cdot & \cdot & \cdot & \cdot & \cdot & \cdot \\ K_{n1} & K_{n2} & K_{n3} & \cdot & \cdot & K_{nn} \end{bmatrix}_{\text{sys}(n \times n)} \begin{bmatrix} E_1 \\ E_2 \\ E_3 \\ \cdot \\ \cdot \\ E_n \end{bmatrix}_{\text{sys}(n \times 1)} = \begin{bmatrix} f_1 \\ f_2 \\ f_3 \\ \cdot \\ \cdot \\ f_n \end{bmatrix}_{\text{sys}(n \times 1)} \quad (2-39)$$

เมื่อ E คือ ค่าสนามไฟฟ้าที่ไม่ทราบค่า ณ ตำแหน่งโนดต่าง ๆ

เนื่องจากงานวิจัยนี้มีความแตกต่างกันของเนื้อวัสดุที่มีอยู่ภายในระบบ เมื่อมีความแตกต่างกันระหว่างวัสดุเกิดขึ้น นั้นหมายถึงสมการของระเบียบวิธีไฟไนต์เอลิเมนต์จะต้องเกิดการเปลี่ยนแปลงตามคุณสมบัติของวัสดุแต่ละชนิด สำหรับงานวิจัยนี้มีวัสดุที่ต่างกันอยู่คือ อากาศ และเหล็ก ทั้งสองมีค่าสภาพยอมทางไฟฟ้าสัมพัทธ์ (ϵ_r) เท่ากับ 1 และ 3.5 ตามลำดับ ค่าความนำไฟฟ้า (σ) เท่ากับ 0 และ 0.8×10^7 S/m ตามลำดับ และค่าความซาบซึมได้ทางแม่เหล็กสัมพัทธ์ (μ_r) เท่ากับ 1 และ 300 ตามลำดับ

2.3.5 การประยุกต์เงื่อนไขขอบเขตพร้อมหาผลเฉลย

สำหรับขั้นตอนการประยุกต์เงื่อนไขขอบเขตในงานวิจัยนี้จะมีทั้งหมดอยู่สองบริเวณที่กำหนดเงื่อนไขค่าขอบ คือ บริเวณขอบตัวนำของสายส่งและพื้นดิน ซึ่งค่าสนามไฟฟ้าที่ป้อนให้กับระบบบริเวณขอบของตัวนำสามารถคำนวณได้จาก พิกัดย์ ปีนอนงค์ (2545) โดยสิ่งที่จะต้องทราบสำหรับใช้คำนวณหาค่าสนามไฟฟ้าบริเวณขอบของตัวนำ คือ ขนาดแรงดันของตัวนำ ระยะห่างระหว่างตัวนำ รัศมีตัวนำ ค่าความสูงระหว่างตัวนำกับพื้นดินและค่าพิกัดที่ต้องการคำนวณ โดยค่าขอบเขตของสนามไฟฟ้าของงานวิจัยนี้สามารถสรุปได้ดังตารางที่ 2.1

ตารางที่ 2.1 ค่าสนามไฟฟ้าที่บริเวณผิวของตัวนำ

ตำแหน่งผิวของตัวนำ	ค่าสนามไฟฟ้า (kV/m)
115 kV เฟส A1	$76.8192 \angle 0.5972^\circ$
115 kV เฟส A2	$76.8775 \angle -1.6258^\circ$
115 kV เฟส B1	$86.5803 \angle -7.1082^\circ$
115 kV เฟส B2	$86.6616 \angle 10.1435^\circ$
115 kV เฟส C1	$84.0464 \angle 7.1522^\circ$
115 kV เฟส C2	$82.9595 \angle -12.1602^\circ$
22 kV เฟส A	$4.2147 \angle 87.6353^\circ$
22 kV เฟส B	$5.6390 \angle -76.8926^\circ$
22 kV เฟส C	$7.9585 \angle -45.9062^\circ$
Overhead Ground Wire (OHGW)	$0 \angle 0^\circ$
พื้นดิน	$0 \angle 0^\circ$

หลังจากประยุกต์เงื่อนไขค่าขอบเขตให้กับระบบแล้ว จากสมการที่ (2-39) จะสามารถหาค่าสนามไฟฟ้า (E) ณ โหนดต่าง ๆ ได้ดังสมการที่ (2-40)

$$E = K^{-1} f$$

$$\begin{bmatrix} E_1 \\ E_2 \\ E_3 \\ \cdot \\ \cdot \\ E_n \end{bmatrix}_{\text{sys}(n \times 1)} = \begin{bmatrix} K_{11} & K_{12} & K_{13} & \cdot & \cdot & K_{1n} \\ K_{21} & K_{22} & K_{23} & \cdot & \cdot & K_{2n} \\ K_{31} & K_{32} & K_{33} & \cdot & \cdot & K_{3n} \\ \cdot & \cdot & \cdot & \cdot & \cdot & \cdot \\ \cdot & \cdot & \cdot & \cdot & \cdot & \cdot \\ K_{n1} & K_{n2} & K_{n3} & \cdot & \cdot & K_{nn} \end{bmatrix}_{\text{sys}(n \times 1)}^{-1} \begin{bmatrix} f_1 \\ f_2 \\ f_3 \\ \cdot \\ \cdot \\ f_n \end{bmatrix}_{\text{sys}(n \times 1)} \quad (2-40)$$

2.4 การคำนวณอุณหภูมิโดยวิธีไฟไนต์เอลิเมนต์แบบ 3 มิติ

ในการคำนวณอุณหภูมิด้วยวิธีไฟไนต์เอลิเมนต์นั้น จะต้องอาศัยแบบจำลองทางคณิตศาสตร์ของอุณหภูมิที่อยู่ในรูปของสมการเชิงอนุพันธ์ย่อย สำหรับสมการเชิงอนุพันธ์ย่อยในการคำนวณอุณหภูมิของสายส่งกำลังไฟฟ้าแบบ 3 มิติ จะแสดงได้ในสมการที่ (2-7) ที่ผ่านมา

2.4.1 ฟังก์ชันการประมาณภายในเอลิเมนต์

จากการออกแบบเอลิเมนต์ในหัวข้อ 2.3.1 ที่ได้กล่าวไว้ก่อนหน้านี้แล้ว รูปแบบของเอลิเมนต์ที่ใช้ในการคำนวณอุณหภูมิด้วยวิธีไฟไนต์เอลิเมนต์นั้นจะใช้รูปแบบเหมือนกับเอลิเมนต์ที่ใช้ในการคำนวณสนามไฟฟ้าด้วยวิธีไฟไนต์เอลิเมนต์ทุกประการ เพราะฉะนั้นในหัวข้อนี้จึงข้มาการออกแบบเอลิเมนต์ของพื้นที่ศึกษาไป

ขั้นตอนนี้เป็น การเลือกรูปแบบของฟังก์ชันการประมาณภายในเอลิเมนต์ โดยเมื่อสมมติให้ลักษณะการกระจายของผลเฉลยบนเอลิเมนต์เป็นแบบเชิงเส้นจะได้

$$T(x, y, z) = T_1 N_1 + T_2 N_2 + T_3 N_3 + T_4 N_4 \quad (2-41)$$

โดยที่ N_n , $n = 1, 2, 3, 4$ คือฟังก์ชันการประมาณภายในเอลิเมนต์ และ T_n , $n = 1, 2, 3, 4$ คือผลลัพธ์ของค่าอุณหภูมิในแต่ละ โหนด 1, 2, 3, 4 ของเอลิเมนต์ ซึ่งในกรณีเอลิเมนต์รูปทรงสี่หน้าสี่จุดต่อจะได้

$$N_i = \frac{1}{6V}(a_i + b_i x + c_i y + d_i z) \quad \text{เมื่อ } i = 1, 2, 3, 4 \quad (2-42)$$

โดยที่

$$a_1 = x_4(y_2 z_3 - y_3 z_2) + x_3(y_4 z_2 - y_2 z_4) + x_2(y_3 z_4 - y_4 z_3)$$

$$a_2 = x_4(y_3 z_1 - y_1 z_3) + x_3(y_1 z_4 - y_4 z_1) + x_1(y_4 z_3 - y_3 z_4)$$

$$a_3 = x_4(y_1 z_2 - y_2 z_1) + x_2(y_4 z_1 - y_1 z_4) + x_1(y_2 z_4 - y_4 z_2)$$

$$a_4 = x_3(y_2 z_1 - y_1 z_2) + x_2(y_1 z_3 - y_3 z_1) + x_1(y_3 z_2 - y_2 z_3)$$

$$b_1 = y_4(z_3 - z_2) + y_3(z_2 - z_4) + y_2(z_4 - z_3)$$

$$b_2 = y_4(z_1 - z_3) + y_1(z_3 - z_4) + y_3(z_4 - z_1)$$

$$b_3 = y_4(z_2 - z_1) + y_2(z_1 - z_4) + y_1(z_4 - z_2)$$

$$b_4 = y_3(z_1 - z_2) + y_1(z_2 - z_3) + y_2(z_3 - z_1)$$

$$c_1 = x_4(z_2 - z_3) + x_2(z_3 - z_4) + x_3(z_4 - z_2)$$

$$c_2 = x_4(z_3 - z_1) + x_3(z_1 - z_4) + x_1(z_4 - z_3)$$

$$c_3 = x_4(z_1 - z_2) + x_1(z_2 - z_4) + x_2(z_4 - z_1)$$

$$c_4 = x_3(z_2 - z_1) + x_2(z_1 - z_3) + x_1(z_3 - z_2)$$

$$d_1 = x_4(y_3 - y_2) + x_3(y_2 - y_4) + x_2(y_4 - y_3)$$

$$d_2 = x_4(y_1 - y_3) + x_1(y_3 - y_4) + x_3(y_4 - y_1)$$

$$d_3 = x_4(y_2 - y_1) + x_2(y_1 - y_4) + x_1(y_4 - y_2)$$

$$d_4 = x_3(y_1 - y_2) + x_1(y_2 - y_3) + x_2(y_3 - y_1)$$

และ V คือปริมาตรของแต่ละอิลิเมนต์ หาได้จากดีเทอร์มิแนนต์ของสัมประสิทธิ์ดังนี้

$$V = \frac{1}{6} \begin{vmatrix} 1 & x_1 & y_1 & z_1 \\ 1 & x_2 & y_2 & z_2 \\ 1 & x_3 & y_3 & z_3 \\ 1 & x_4 & y_4 & z_4 \end{vmatrix} \quad (2-43)$$

2.4.2 การสร้างสมการของอิลิเมนต์

จากสมการอนุพันธ์ย่อยของปัญหาความร้อนแบบ 3 มิติ ดังแสดงด้วยสมการที่ (2-7) ที่แสดงก่อนหน้านี้ดังนี้

$$k \frac{\partial}{\partial x} \frac{\partial T}{\partial x} + k \frac{\partial}{\partial y} \frac{\partial T}{\partial y} + k \frac{\partial}{\partial z} \frac{\partial T}{\partial z} + Q = \rho c \frac{\partial T}{\partial t} \quad (2-44)$$

สำหรับการคำนวณอุณหภูมิด้วยวิธีไฟไนต์อิลิเมนต์แบบ 3 มิติ ก็ยังคงประยุกต์วิธีการถ่วงน้ำหนักเศษตกร้างด้วยวิธีการเลอรัคินเช่นเดียวกันกับการคำนวณสนามไฟฟ้าด้วยวิธีไฟไนต์อิลิเมนต์ที่ผ่านมาดังแสดงด้วยสมการที่ (2-45)

$$\int_V W_n R dV = 0 \quad (2-45)$$

โดยเมื่อพิจารณาปัญหาเป็นแบบ 3 มิติ จะได้เศษตกร้าง R ดังสมการที่ (2-46)

$$R = k \frac{\partial}{\partial x} \frac{\partial T}{\partial x} + k \frac{\partial}{\partial y} \frac{\partial T}{\partial y} + k \frac{\partial}{\partial z} \frac{\partial T}{\partial z} - \rho c \frac{\partial T}{\partial t} + Q \quad (2-46)$$

สำหรับอิลิเมนต์รูปทรงสี่หน้า จุดที่ไม่รู้ค่ามี 4 จุดซึ่งได้แก่จุดต่อทั้งสี่ ดังนั้นจึงต้องการ 4 สมการในการแก้หาจุดที่ไม่รู้ค่า นั้นหมายถึงในสมการที่ (2-45) จะต้องมิตำ $n = 1, 2, 3, 4$ และโดยปกติจะเลือก $W_n = N_n$ ดังนั้นเมื่อแทนค่า R ด้วยสมการ (2-46) ลงในสมการที่ (2-45) จะได้

$$\int_V N_n \left(k \frac{\partial}{\partial x} \frac{\partial T}{\partial x} + k \frac{\partial}{\partial y} \frac{\partial T}{\partial y} + k \frac{\partial}{\partial z} \frac{\partial T}{\partial z} - \rho c \frac{\partial T}{\partial t} + Q \right) dV = 0 \quad (2-47)$$

แล้วแตกพจน์ต่างๆ ออกมาเพื่อทำการพิจารณา จะได้

$$\begin{aligned} \int_V N_n \left(k \frac{\partial}{\partial x} \frac{\partial T}{\partial x} + k \frac{\partial}{\partial y} \frac{\partial T}{\partial y} + k \frac{\partial}{\partial z} \frac{\partial T}{\partial z} \right) dV - \int_V N_n \left(\rho c \frac{\partial T}{\partial t} \right) dV \\ + \int_V N_n \left(Q \right) dV = 0 \end{aligned} \quad (2-48)$$

พจน์แรกของสมการที่ (2-48) แทนการแพร่กระจายความร้อน พจน์ที่สองแทนอัตราความจุความร้อน และพจน์ที่สามแทนปริมาณความร้อนที่ผลิตขึ้นได้เองภายในอิลิเมนต์ตามลำดับ สำหรับพจน์แรกซึ่งเป็นพจน์อนุพันธ์อันดับสองใช้วิธีการอินทิเกรตทีละส่วน โดยจะใช้ทฤษฎีบทของเกาส์ ดังนั้นจากสมการที่ (2-48) เมื่อ $n = 1, 2, 3, 4$ จึงสามารถเขียนได้เป็น

$$\int_{\Gamma} N_n \left(k \frac{\partial T}{\partial x} n_x + k \frac{\partial T}{\partial y} n_y + k \frac{\partial T}{\partial z} n_z \right) d\Gamma - \int_V \left(k \frac{\partial N_n}{\partial x} \frac{\partial T}{\partial x} + k \frac{\partial N_n}{\partial y} \frac{\partial T}{\partial y} + k \frac{\partial N_n}{\partial z} \frac{\partial T}{\partial z} \right) dV \quad (2-49)$$

$$- \int_V N_n \rho c \frac{\partial T}{\partial t} dV + \int_V N_n Q dV = 0$$

พจน์ที่เกี่ยวข้องกับขอบเขตของอิลิเมนต์คือพจน์แรกที่มีคุณสมบัติทางกายภาพคือปริมาณความร้อนตลอดขอบนอกของอิลิเมนต์นั้น ๆ หนึ่ง อิลิเมนต์นั้นอาจวางตัวอยู่กลางหรืออยู่ติดขอบนอกของสายส่งกำลังไฟฟ้า หากอิลิเมนต์ที่พิจารณาอยู่ในตำแหน่งขอบนอกตัวนำ ซึ่งมีเงื่อนไขขอบเขตแบบการพาความร้อน เราจึงจำเป็นต้องแทนพจน์นี้ด้วยเงื่อนไขการพาความร้อนดังแสดงด้วยสมการที่ (2-50)

$$q = h(T - T_{\infty}) \quad (2-50)$$

โดยที่ h คือ สัมประสิทธิ์การพาความร้อน

T_{∞} คือ อุณหภูมิอากาศรอบนอก

ดังนั้นจากสมการที่ (2-49) จะได้

$$\int_{\Gamma} N_n (-h(T - T_{\infty})) d\Gamma - \int_V \left(k \frac{\partial N_n}{\partial x} \frac{\partial T}{\partial x} + k \frac{\partial N_n}{\partial y} \frac{\partial T}{\partial y} + k \frac{\partial N_n}{\partial z} \frac{\partial T}{\partial z} \right) dV \quad (2-51)$$

$$- \int_V N_n \rho c \frac{\partial T}{\partial t} dV + \int_V N_n Q dV = 0$$

จากสมการที่ (2-51) จัดรูปใหม่จะได้สมการไฟไนต์อิลิเมนต์สำหรับอิลิเมนต์ที่ได้ดังนี้

$$\int_V N_n \rho c \frac{\partial T}{\partial t} dV + \int_V \left(k \frac{\partial N_n}{\partial x} \frac{\partial T}{\partial x} + k \frac{\partial N_n}{\partial y} \frac{\partial T}{\partial y} + k \frac{\partial N_n}{\partial z} \frac{\partial T}{\partial z} \right) dV \quad (2-52)$$

$$+ \int_{\Gamma} N_n (hT) d\Gamma = \int_V N_n Q dV + \int_{\Gamma} N_n (h(T_\infty)) d\Gamma$$

และเนื่องจากสมการที่ (2-52) มีทั้งหมด 4 สมการ เราสามารถเขียนสมการไฟไนต์อิลิเมนต์ให้อยู่ในรูปเมทริกซ์ได้ดังสมการที่ (2-53) ดังนี้

$$\int_V \left([N]_{4 \times 1} \rho c \frac{\partial T}{\partial t} \right) dV + \int_V \left(k \left[\frac{\partial N}{\partial x} \right]_{4 \times 1} \frac{\partial T}{\partial x} + k \left[\frac{\partial N}{\partial y} \right]_{4 \times 1} \frac{\partial T}{\partial y} + k \left[\frac{\partial N}{\partial z} \right]_{4 \times 1} \frac{\partial T}{\partial z} \right) dV \quad (2-53)$$

$$+ \int_{\Gamma} [N]_{4 \times 1} (hT) d\Gamma = \int_V [N]_{4 \times 1} Q dV + \int_{\Gamma} [N]_{4 \times 1} (h(T_\infty)) d\Gamma$$

และจากสมการที่ (2-41) จึงได้ลักษณะการกระจายของอุณหภูมิ T โดยประมาณในแต่ละอิลิเมนต์เป็น

$$T(x, y, z) = [N]_{1 \times 4} [T]_{4 \times 1}$$

ดังนั้น $\frac{\partial T}{\partial x} = \left[\frac{\partial N}{\partial x} \right]_{1 \times 4} [T]_{4 \times 1}$, $\frac{\partial T}{\partial y} = \left[\frac{\partial N}{\partial y} \right]_{1 \times 4} [T]_{4 \times 1}$ และ $\frac{\partial T}{\partial z} = \left[\frac{\partial N}{\partial z} \right]_{1 \times 4} [T]_{4 \times 1}$

และสมการไฟไนต์อิลิเมนต์จึงกลายมาเป็น

$$\int_V \left([N]_{4 \times 1} \rho c [N]_{1 \times 4} \right) dV \left[\dot{T} \right]_{4 \times 1} + \int_V \left(k \left[\frac{\partial N}{\partial x} \right]_{4 \times 1} \left[\frac{\partial N}{\partial y} \right]_{1 \times 4} + k \left[\frac{\partial N}{\partial x} \right]_{4 \times 1} \left[\frac{\partial N}{\partial y} \right]_{1 \times 4} \right) dV [T]_{4 \times 1} \quad (2-54)$$

$$+ \int_{\Gamma} [N]_{4 \times 1} h [N]_{1 \times 4} d\Gamma [T]_{4 \times 1} = \int_V [N]_{4 \times 1} h T_\infty d\Gamma + \int_V [N]_{4 \times 1} Q dV$$

หรือเขียนสมการไฟไนต์อิลิเมนต์สำหรับแต่ละอิลิเมนต์ที่ประกอบด้วย 4 สมการได้ดังนี้

$$[C]_{4 \times 4} \left\{ \dot{T} \right\}_{4 \times 1} + [[K_c] + [K_h]]_{4 \times 4} \{T\}_{4 \times 1} = \{Q_h\}_{4 \times 1} + \{Q_o\}_{4 \times 1} \quad (2-55)$$

เมทริกซ์ของการจุความร้อน: $[C]_{4 \times 4}$

$$\text{จาก } [C]_{4 \times 4} = \int_V ([N]_{4 \times 1} \rho c [N]_{1 \times 4}) dV \quad (2-56)$$

จากสมการที่ (2-42) และหากความหนาแน่นมวล ρ และความร้อนจำเพาะ C มีค่าคงที่ ดังนั้นสมการที่ (2-56) จึงกลายเป็น

$$[C]_{4 \times 4} = \rho c \int N_n N_m dx dy dz \quad n m = 1 2 3 4 \quad (2-57)$$

สมการที่ (2-57) นี้สามารถคำนวณได้โดยใช้สูตรเชิงตัวประกอบในการประมาณการอินทิเกรตตลอดปริมาตรเหมือนที่ผ่านมาจะได้

$$[C]_{4 \times 4} = \frac{\rho c V}{20} \begin{bmatrix} 2 & 1 & 1 & 1 \\ 1 & 2 & 1 & 1 \\ 1 & 1 & 2 & 1 \\ 1 & 1 & 1 & 2 \end{bmatrix} \quad (2-58)$$

เมทริกซ์ของการแพร่กระจายความร้อน: $[K_c]_{4 \times 4}$

$$\text{จาก } [K_c]_{4 \times 4} = \int_V \left(k \begin{bmatrix} \frac{\partial N}{\partial x} \\ \frac{\partial N}{\partial x} \end{bmatrix}_{4 \times 1} \begin{bmatrix} \frac{\partial N}{\partial x} \\ \frac{\partial N}{\partial x} \end{bmatrix}_{1 \times 4} + k \begin{bmatrix} \frac{\partial N}{\partial y} \\ \frac{\partial N}{\partial y} \end{bmatrix}_{4 \times 1} \begin{bmatrix} \frac{\partial N}{\partial y} \\ \frac{\partial N}{\partial y} \end{bmatrix}_{1 \times 4} + k \begin{bmatrix} \frac{\partial N}{\partial z} \\ \frac{\partial N}{\partial z} \end{bmatrix}_{4 \times 1} \begin{bmatrix} \frac{\partial N}{\partial z} \\ \frac{\partial N}{\partial z} \end{bmatrix}_{1 \times 4} \right) dV \quad (2-59)$$

จากฟังก์ชันการประมาณภายในดังสมการที่ (2-42) จึงได้

$$\frac{\partial N_n}{\partial x} = \frac{b_n}{6V}, \quad \frac{\partial N_n}{\partial y} = \frac{c_n}{6V} \quad \text{และ} \quad \frac{\partial N_n}{\partial z} = \frac{d_n}{6V} \quad n = 1 2 3 4 \quad (2-60)$$

แทนความสัมพันธ์ของสมการที่ (2-60) ลงในสมการที่ (2-59) จะได้

$$[K_c]_{4 \times 4} = k \int \left(\frac{b_n}{6V} \frac{b_m}{6V} + \frac{c_n}{6V} \frac{c_m}{6V} + \frac{d_n}{6V} \frac{d_m}{6V} \right) dx dy dz \quad n m = 1 2 3 4 \quad (2-61)$$

$$= \frac{k}{36V^2} (b_n b_m + c_n c_m + d_n d_m) \int dx dy dz$$

$$= \frac{k}{36V} (b_n b_m + c_n c_m + d_n d_m) \quad n m = 1 2 3 4$$

$$[K_c]_{4 \times 4} = \frac{k}{36V} \begin{bmatrix} b_1 b_1 + c_1 c_1 + d_1 d_1 & b_1 b_2 + c_1 c_2 + d_1 d_2 & b_1 b_3 + c_1 c_3 + d_1 d_3 & b_1 b_4 + c_1 c_4 + d_1 d_4 \\ & b_2 b_2 + c_2 c_2 + d_2 d_2 & b_2 b_3 + c_2 c_3 + d_2 d_3 & b_2 b_4 + c_2 c_4 + d_2 d_4 \\ & & b_3 b_3 + c_3 c_3 + d_3 d_3 & b_3 b_4 + c_3 c_4 + d_3 d_4 \\ & & & b_4 b_4 + c_4 c_4 + d_4 d_4 \end{bmatrix} \quad (2-62)$$

Sym

เมทริกซ์ของการพาความร้อน: $[K_h]_{4 \times 4}$

$$\text{จาก } [K_h]_{4 \times 4} = \int_{\Gamma} [N]_{4 \times 1} h [N]_{1 \times 4} d\Gamma \quad (2-63)$$

จากสมการที่ (2-63) และหากสัมประสิทธิ์การพาความร้อน h มีค่าคงที่ เมื่อพิจารณาการถ่ายเทความร้อนบนปริมาตรของอิลิเมนต์จึงกลายเป็น

$$[K_h]_{4 \times 4} = h \int N_n N_m dx dy dz \quad n m = 1 2 3 4 \quad (2-64)$$

สมการที่ (2-64) ใช้สูตรเชิงตัวประกอบในการประมาณการอินทิเกรตตลอดปริมาตรจะได้

$$[K_h]_{4 \times 4} = \frac{hV}{20} \begin{bmatrix} 2 & 1 & 1 & 1 \\ 1 & 2 & 1 & 1 \\ 1 & 1 & 2 & 1 \\ 1 & 1 & 1 & 2 \end{bmatrix} \quad (2-65)$$

ส่วนการถ่ายเทความร้อนบริเวณขอบของอิลิเมนต์จะได้กล่าวถึงต่อไป

โหลตเวกเตอร์การพาความร้อน: $\{Q_h\}_{4 \times 1}$

$$\text{จาก } \{Q_h\}_{4 \times 1} = \int_{\Gamma} [N]_{4 \times 1} h T_{\infty} d\Gamma \quad (2-66)$$

หรือเมื่อพิจารณาการถ่ายเทความร้อนบนปริมาตรของอีลิเมนต์คั้งนั้นสมการที่ (2-66) จึงกลายเป็น

$$\{Q_h\}_{4 \times 1} = h T_{\infty} \int N_n dx dy dz \quad n = 1 \ 2 \ 3 \ 4 \quad (2-67)$$

สมการที่ (2-67) ใช้สูตรเชิงตัวประกอบในการประมาณการอินทิเกรตตลอดปริมาตรได้ดังนี้

$$\{Q_h\}_{4 \times 1} = \frac{h T_{\infty} V}{4} \begin{bmatrix} 1 \\ 1 \\ 1 \\ 1 \end{bmatrix} \quad (2-68)$$

ส่วนการถ่ายเทความร้อนบริเวณขอบของอีลิเมนต์จะได้อีกกล่าวถึงต่อไป

โหลตเวกเตอร์ของปริมาณความร้อนที่ผลิตเอง: $\{Q_Q\}_{4 \times 1}$

$$\text{จาก } \{Q_Q\}_{4 \times 1} = \int_{\Omega} [N]_{4 \times 1} Q d\Omega \quad (2-69)$$

หรือ

$$\{Q_Q\}_{4 \times 1} = Q \int N_n dx dy dz \quad n = 1 \ 2 \ 3 \ 4 \quad (2-70)$$

สมการที่ (2-70) ใช้สูตรเชิงตัวประกอบในการประมาณการอินทิเกรตตลอดปริมาตรได้ดังนี้

$$\{Q_Q\}_{4 \times 1} = \frac{QV}{4} \begin{bmatrix} 1 \\ 1 \\ 1 \\ 1 \end{bmatrix} \quad (2-71)$$

นอกจากการถ่ายเทความร้อนบนปริมาตรของอิเลเมนต์ที่แสดงไปแล้วยังมีการถ่ายเทความร้อนตลอดพื้นผิวขอบใดขอบหนึ่งของอิเลเมนต์ และขอยกตัวอย่างพื้นผิวของอิเลเมนต์ที่ประกอบด้วย โหนด 2 3 และ 4 ซึ่งพื้นผิวดังกล่าวมีพื้นที่เท่ากับ A การประดิษฐ์อิเลเมนต์ที่สอดคล้องกับการถ่ายเทความร้อนตลอดพื้นผิวขอบดังกล่าวจะได้

$$[K_h]_{4 \times 4} = \frac{hA}{12} \begin{bmatrix} 0 & 0 & 0 & 0 \\ 0 & 2 & 1 & 1 \\ 0 & 1 & 2 & 1 \\ 0 & 1 & 1 & 2 \end{bmatrix} \quad (2-72)$$

$$\{Q_h\}_{4 \times 1} = \frac{hT_\infty A}{3} \begin{bmatrix} 0 \\ 1 \\ 1 \\ 1 \end{bmatrix} \quad (2-73)$$

2.4.3 การแก้ปัญหาภายใต้สถานะชั่วคราว

ปัญหาในงานวิจัยนี้เป็นปัญหาแบบเชิงเส้นในสถานะชั่วคราว โดยค่าอุณหภูมิจะเปลี่ยนแปลงไปตามเวลา ซึ่งการแก้ปัญหาแบบเชิงเส้นในสถานะชั่วคราวเช่นนี้ทำได้ค่อนข้างยาก โดยการแก้สมการที่ (2-55) จากข้างต้นจะต้องอาศัยวิธีการแก้ปัญหาภายใต้สถานะชั่วคราวที่ใช้วิธีความสัมพันธ์เวียนบังเกิด (Recurrence relations) เพื่อให้ได้ค่าผลลัพธ์ที่ต้องการ

การแก้ปัญหาภายใต้สถานะชั่วคราวจะใช้วิธีความสัมพันธ์เวียนบังเกิด โดยจะมีลักษณะของผลลัพธ์ขึ้นอยู่กับค่า β ที่เลือกใช้ ดังแสดงในสมการที่ (2-74) โดย Δt คือค่าของช่วงเวลา (Time step) โดยถ้าเลือกใช้ $\beta = 0$ จะเป็นวิธีของออยเลอร์ (Euler) ถ้า $\beta = 1/2$ เป็นวิธีของแครงก์-นิโคลสัน (Crank-Nicolson) ถ้า $\beta = 2/3$ เป็นวิธีของกาลเลอร์กิน (Galerkin) และถ้า $\beta = 1$ จะเรียกว่าวิธีผลต่างสืบเนื่องย้อนหลัง (Backward difference) ในงานวิจัยนี้เลือกใช้วิธีผลต่างสืบเนื่องย้อนหลังดังสมการที่ (2-75) เนื่องจากวิธีนี้ประกันการลู่เข้าของผลลัพธ์ และผลลัพธ์จะมีการเปลี่ยนแปลงอย่างต่อเนื่อง

$$\beta \left\{ \dot{T} \right\}^{t+\Delta t} + (1-\beta) \left\{ \dot{T} \right\}^t = \frac{\{T\}^{t+\Delta t} - \{T\}^t}{\Delta t} \quad (2-74)$$

$$\left\{ \dot{T} \right\}^{t+\Delta t} = \frac{\{T\}^{t+\Delta t} - \{T\}^t}{\Delta t} \quad (2-75)$$

จากการเลือกใช้วิธีผลต่างสี่เหลี่ยมย้อนหลัง สมการที่ (2-55) จึงพัฒนามาเป็นสมการที่ (2-76) จากนั้นแทนค่าสมการที่ (2-75) ลงในสมการที่ (2-76) จึงได้ผลลัพธ์ของสมการไฟไนท์อิลิเมนต์เมื่อพิจารณาปัญหาในสถานะชั่วคราว ดังสมการที่ (2-77)

$$[C]\{\dot{T}\}^{t+\Delta t} + [K]\{T\}^{t+\Delta t} = \{Q\}^{t+\Delta t} \quad (2-76)$$

$$\left(\frac{1}{\Delta t}[C] + [K]\right)\{T\}^{t+\Delta t} = \frac{1}{\Delta t}[C]\{T\}^t + \{Q\}^{t+\Delta t} \quad (2-77)$$

โดยที่ $[K] = [K_c] + [K_h]$

และ $\{Q\} = \{Q_h\} + \{Q_o\}$

2.4.4 การประกอบสมการอิลิเมนต์ขึ้นเป็นระบบ

ขั้นตอนนี้เป็นกรนำสมการของแต่ละอิลิเมนต์ที่ได้มาประกอบกันเป็นสมการรวมของระบบ โดยหากเราแบ่งลักษณะรูปร่างของปัญหาออกเป็นอิลิเมนต์ย่อยซึ่งประกอบด้วย n จุดต่อ จึงก่อให้เกิดระบบสมการรวมซึ่งประกอบด้วยสมการย่อยจำนวนทั้งสิ้น n สมการ ดังนั้นจึงได้สมการรวมของงานวิจัยนี้เมื่อพิจารณาปัญหาแบบเชิงเส้นในสถานะชั่วคราว คือ

$$\left(\frac{1}{\Delta t}[C]_{n \times n} + [K]_{n \times n}\right)\{T\}_{n \times 1}^{t+\Delta t} = \frac{1}{\Delta t}[C]_{n \times n}\{T\}_{n \times 1}^t + \{Q\}_{n \times 1}^{t+\Delta t} \quad (2-78)$$

จัดรูปใหม่ได้เป็น

$$([C]_{n \times n} + \Delta t[K]_{n \times n})\{T\}_{n \times 1}^{t+\Delta t} = [C]_{n \times n}\{T\}_{n \times 1}^t + \Delta t\{Q\}_{n \times 1}^{t+\Delta t} \quad (2-79)$$

เมื่อ $[M]_{n \times n} = [C]_{n \times n} + \Delta t[K]_{n \times n}$

$$[F]_{n \times 1} = [C]_{n \times n}\{T\}_{n \times 1}^t + \Delta t\{Q\}_{n \times 1}^{t+\Delta t}$$

ดังนั้นจึงได้สมการรวมของงานวิจัยนี้คือ

$$[M]_{n \times n} \{T\}_{n \times 1}^{t+\Delta t} = [F]_{n \times 1} \quad (2-80)$$

2.4.5 การประยุกต์เงื่อนไขเริ่มต้นและเงื่อนไขขอบเขตพร้อมหาผลเฉลย

ขั้นตอนการหาค่าผลเฉลยของอุณหภูมิ T เริ่มจากการกำหนดเงื่อนไขเริ่มต้นให้แก่ระบบสายส่งกำลังไฟฟ้า และเงื่อนไขขอบเขตบริเวณต่างๆ โดยงานวิจัยนี้มีค่าเงื่อนไขเริ่มต้นในรอบแรกที่พิจารณาระบบสายส่งกำลังไฟฟ้า คือ $T(t=0) = 25 \text{ }^{\circ}\text{C}$

ส่วนค่าโพลดเวกเตอร์ของปริมาณความร้อนจะใช้ค่าปริมาณความร้อนที่ผลิตขึ้นเองของทั้งปริมาณที่พิจารณา โดยค่าปริมาณความร้อนจะหาได้จากความสัมพันธ์ของค่าสนามไฟฟ้าดังนี้

$$Q = \sigma E^2 \quad (2-81)$$

เมื่อ σ คือ ค่าสภาพนำทางไฟฟ้า

E คือ ค่าสนามไฟฟ้า

2.5 สรุป

ในบทนี้ได้นำเสนอแบบจำลองทางคณิตศาสตร์ของสนามไฟฟ้าและอุณหภูมิในสายส่งไฟฟ้าแรงสูง ประกอบด้วยคำนี้ถึงคุณสมบัติต่างๆ ทางไฟฟ้าของวัสดุที่แตกต่างกันในระบบ ซึ่งแบบจำลองทางคณิตศาสตร์จะปรากฏอยู่ในรูปของสมการอนุพันธ์ย่อยอันดับสอง การประยุกต์วิธีไฟไนต์อีลิเมนต์แบบ 3 มิติเพื่อคำนวณหาค่าสนามไฟฟ้าและอุณหภูมิได้ใช้วิธีการถ่วงน้ำหนักเศษตกค้างของกาลเลอร์กิน รายละเอียดต่างๆ ในบทนี้ จะนำไปสู่การพัฒนาโปรแกรมไฟไนต์อีลิเมนต์เพื่อใช้เป็นโปรแกรมจำลองผลระบบที่จะได้กล่าวถึงในบทที่ 3 และบทที่ 4 ต่อไป

บทที่ 3

ผลการจำลองสนามไฟฟ้าของสายส่งกำลังไฟฟ้าที่มีผลต่ออุณหภูมิ

3.1 บทนำ

การจำลองผลของงานวิจัยนี้มีวัตถุประสงค์เพื่อคำนวณอุณหภูมิในระบบส่งจ่าย 115 kV ที่พาดผ่านสายส่งในระบบจำหน่าย 22 kV ของการไฟฟ้าส่วนภูมิภาค ซึ่งค่าอุณหภูมิที่คำนวณได้นั้นจะมีผลมาจากค่าสนามไฟฟ้า ดังนั้นจึงมีความจำเป็นที่ต้องศึกษาถึงการกระจายตัวของสนามไฟฟ้า ณ ตำแหน่งต่าง ๆ ภายในสายส่งกำลังไฟฟ้า ในบทที่ 3 นี้จึงได้กล่าวถึงค่าพารามิเตอร์ต่าง ๆ ที่ใช้ในการจำลองผลและอธิบายถึงโปรแกรมจำลองผลด้วยระเบียบวิธีไฟไนต์เอลิเมนต์แบบ 3 มิติ โดยโปรแกรมทั้งหมดถูกออกแบบให้ทำงานบนพื้นฐานการใช้งานของ MATLAB™

3.2 โครงสร้างของโปรแกรมจำลองผลสนามไฟฟ้า

การคำนวณค่าสนามไฟฟ้าภายใต้ระบบสายส่งไฟฟ้าแรงสูงด้วยระเบียบวิธีไฟไนต์เอลิเมนต์แบบ 3 มิติ สามารถดำเนินการคำนวณตามขั้นตอนภายในโครงสร้างของโปรแกรมจำลองผลที่จะได้กล่าวถึงต่อไป งานวิจัยนี้ได้ดำเนินการสร้างกริดด้วยโปรแกรมสำเร็จรูปเพื่อนำข้อมูลของโนดและเอลิเมนต์มาพัฒนาต่อยอดด้วยโปรแกรม MATLAB™ ที่ประดิษฐ์ขึ้นเอง โดยอธิบายถึงโครงสร้างของโปรแกรมจำลองผลแบบ 3 มิติได้ดังนี้

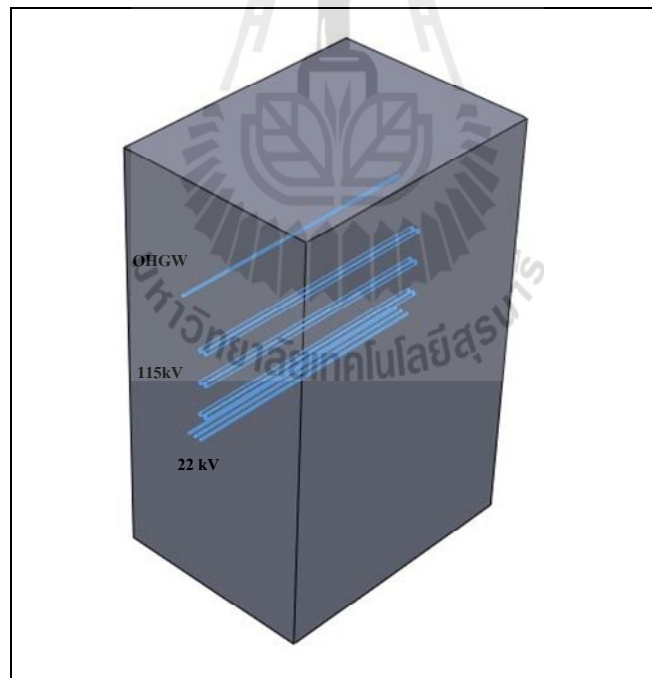
3.2.1 โปรแกรมสร้างกริด

โปรแกรมการสร้างกริดสำหรับปัญหา 3 มิติในงานวิจัยนี้ จะใช้การสร้างกริดจากโปรแกรมสำเร็จรูปที่ชื่อว่า Solidworks ซึ่งประโยชน์ของโปรแกรมสำเร็จรูปนี้จะใช้สำหรับเพียงเพื่อสร้างกริดเท่านั้น สำหรับข้อมูลจากโปรแกรม Solidworks ที่จำเป็นต่อการนำไปพัฒนาเป็นโปรแกรมไฟไนต์เอลิเมนต์แบบ 3 มิติได้แก่ ข้อมูลบอกระยะพิกัดในแนวแกน x , y และ z ข้อมูลบอกหมายเลขโนด ข้อมูลบอกหมายเลขเอลิเมนต์ ข้อมูลบอกหมายเลขที่แบ่งชนิดของวัสดุในระบบ และข้อมูลบอกหมายเลขของขอบเขตชิ้นงานเพื่อกำหนดเงื่อนไข ส่วนขั้นตอนของระเบียบวิธีไฟไนต์เอลิเมนต์อื่น ๆ อันได้แก่ การสร้างสมการของแต่ละเอลิเมนต์ การสร้างเมทริกซ์ระบบสมการรวม การกำหนดเงื่อนไขค่าขอบเขต และการแก้สมการเชิงเส้นเพื่อหาค่าผลเฉลยนั้น จะทำการพัฒนาด้วยโปรแกรม MATLAB ที่ประดิษฐ์ขึ้นเองเพื่อจำลองผลต่อไป

งานวิจัยนี้ได้แบ่งพื้นที่ศึกษาออกเป็นบริเวณย่อย ๆ ได้แก่ บริเวณที่เป็นตัวนำและบริเวณที่เป็นอากาศ (Space) โดยบริเวณตัวนำประกอบไปด้วย

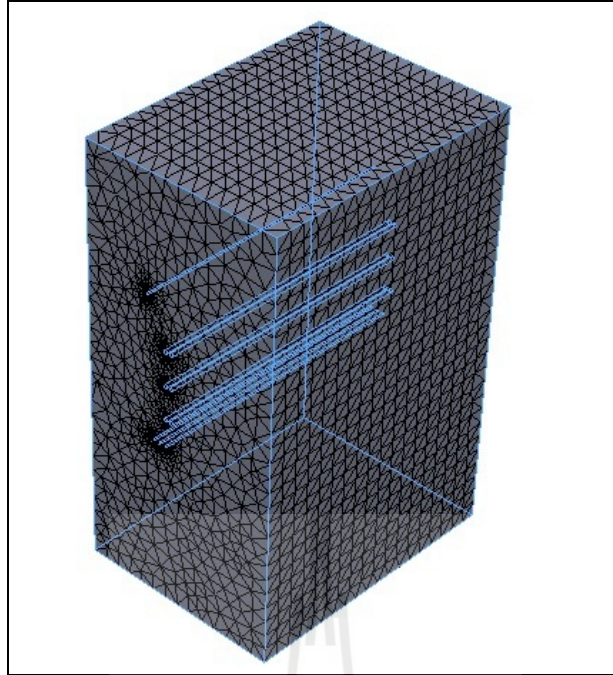
- ระบบส่งจ่ายขนาด 115 kV วงจรเดี่ยว เฟส A, 2 bundle
- ระบบส่งจ่ายขนาด 115 kV วงจรเดี่ยว เฟส B, 2 bundle
- ระบบส่งจ่ายขนาด 115 kV วงจรเดี่ยว เฟส C, 2 bundle
- ระบบส่งจ่ายขนาด 22 kV วงจรเดี่ยว เฟส A, 1 bundle
- ระบบส่งจ่ายขนาด 22 kV วงจรเดี่ยว เฟส B, 1 bundle
- ระบบส่งจ่ายขนาด 22 kV วงจรเดี่ยว เฟส C, 1 bundle
- สายดินเหนือศีรษะ (Overhead ground wire : OHGW)

สำหรับขอบเขตของระบบที่ศึกษา ได้กำหนดขอบเขตของปัญหาให้มีความกว้าง 15 เมตร สูงจากพื้นดิน 30 เมตร และมีความลึก 20 เมตร ซึ่งเป็นขอบเขตของปัญหาที่มีความเหมาะสมต่องานวิจัย ซึ่งงานวิจัยนี้ได้ใช้การวาดภาพของระบบที่ศึกษาแบบ 3 มิติ โดยการใช้โปรแกรม Solidworks ดังแสดงภาพรวมของระบบที่ศึกษาเป็นแบบ 3 มิติ ได้ดังรูปที่ 3.1 ซึ่งเป็นการแสดงสายส่งในระบบส่งจ่าย 115 kV ที่พาดผ่านสายส่งในระบบจำหน่าย 22 kV



รูปที่ 3.1 โครงสร้างแบบ 3 มิติ ของระบบที่ศึกษา

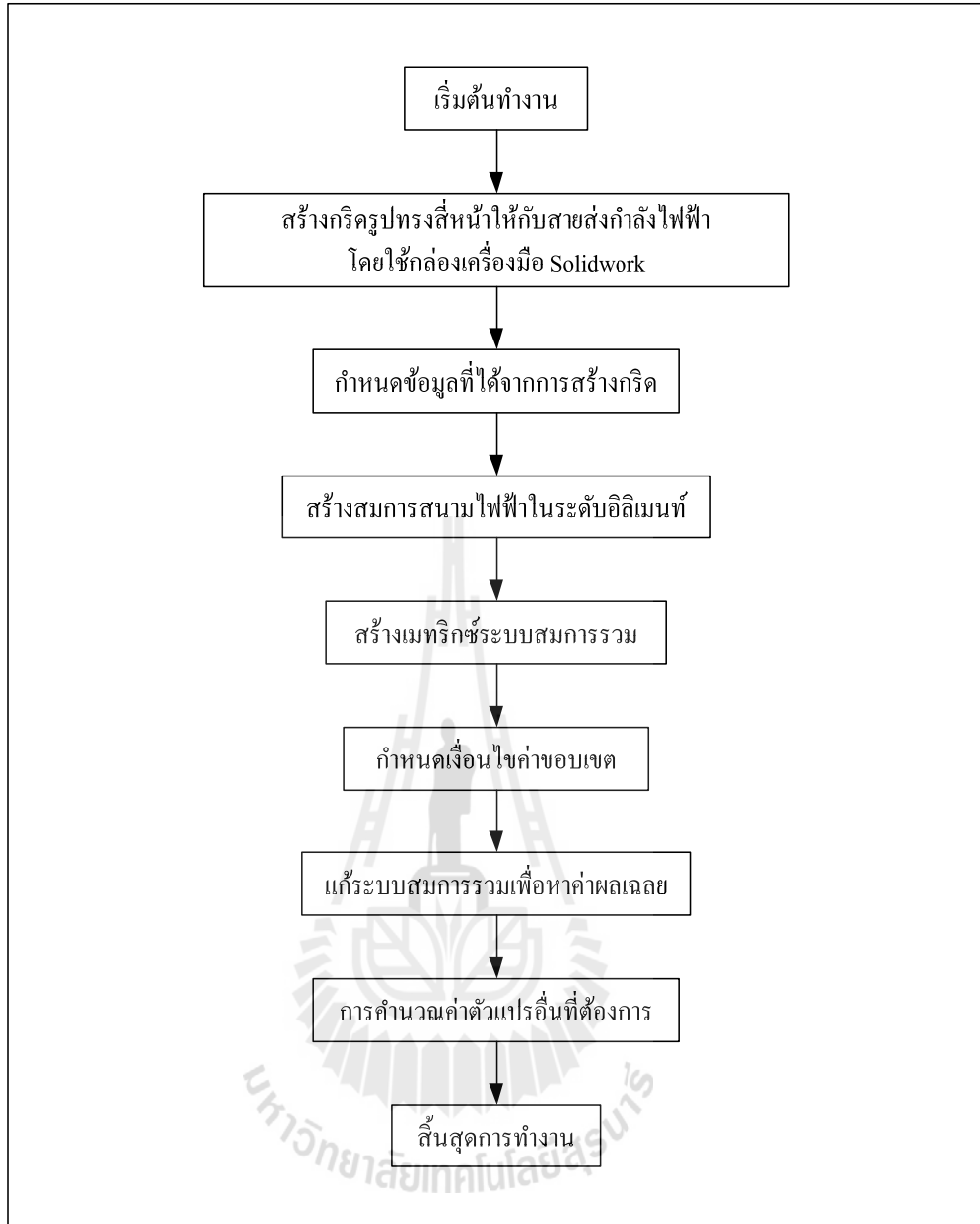
หลังจากแบ่งขอบเขตของปัญหาออกเป็นหมวดหมู่แล้ว จึงทำการสร้างกริดจากโปรแกรม Solidworks ดังแสดงด้วยรูปที่ 3.2



รูปที่ 3.2 ลักษณะการสร้างกริดของระบบส่งจ่ายไฟฟ้า 115 kV และ 22 kV ในงานวิจัย

3.2.2 โปรแกรมจำลองผลสนามไฟฟ้า

ในขั้นตอนนี้เป็นการพัฒนาโปรแกรมที่ประดิษฐ์ขึ้นมาเพื่อจำลองผลค่าสนามไฟฟ้าด้วยระเบียบวิธีไฟไนต์เอลิเมนต์แบบ 3 มิติ โดยข้อมูลที่จำเป็นในการประดิษฐ์โปรแกรมนั้นได้จากในหัวข้อ 3.2.1 ที่อธิบายไว้ก่อนหน้านี้ โครงสร้างของโปรแกรมจำลองผลสนามไฟฟ้าสามารถแสดงได้ด้วยแผนภูมิในรูปที่ 3.3



รูปที่ 3.3 แผนภูมิแสดงการทำงานของโปรแกรมคำนวณสนามไฟฟ้า

จากแผนภูมิในรูปที่ 3.3 ซึ่งแสดงโครงสร้างโปรแกรมจำลองผลของระบบแบบ 3 มิติ เพื่อให้เกิดความเข้าใจถึงหน้าที่ของโปรแกรมแต่ละขั้นตอนจะได้อธิบายถึงรายละเอียดหน้าที่ต่าง ๆ ดังต่อไปนี้

ขั้นตอนการกำหนดข้อมูลที่ได้จากการสร้างกริด : ขั้นตอนนี้โปรแกรมที่พัฒนาขึ้นจะรับค่าข้อมูลอินพุตซึ่งแสดงถึงลักษณะของ โหนดและอิลิเมนต์จากโปรแกรมการสร้างกริด Solidworks ซึ่งรายละเอียดของข้อมูลประกอบด้วย จำนวนและตำแหน่งของ โหนด หมายเลข โหนด ที่ประกอบขึ้นเป็นอิลิเมนต์ จำนวนและหมายเลขของอิลิเมนต์ เป็นต้น

ขั้นตอนการสร้างสมการสนามไฟฟ้าในระดับอิลิเมนต์ : ขั้นตอนนี้โปรแกรมจะสร้างสมการอิลิเมนต์เมทริกซ์ในรูปแบบของทรงสี่หน้าสี่จุดต่อเมื่อพิจารณาปัญหาแบบ 3 มิติ ของทุก ๆ อิลิเมนต์ เนื่องจากภายในระบบมีชิ้นงานที่มีคุณสมบัติแตกต่างกันอยู่ 2 ชนิด คือ อากาศ และสายส่งตัวนำ ซึ่งวัตถุทั้งสองมีค่าคุณสมบัติที่แตกต่างกันออกไปได้แก่ ค่าสภาพยอมทางไฟฟ้าสัมพัทธ์ (ϵ_r) เท่ากับ 1 และ 3.5 ตามลำดับ ค่าความนำไฟฟ้า (σ) เท่ากับ 0 และ 0.8×10^7 ตามลำดับ และ ค่าความซาบซึมได้ทางแม่เหล็กสัมพัทธ์ (μ_r) เท่ากับ 1 และ 300 ตามลำดับ โดยการสร้างสมการอิลิเมนต์เมทริกซ์ของแต่ละอิลิเมนต์จะต้องคำนึงถึงค่าคุณสมบัติทางไฟฟ้าของวัตถุที่เกี่ยวข้องในแต่ละอิลิเมนต์นั้น ๆ ด้วย

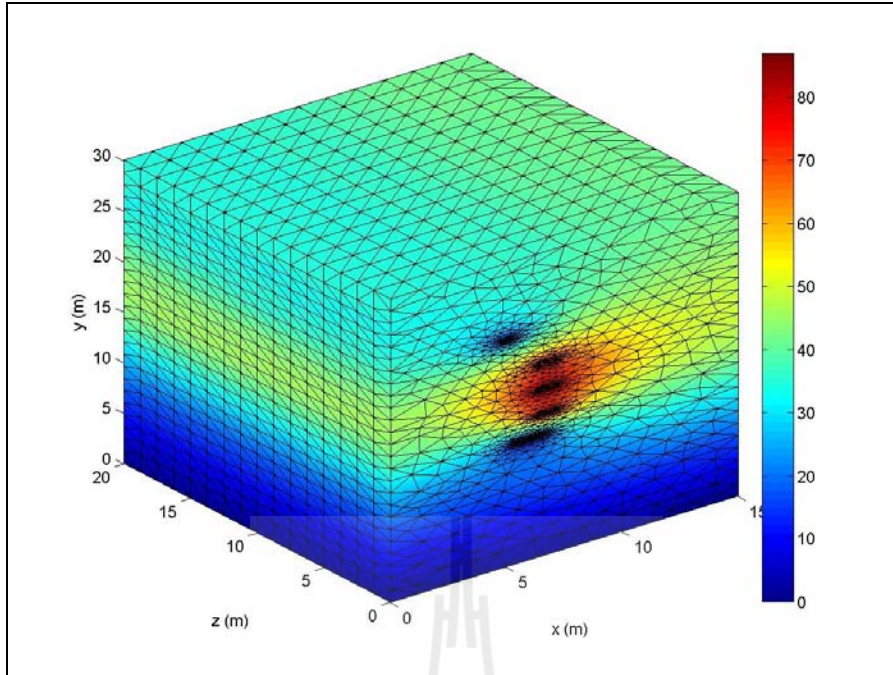
ขั้นตอนการสร้างเมทริกซ์ระบบสมการรวม : ขั้นตอนนี้โปรแกรมจะทำหน้าที่รวมสมการของอิลิเมนต์ย่อยเข้าเป็นเมทริกซ์ใหญ่ของระบบสมการรวม ซึ่งหากแบ่งลักษณะของปัญหาออกเป็นอิลิเมนต์ทั้งหมด n โหนดจะก่อให้เกิดเมทริกซ์ระบบสมการรวมซึ่งประกอบด้วยสมการทั้งสิ้น n สมการ

ขั้นตอนการกำหนดเงื่อนไขค่าขอบเขต : ขั้นตอนนี้โปรแกรมจะทำหน้าที่ประยุกต์เงื่อนไขขอบเขตก่อนทำการแก้ระบบสมการรวม โดยงานวิจัยนี้จะกำหนดค่าเงื่อนไขขอบเขตดังตารางที่ 2.1 ในบทที่ 2

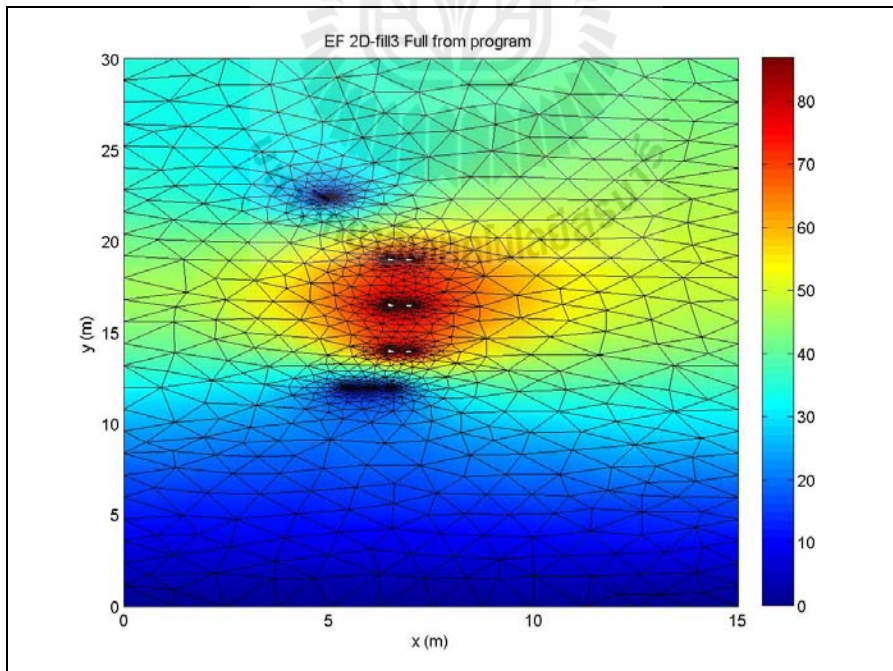
ขั้นตอนการแก้ระบบสมการรวมเพื่อหาค่าผลเฉลย : ในขั้นตอนสุดท้ายนี้ โปรแกรมจะทำการแก้ระบบสมการรวมซึ่งเป็นสมการเชิงเส้นเพื่อหาค่าผลเฉลยของสนามไฟฟ้าที่ประจำโหนดโดยการเลือกใช้ระเบียบวิธีการทำเมทริกซ์ผกผัน

3.3 ผลการจำลองสนามไฟฟ้าพร้อมวิเคราะห์ผล

สำหรับหัวข้อนี้จะนำเสนอผลการจำลองการกระจายค่าสนามไฟฟ้าของระบบสายส่งไฟฟ้าด้วยระเบียบวิธีไฟไนต์อิลิเมนต์แบบ 3 มิติ โดยจะทำการจำลองระบบส่งจ่าย 115 kV ที่พาดผ่านสายส่งในระบบจำหน่าย 22 kV ของการไฟฟ้าส่วนภูมิภาคโดยสามารถแสดงผลทางกราฟิกได้ดังรูปที่ 3.4 และ 3.5



รูปที่ 3.4 การกระจายสนามไฟฟ้า (kV/m) บริเวณขอบของระบบส่งจ่าย 115 kV ที่พาดผ่านระบบ
จำหน่าย 22 kV



รูปที่ 3.5 ภาพตัดขวางการกระจายสนามไฟฟ้า (kV/m) ของระบบส่งจ่าย 115 kV ที่พาดผ่านระบบ
จำหน่าย 22 kV

จากผลการจำลองเชิงกราฟิกดังแสดงด้วยรูปที่ 3.4 และ 3.5 ค่าสนามไฟฟ้าจะมีปริมาณสูงที่ตำแหน่งสายส่งตัวนำและจะมีค่าน้อยลงเมื่อระยะห่างจากสายส่งตัวนำมีค่ามากขึ้น โดยจะมีค่าน้อยสุดที่บริเวณพื้นดิน และเมื่อพิจารณาภาพตัดขวางที่ช่วงความลึกใด ๆ ค่าสนามไฟฟ้าจะกระจายตัวในลักษณะคล้ายคลึงกันในทุก ๆ ช่วงความลึก ทั้งนี้เพราะลักษณะของปัญหามีรูปแบบเดียวกันตลอดช่วงความลึก และจากผลการจำลองผลทางกราฟิกข้างต้นสามารถสรุปเป็นตารางเพื่อให้เห็นในเชิงตัวเลขอย่างชัดเจนของการกระจายตัวสนามไฟฟ้าดังแสดงด้วยตารางที่ 3.1

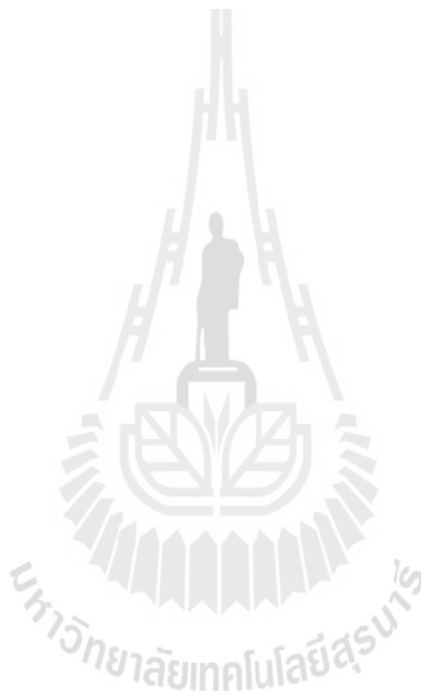
ตารางที่ 3.1 สนามไฟฟ้าเฉลี่ยของระบบส่งจ่าย 115 kV ที่พาดผ่านระบบจำหน่าย 22 kV เมื่อพิจารณาที่ระยะความสูงต่าง ๆ

ระยะความสูง y (m)	ค่าสนามไฟฟ้าเฉลี่ย (kV/m)
0	0.0000
2	5.1176
4	10.2400
6	15.3740
8	20.5260
10	25.7220
12	31.7530
14	49.9780
16	56.1610
18	55.8610
20	49.8630
22	39.9280
24	37.8950
26	37.8210
28	37.8210
30	37.7560

จากตารางที่ 3.1 จะสังเกตเห็นว่าค่าสนามไฟฟ้าจะมีค่ามากที่สุดที่ช่วงตำแหน่งของสายส่งตัวนำและค่าจะลดน้อยลงไปเมื่อห่างจากสายส่งตัวนำมากขึ้น โดยจะมีค่าน้อยสุดที่ตำแหน่งพื้นดิน

3.4 สรุป

บทที่ 3 เป็นการอธิบายโปรแกรมจำลองผลพร้อมจำลองผลเพื่อศึกษาถึงการกระจายตัวของสนามไฟฟ้าในระบบส่งจ่าย 115 kV ที่พาดผ่านสายส่งในระบบจำหน่าย 22 kV ด้วยระเบียบวิธีไฟไนท์อีลิเมนต์แบบ 3 มิติ ซึ่งโปรแกรมจำลองผลสนามไฟฟ้าสามารถแสดงได้ด้วยแผนภูมิดังรูปที่ 3.3 จากผลลัพธ์ที่ได้จากการจำลองผลพบว่าค่าสนามไฟฟ้าจะมีปริมาณสูงที่ตำแหน่งสายส่งตัวนำ และมีค่าน้อยลงเมื่อระยะห่างจากตัวนำมีค่ามากขึ้น โดยจะมีค่าน้อยที่สุดที่ตำแหน่งพื้นดิน



บทที่ 4

ผลการจำลองอุณหภูมิของสายส่งกำลังไฟฟ้าพร้อมผลการทดสอบจริง

4.1 บทนำ

ในบทที่ 3 ที่ผ่านมา เป็นการอธิบายถึง โปรแกรมจำลองผลพร้อมผลการจำลองค่าสนามไฟฟ้า ด้วยระเบียบวิธีไฟไนต์เอลิเมนต์ ซึ่งงานวิจัยนี้มีวัตถุประสงค์เพื่อคำนวณค่าอุณหภูมิของระบบส่งจ่าย 115 kV ที่พาดผ่านสายส่งในระบบ 22 kV ดังนั้นสำหรับบทที่ 4 นี้ จะเป็นการประยุกต์ใช้ระเบียบวิธีไฟไนต์เอลิเมนต์ในการคำนวณค่าอุณหภูมิ โดยมีแหล่งกำเนิดความร้อน (Heat source) ในสมการเชิงอนุพันธ์ย่อยของปัญหาความร้อนมีผลมาจากค่าสนามไฟฟ้า สำหรับการคำนวณอุณหภูมิในบทนี้จะใช้ระเบียบวิธีไฟไนต์เอลิเมนต์แบบ 3 มิติในการวิเคราะห์ปัญหาในสถานะชั่วคราว ซึ่งขั้นตอนและวิธีการจะมีความคล้ายคลึงกันกับระเบียบวิธีไฟไนต์เอลิเมนต์ที่ใช้คำนวณสนามไฟฟ้าในบทที่ 3 ที่ผ่านมา ซึ่งโปรแกรมทั้งหมดถูกออกแบบให้ทำงานบนพื้นฐานของ MATLAB™ เช่นเดียวกัน

4.2 โครงสร้างของโปรแกรมจำลองผลอุณหภูมิ

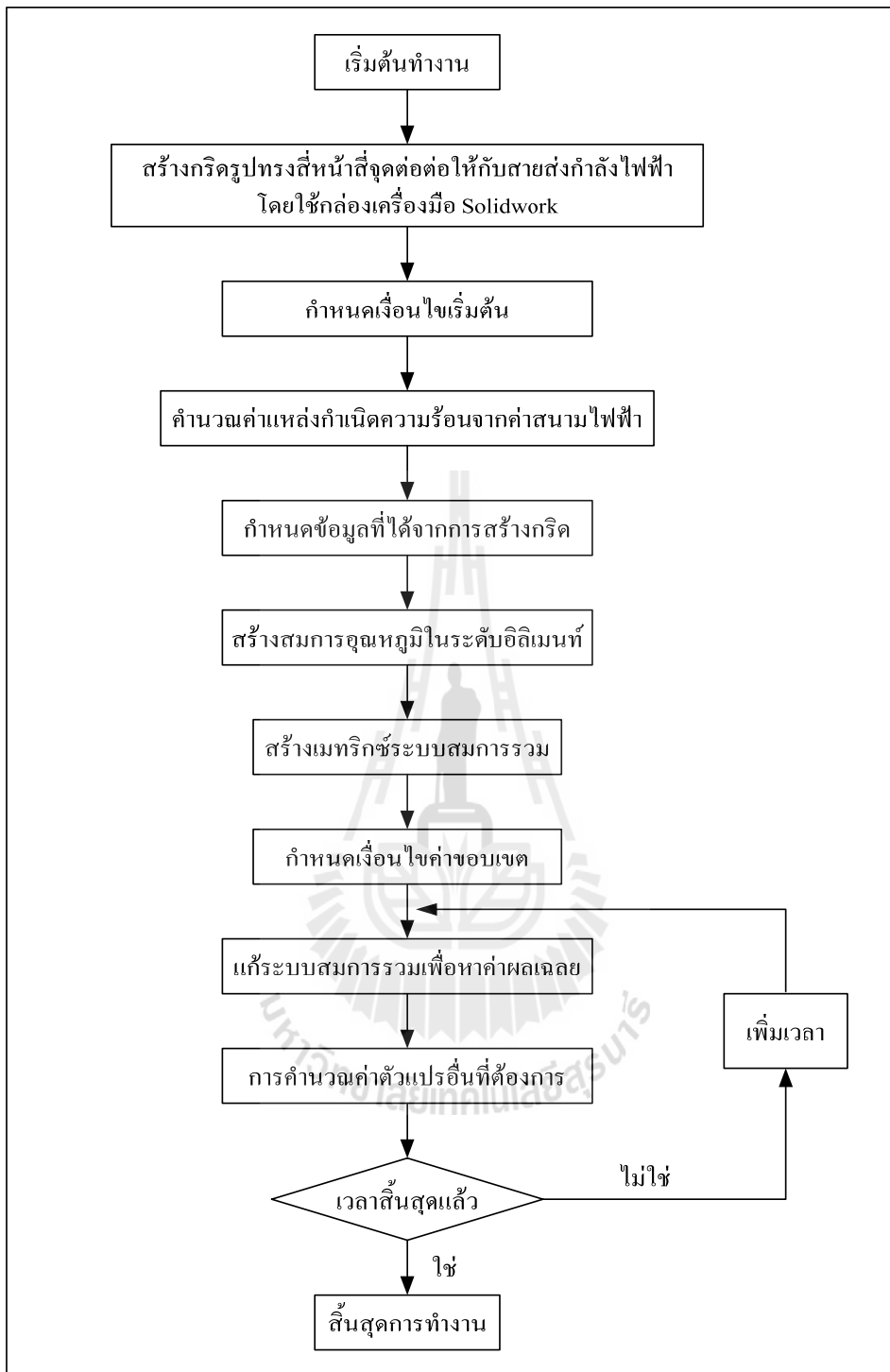
การคำนวณหาค่าอุณหภูมิภายใต้ระบบสายส่งไฟฟ้าแรงสูงด้วยระเบียบวิธีไฟไนต์เอลิเมนต์แบบ 3 มิติ สามารถดำเนินการคำนวณตามขั้นตอนภายในโครงสร้างของโปรแกรมจำลองผลที่จะได้กล่าวถึงต่อไปนี้ งานวิจัยนี้ได้ดำเนินการสร้างกริดด้วยโปรแกรมสำเร็จรูปเพื่อนำข้อมูลของโนดและอีลิเมนต์มาพัฒนาต่อด้วยโปรแกรม MATLAB™ ที่ประดิษฐ์ขึ้นเอง โดยอธิบายถึงโครงสร้างของโปรแกรมจำลองผลแบบ 3 มิติได้ดังนี้

4.2.1 โปรแกรมสร้างกริด

ดำเนินการเช่นเดียวกับหัวข้อ 3.2.1 ในบทที่ 3

4.2.2 โปรแกรมจำลองผลอุณหภูมิ

ในขั้นตอนนี้เป็นการพัฒนาโปรแกรมที่ประดิษฐ์ขึ้นมาเพื่อจำลองผลค่าอุณหภูมิด้วยระเบียบวิธีไฟไนต์เอลิเมนต์แบบ 3 มิติ โดยข้อมูลที่จำเป็นในการประดิษฐ์โปรแกรมนั้นได้จากในหัวข้อ 4.2.1 โครงสร้างของโปรแกรมจำลองผลอุณหภูมิสามารถแสดงได้ด้วยแผนภูมิในรูปที่ 4.1



รูปที่ 4.1 แผนภูมิแสดงการทำงานของโปรแกรมคำนวณอุณหภูมิ

จากแผนภูมิในรูปที่ 4.1 ซึ่งแสดงโครงสร้างโปรแกรมจำลองผลแบบ 3 มิติ ของปัญหา ความร้อนในสถานะชั่วคราว เพื่อให้เกิดความเข้าใจถึงหน้าที่ของโปรแกรมแต่ละขั้นตอนจะได้อธิบาย ถึงรายละเอียดหน้าที่ต่าง ๆ ดังต่อไปนี้

ขั้นตอนการกำหนดข้อมูลที่ได้จากการสร้างกริด : ขั้นตอนนี้โปรแกรมที่พัฒนาขึ้นจะ รับค่าข้อมูลอินพุตซึ่งแสดงถึงลักษณะของ โหนดและอิลิเมนต์จากโปรแกรมการสร้างกริด Solidworks ซึ่งรายละเอียดของข้อมูลจะได้เหมือนกับการคำนวณค่าสนามไฟฟ้าด้วยระเบียบวิธีไฟไนท์อิลิเมนต์ ทุกประการ

ขั้นตอนการกำหนดค่าเงื่อนไขเริ่มต้น : ขั้นตอนนี้โปรแกรมจะกำหนดค่าอุณหภูมิ เริ่มต้น $T(t=0) = 25^{\circ}\text{C}$ สำหรับการคำนวณในรอบแรก ส่วนการคำนวณรอบเวลาถัดไปจะใช้คำตอบ จากรอบที่ผ่านมาเป็นเงื่อนไขเริ่มต้นทั้งนี้การลู่เข้าหาคำตอบที่ถูกต้องและจำนวนรอบเวลาสิ้นสุดการ คำนวณจะขึ้นอยู่กับเวลาที่สายส่งกำลังไฟฟ้าอยู่ในสภาวะจ่ายโหลดจนกระทั่งความร้อนของสายส่ง กำลังไฟฟ้าคงที่

ขั้นตอนการคำนวณค่าแหล่งกำเนิดความร้อน : ขั้นตอนนี้โปรแกรมจะนำค่า สนามไฟฟ้ามาคำนวณเป็นค่าแหล่งกำเนิดความร้อน ซึ่งค่าแหล่งกำเนิดความร้อนนี้จะถูกนำไปใช้เป็น โหลดความร้อนสำหรับการคำนวณด้วยระเบียบวิธีไฟไนท์อิลิเมนต์

ขั้นตอนการสร้างสมการอุณหภูมิในระดับอิลิเมนต์ : ขั้นตอนนี้โปรแกรมจะสร้าง สมการอิลิเมนต์เมทริกซ์ในรูปแบบของทรงสี่หน้าสี่จุดต่อเมื่อพิจารณาปัญหาแบบ 3 มิติ ของทุก ๆ อิลิเมนต์ เนื่องจากภายในระบบมีชิ้นงานที่มีคุณสมบัติแตกต่างกันอยู่ 2 ชนิด คือ อากาศ และสายส่ง ตัวนำ ซึ่งวัสดุทั้งสองมีค่าคุณสมบัติทางความร้อนที่แตกต่างกันออกไปได้แก่ อากาศมีค่าความนำ ไฟฟ้า (σ) เท่ากับ $0\ \Omega/\text{m}$ ค่าความร้อนจำเพาะ (c) เท่ากับ $0.8716\ \text{J}/\text{kg}^{\circ}\text{C}$ ค่าความหนาแน่น มวล (ρ) เท่ากับ $1.184\ \text{kg}/\text{m}^3$ ค่าสัมประสิทธิ์การนำความร้อน (k) เท่ากับ $0.024\ \text{W}/\text{m}^{\circ}\text{C}$ ส่วน สายส่งตัวนำมีค่าความนำไฟฟ้า (σ) เท่ากับ $0.8 \times 10^7\ \Omega/\text{m}$ ค่าความร้อนจำเพาะ (c) เท่ากับ $900\ \text{J}/\text{kg}^{\circ}\text{C}$ ค่าความหนาแน่นมวล (ρ) เท่ากับ $2700\ \text{kg}/\text{m}^3$ ค่าสัมประสิทธิ์การนำความร้อน (k) เท่ากับ $205\ \text{W}/\text{m}^{\circ}\text{C}$ และสัมประสิทธิ์การพาความร้อนเท่ากับ $25\ \text{W}/\text{m}^2\ ^{\circ}\text{C}$ โดยการสร้าง สมการอิลิเมนต์เมทริกซ์ของแต่ละอิลิเมนต์จะต้องคำนึงถึงค่าคุณสมบัติทางความร้อนของวัสดุที่ เกี่ยวข้องในแต่ละอิลิเมนต์นั้นๆ ด้วย

ขั้นตอนการสร้างเมทริกซ์ระบบสมการรวม : ขั้นตอนนี้โปรแกรมจะทำหน้าที่รวม สมการของอิลิเมนต์ย่อยเข้าเป็นเมทริกซ์ใหญ่ของระบบสมการรวม ซึ่งหากแบ่งลักษณะของปัญหา ออกเป็นอิลิเมนต์ทั้งหมด n โหนดจะก่อให้เกิดเมทริกซ์ระบบสมการรวมซึ่งประกอบด้วยสมการ ทั้งสิ้น n สมการ

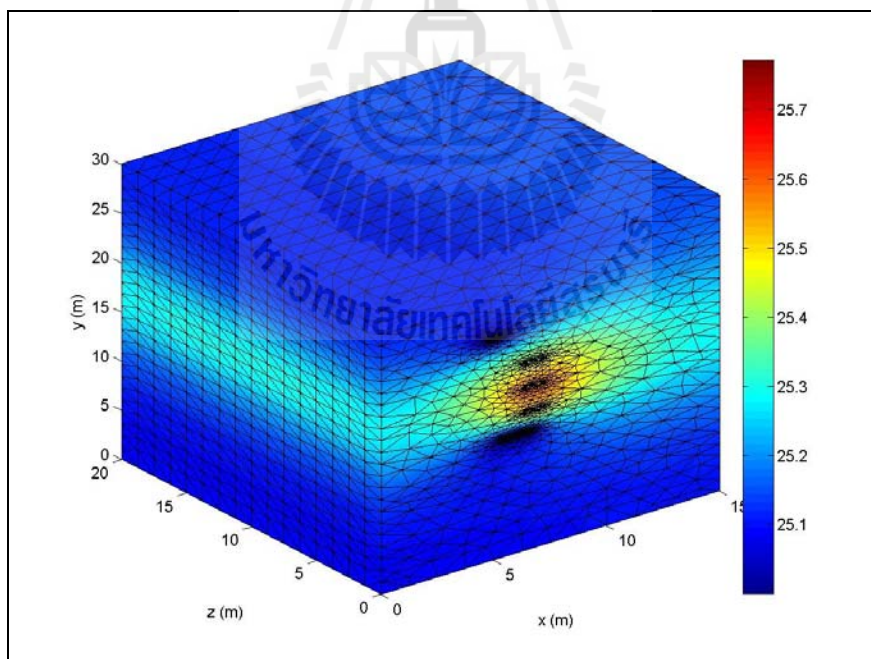
ขั้นตอนการกำหนดเงื่อนไขค่าขอบเขต : ขั้นตอนนี้ โปรแกรมจะทำหน้าที่ประยุกต์เงื่อนไขขอบเขตก่อนทำการแก้ระบบสมการรวม โดยงานวิจัยนี้จะกำหนดค่าเงื่อนไขขอบเขตเป็นการพาความร้อนสู่อุณหภูมิสภาพแวดล้อมภายนอกที่บริเวณขอบสายส่งตัวนำ

ขั้นตอนการแก้ระบบสมการรวมเพื่อหาค่าผลเฉลย : ในขั้นตอนสุดท้ายนี้ โปรแกรมจะทำการแก้ระบบสมการรวมซึ่งเป็นสมการเชิงเส้นเพื่อหาค่าผลเฉลยของอุณหภูมิที่ประจำโนดโดยการเลือกใช้ระเบียบวิธีการทำเมทริกซ์ผกผัน

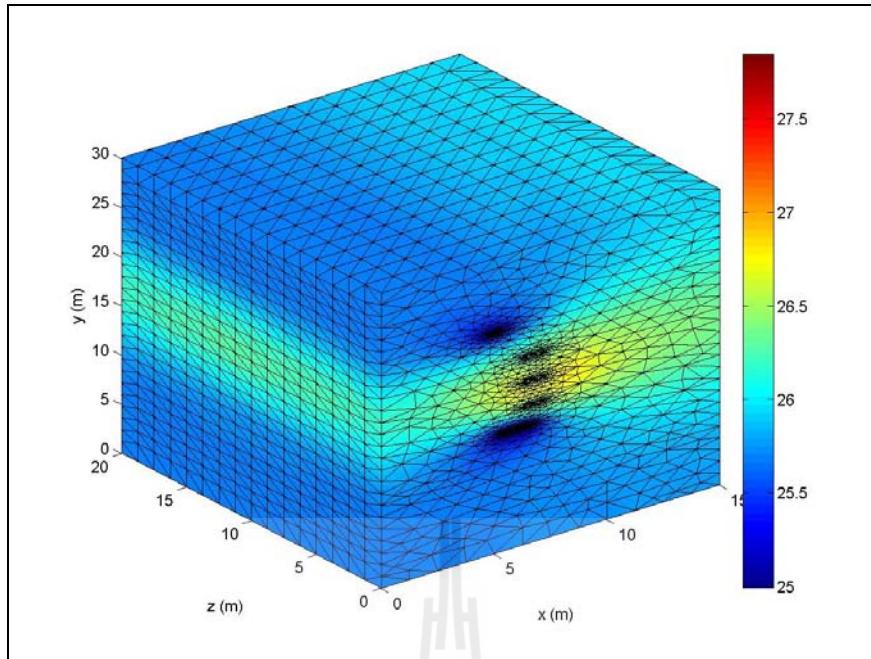
เนื่องจากปัญหาความร้อนนี้แปรผันตามเวลา โปรแกรมจะวนรอบจนกระทั่งสิ้นสุดรอบเวลาที่กำหนด

4.3 ผลการจำลองอุณหภูมิพร้อมวิเคราะห์ผล

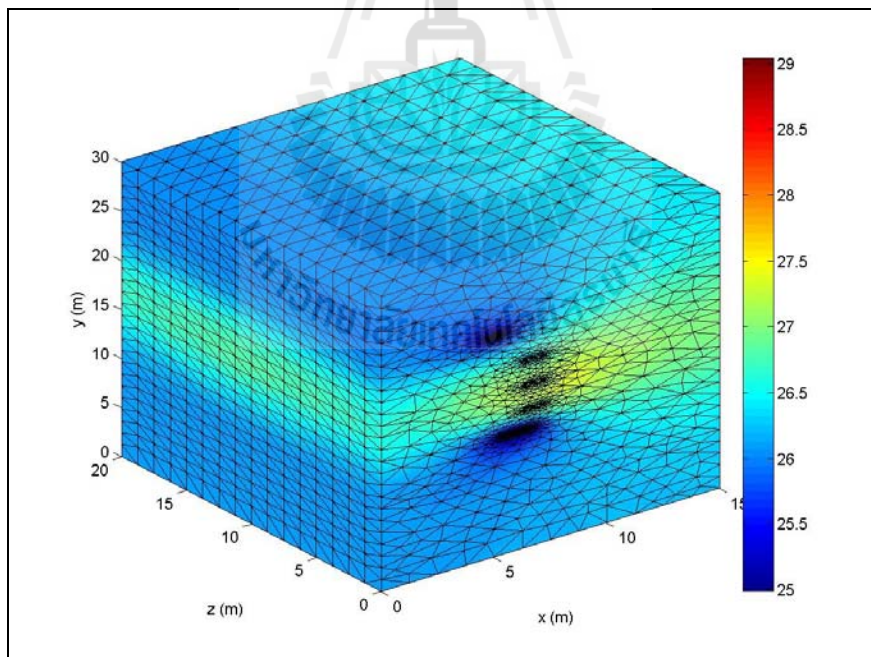
สำหรับหัวข้อนี้จะนำเสนอผลการจำลองการกระจายค่าอุณหภูมิของระบบสายส่งไฟฟ้าด้วยระเบียบวิธีไฟไนต์อีลิเมนต์แบบ 3 มิติ โดยจะทำการจำลองระบบส่งจ่าย 115 kV ที่พาดผ่านสายส่งในระบบจำหน่าย 22 kV ของการไฟฟ้าส่วนภูมิภาค โดยสามารถแสดงผลทางกราฟิกได้ดังรูปที่ 4.2 และ 4.3



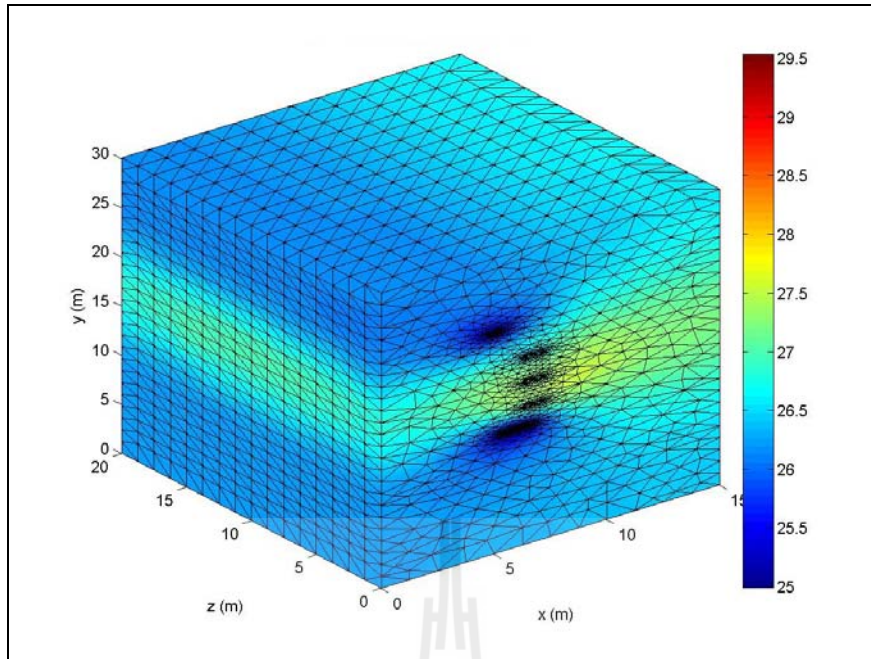
ก) ที่เวลา 1 ชั่วโมง



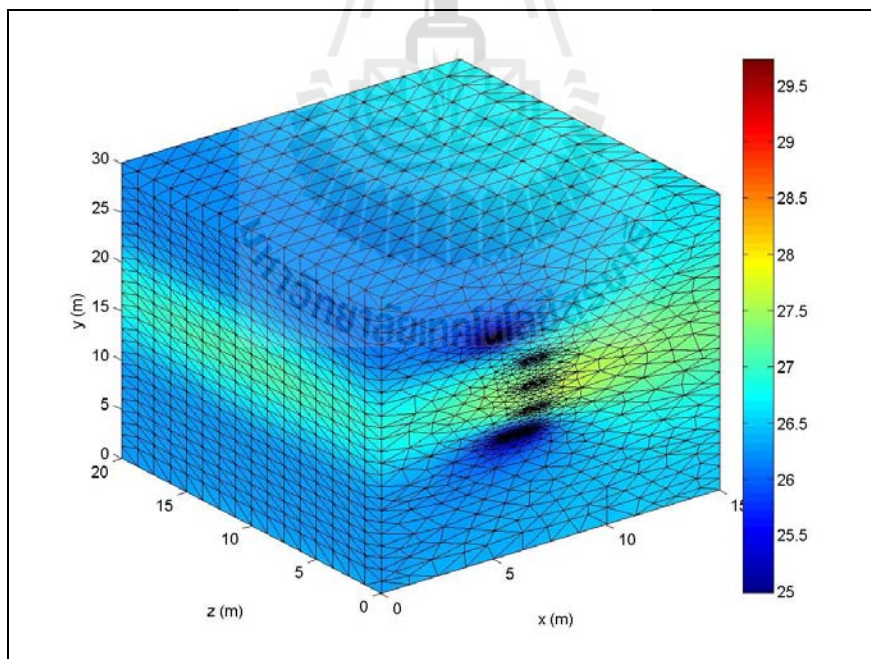
ข) ที่เวลา 5 ชั่วโมง



ค) ที่เวลา 10 ชั่วโมง

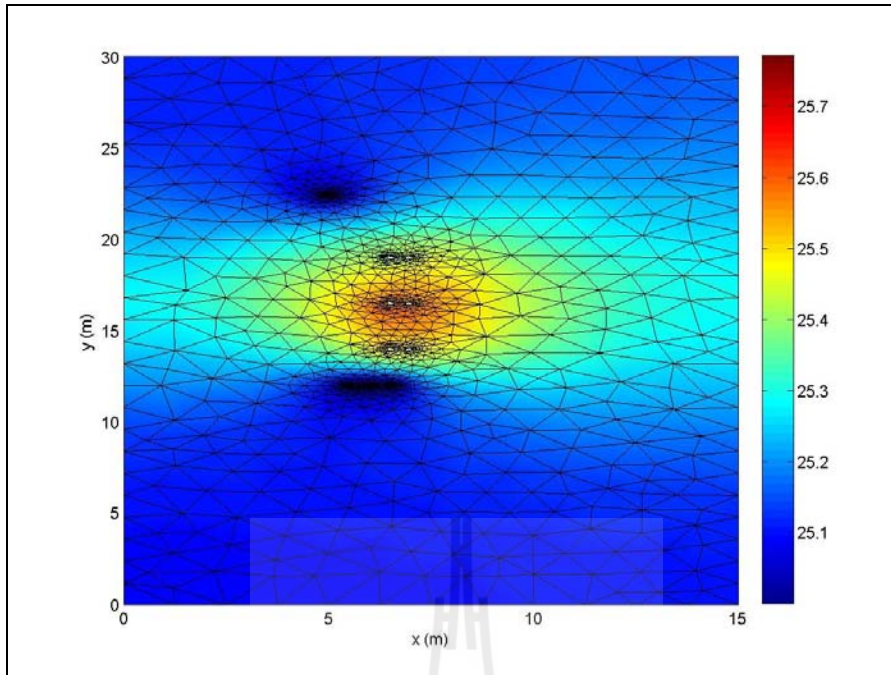


ง) ที่เวลา 15 ชั่วโมง

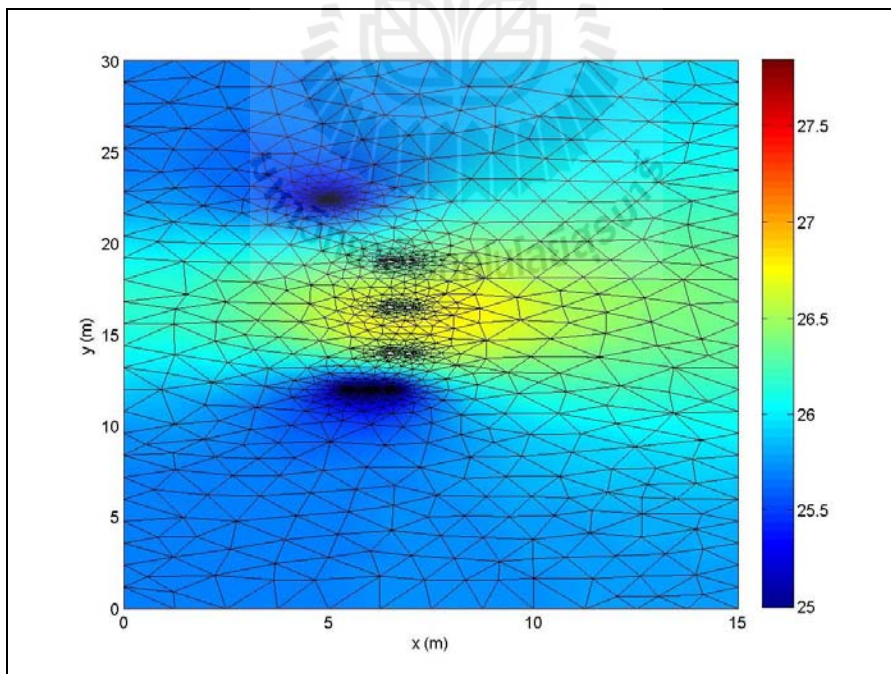


จ) ที่เวลา 20 ชั่วโมง

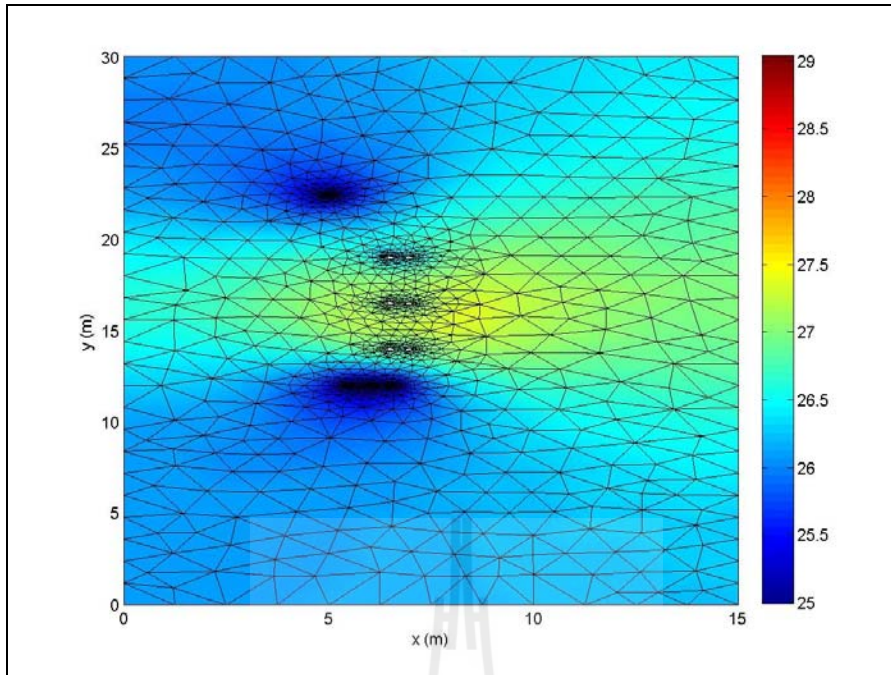
รูปที่ 4.2 การกระจายตัวของอุณหภูมิ ($^{\circ}\text{C}$) บริเวณขอบของระบบส่งจ่าย 115 kV ที่พาดผ่านระบบ
จำหน่าย 22 kV ณ เวลาใดๆ



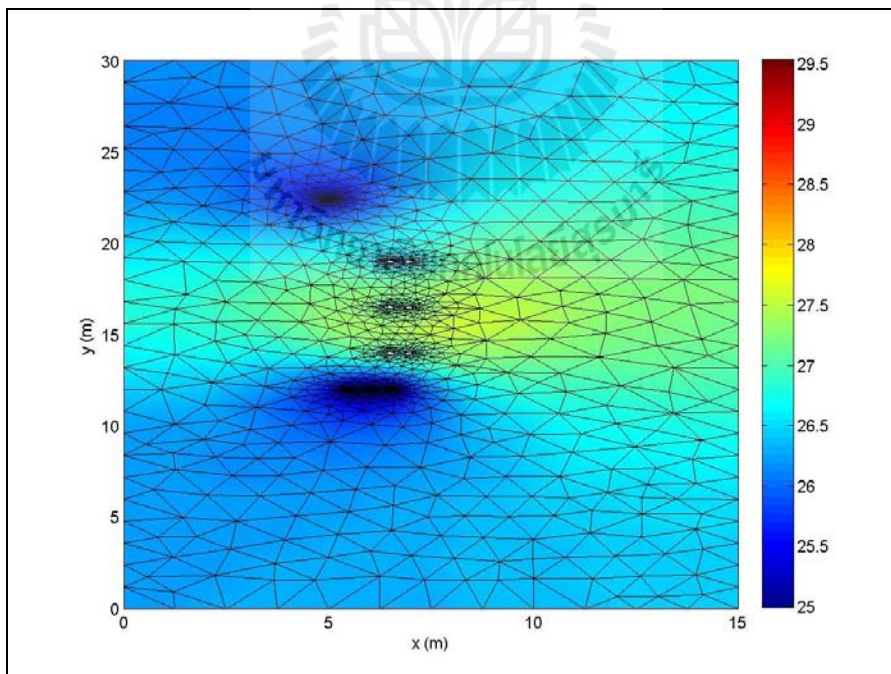
ก) ที่เวลา 1 ชั่วโมง



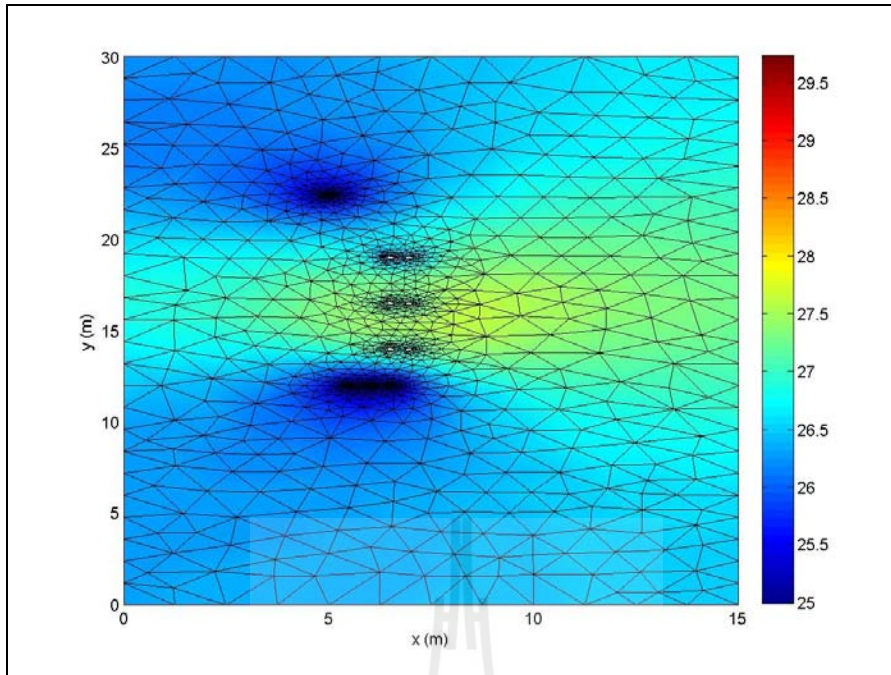
ข) ที่เวลา 5 ชั่วโมง



ค) ที่เวลา 10 ชั่วโมง



ง) ที่เวลา 15 ชั่วโมง



จ) ที่เวลา 20 ชั่วโมง

รูปที่ 4.3 ภาพตัดขวางการกระจายตัวของอุณหภูมิ ($^{\circ}\text{C}$) ของระบบส่งจ่าย 115 kV ที่พาดผ่านระบบจำหน่าย 22 kV ณ เวลาใดๆ

จากผลการจำลองเชิงกราฟิกดังแสดงด้วยรูปที่ 4.2 และ 4.3 การกระจายตัวของอุณหภูมิที่บริเวณตัวนำของสายส่งกำลังไฟฟ้าจะมีค่าสูงกว่าบริเวณอื่น บริเวณที่มีอุณหภูมิสูงจะเคลื่อนที่ไปยังบริเวณที่มีอุณหภูมิต่ำ และผลของค่าอุณหภูมิจะมีค่าเพิ่มขึ้นจนกระทั่งอุณหภูมิของสายส่งกำลังไฟฟ้าอยู่ในสภาวะคงตัวเมื่อเวลาเพิ่มขึ้น โดยในงานวิจัยนี้จะอยู่ในสภาวะคงตัว ณ ที่เวลา 20 ชั่วโมง และจากผลการจำลองผลทางกราฟิกข้างต้นสามารถสรุปเป็นตารางเพื่อให้เห็นในเชิงตัวเลขอย่างชัดเจนของการกระจายตัวของอุณหภูมิในสภาวะคงตัว ดังแสดงด้วยตารางที่ 4.1

ตารางที่ 4.1 อุณหภูมิเฉลี่ยของระบบส่งจ่าย 115 kV ที่พาดผ่านระบบจำหน่าย 22 kV เมื่อพิจารณาที่
ระยะความสูงต่าง ๆ

ระยะความสูง y (m)	ค่าอุณหภูมิเฉลี่ย (°C)
0	26.4413
2	26.4413
4	26.4419
6	26.4434
8	26.4465
10	26.4538
12	26.5165
14	27.4551
16	27.8042
18	27.7052
20	27.2784
22	26.6376
24	26.5015
26	26.4930
28	26.4874
30	26.4859

จากตารางที่ 4.1 จะสังเกตเห็นว่าค่าอุณหภูมิจะมีค่าสูงที่บริเวณตำแหน่งสายส่งตัวนำ และจะมีค่าลดลงเมื่อระยะห่างจากตัวนำมีค่ามากขึ้น โดยเป็นผลมาจากค่าสนามไฟฟ้า ซึ่งค่าสนามไฟฟ้าจะมีผลต่ออุณหภูมิโดยตรง โดยบริเวณที่มีค่าสนามไฟฟ้าสูงจะมีค่าอุณหภูมิสูงและบริเวณที่มีค่าสนามไฟฟ้าต่ำก็จะมีค่าอุณหภูมิต่ำตามไปด้วย

4.4 การเปรียบเทียบผลการจำลองของอุณหภูมิกับผลการทดสอบจริง

ตารางที่ 4.2 เป็นการวัดค่าอุณหภูมิสูงสุดที่ตำแหน่งตัวนำต่างๆ ที่ได้จากการทดสอบจริงที่วัดได้จากกล้องถ่ายภาพความร้อนในภาคผนวก และตารางที่ 4.3 เป็นการเปรียบเทียบค่าอุณหภูมิสูงสุดที่ตำแหน่งตัวนำต่างๆ ระหว่างผลที่ได้จากการจำลองและผลที่ได้จากการทดสอบจริง ซึ่งจะสังเกตเห็นว่าผลที่ได้จากการจำลองมีความสอดคล้องไปในทิศทางเดียวกันกับผลที่ได้จากการ

ทดสอบจริง กล่าวคือ บริเวณตัวนำที่มีค่าสนามไฟฟ้าในปริมาณที่สูงจะมีค่าอุณหภูมิสูงกว่าบริเวณตัวนำที่มีค่าสนามไฟฟ้าในปริมาณที่ต่ำ โดยบริเวณตัวนำที่มีค่าสนามไฟฟ้าในปริมาณที่สูงก็จะมีค่าอุณหภูมิสูงตามไปด้วย

ตารางที่ 4.2 ค่าอุณหภูมิสูงสุดที่ตำแหน่งตัวนำต่างๆ ที่ได้จากการวัดจริง

ตัวนำ/เฟส	อุณหภูมิสูงสุด (°C)										ค่าเฉลี่ย
	1	2	3	4	5	6	7	8	9	10	
ทดสอบครั้งที่ 115kV/A	27.4	24.6	25.2	26.2	26.3	25.7	27.2	28.5	27.4	27.3	26.6
115kV/B	29.2	27.3	27.2	28.4	27.3	27.6	30.7	31.1	29.4	29.5	28.8
115kV/C	29.1	27.2	27.3	29.2	28.5	27.1	30.2	29.5	29.6	29.1	28.7
22kV/A	25.2	19.1	23.0	24.5	25.3	24.1	25.2	25.1	25.3	25.8	24.3
22kV/B	25.4	19.5	22.5	24.8	25.4	24.4	25.3	25.2	26.1	25.7	24.4
22kV/C	25.8	19.4	22.5	24.4	25.3	24.2	25.0	25.3	25.3	25.4	24.3

ตารางที่ 4.3 การเปรียบเทียบค่าอุณหภูมิสูงสุดที่ได้จากการจำลองผลและการวัดจริง

ตัวนำ/เฟส	อุณหภูมิสูงสุด (°C)	
	ผลการจำลอง	ผลการวัดจริง
115kV/A	28.3	26.6
115kV/B	29.5	28.8
115kV/C	28.7	28.7
22kV/A	25.0	24.3
22kV/B	25.1	24.4
22kV/C	25.1	24.3

4.5 สรุป

บทที่ 4 เป็นการอธิบายโปรแกรมจำลองผลพร้อมจำลองผลเพื่อศึกษาถึงสนามไฟฟ้าที่มีผลต่อการกระจายตัวของอุณหภูมิในระบบส่งจ่าย 115 kV ที่พาดผ่านสายส่งในระบบจำหน่าย 22 kV ด้วยระเบียบวิธีไฟไนต์เอลิเมนต์แบบ 3 มิติ ที่พัฒนาขึ้นด้วย MATLAB™ โดยโปรแกรมจำลองผลอุณหภูมิสามารถแสดงได้ด้วยแผนภูมิดังรูปที่ 4.1 และในบทนี้ยังได้เปรียบเทียบผลการจำลองของอุณหภูมิกับผลการทดสอบจริง จากผลลัพธ์ของค่าอุณหภูมิที่ได้จากการจำลอง

พบว่าค่าสนามไฟฟ้ามีผลโดยตรงต่ออุณหภูมิ โดยบริเวณที่มีค่าสนามไฟฟ้าในปริมาณสูงก็จะมีค่าอุณหภูมิสูงด้วยเช่นกัน ซึ่งอุณหภูมิจะกระจายตัวไปทั่วบริเวณตัวนำของสายส่งกำลังไฟฟ้า โดยจะเคลื่อนที่จากบริเวณที่มีอุณหภูมิสูงไปยังบริเวณที่มีอุณหภูมิต่ำจนกระทั่งอุณหภูมิของสายส่งกำลังไฟฟ้าอยู่ในสภาวะคงตัว



บทที่ 5

ผลการจำลองสนามไฟฟ้าและอุณหภูมิที่เกิดจากปรากฏการณ์โคโรนา

5.1 บทนำ

ในบทที่ 5 นี้จะศึกษาถึงค่าสนามไฟฟ้าและอุณหภูมิที่กระจายตัวในระบบส่งจ่ายกำลังไฟฟ้าขนาด 115 kV ที่พาดผ่านระบบจำหน่าย 22 kV ของการไฟฟ้าส่วนภูมิภาคเมื่อเกิดปรากฏการณ์โคโรนา (Corona phenomenon) ขึ้น สำหรับการจำลองค่าสนามไฟฟ้าและอุณหภูมิในบทนี้ยังคงใช้ระเบียบวิธีไฟไนต์เอลิเมนต์แบบ 3 มิติในการวิเคราะห์ปัญหาเช่นเดียวกับบทที่ผ่านมา และโปรแกรมทั้งหมดก็ถูกออกแบบให้ทำงานบนพื้นฐานของ MATLAB™ เช่นเดียวกัน ทั้งนี้ประโยชน์ที่ได้จากการจำลองผลอาจเป็นแนวทางในการหาทางป้องกันผลกระทบของอุณหภูมิที่เกิดจากปรากฏการณ์โคโรนาต่อไป

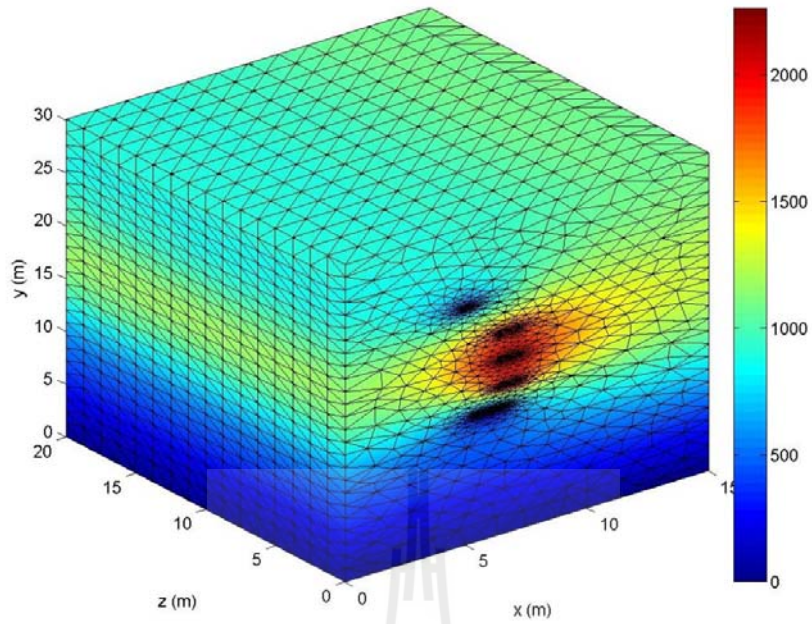
5.2 ผลการจำลองสนามไฟฟ้าที่เกิดจากปรากฏการณ์โคโรนา

โคโรนา (Corona) เกิดจากสายส่งที่ได้รับแรงดันไฟฟ้าสูงเกินค่าขีดจำกัดที่กำหนดไว้ ซึ่งตามปกติการเลือกระดับแรงดันเพื่อใช้ส่งพลังงานจะไม่ให้สูงถึงค่าวิกฤต แต่เนื่องจากสภาวะแวดล้อมที่ผิดปกติ จึงทำให้เกิดสิ่งต่อไปนี้ คือ

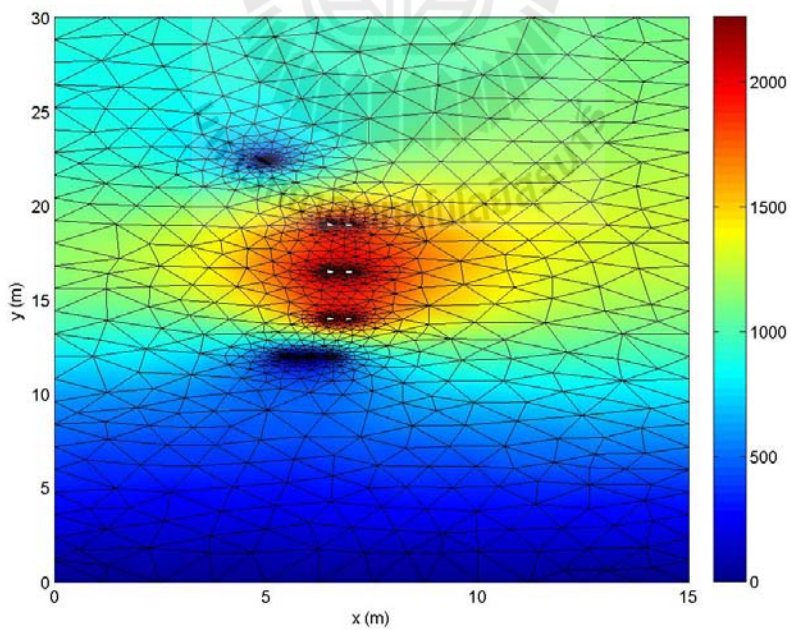
1) แรงดันระหว่างสายสูงเกินค่าแรงดันวิกฤต (Critical voltage) ปรากฏการณ์เช่นนี้จะเกิดขึ้นในกรณีที่สายส่งยาวมากๆ แต่มีโหนดปลายสายต่ำ เนื่องจากสายส่งที่ยาวจะเกิดกระแสอัดประจุในสายสูง และทำให้ตัวประกอบกำลังของวงจรกลายเป็นชนิดนำหน้า (PF leading) ซึ่งจะส่งผลให้แรงดันปลายสายสูงกว่าแรงดันต้นสาย

2) แรงดันวิกฤตมีค่าต่ำกว่าสภาวะปกติ ปรากฏการณ์เช่นนี้เกิดจากสภาพดินฟ้าอากาศเปลี่ยนแปลง เช่น ฝนตก ความชื้นในอากาศ และความกดดันของอากาศโดยรอบเปลี่ยนแปลงไปจากเดิม

โดยเมื่อสนามไฟฟ้าหรือเกรเดียนต์แรงดันที่ผิวของตัวนำสายส่งในอากาศมีค่าเกินจุดเบรกดาวน์ของอากาศจะทำให้อากาศรอบๆ ตัวนำเกิดการแตกตัวขึ้นหรือที่เรียกว่าการเกิดโคโรนา ซึ่งในการทดสอบอากาศแห้งที่ความดันบรรยากาศจะได้ผลของค่าสนามไฟฟ้าที่ทำให้อากาศเกิดการเบรกดาวน์ที่ค่าประมาณ 2,200 kV/m (Sima et al., 2004) ดังนั้นในงานวิจัยนี้จึงสมมติสภาวะการเกิดโคโรนาขึ้น โดยสมมติให้บริเวณที่ผิวตัวนำของสายส่งมีค่าสนามไฟฟ้าที่สูงพอจะทำให้อากาศเกิดการเบรกดาวน์ได้ ดังแสดงค่าสนามไฟฟ้าบริเวณที่ผิวตัวนำของสายส่งทางกราฟิกได้ดังรูปที่ 5.1 และ 5.2 อันมีสาเหตุเกิดจากสภาวะแวดล้อมที่ผิดปกติที่ได้กล่าวไว้ในข้างต้น



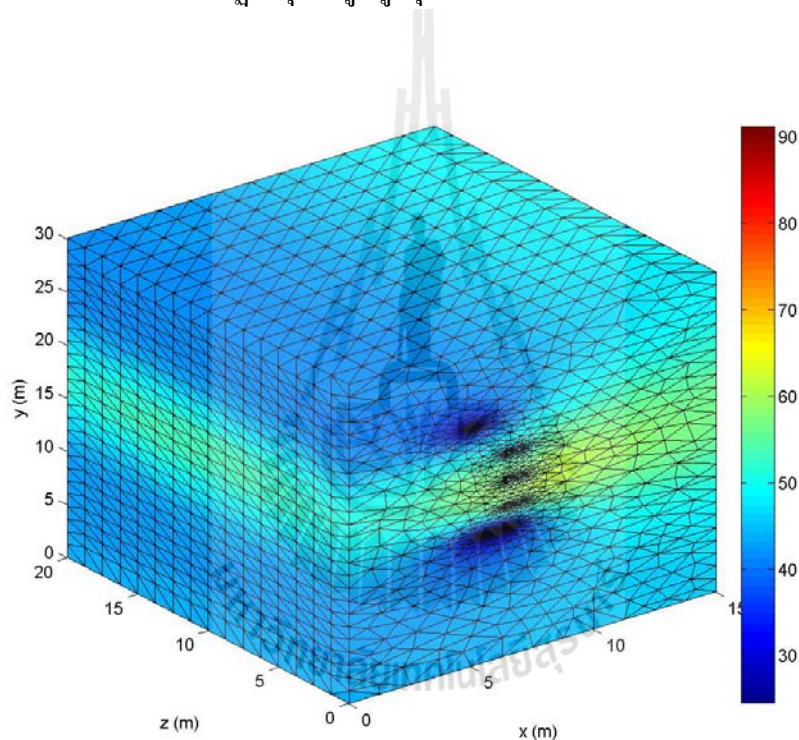
รูปที่ 5.1 ค่าสนามไฟฟ้า (kV/m) เมื่อเกิดโคโรนาบริเวณขอบของระบบส่งจ่าย 115 kV ที่พาดผ่านระบบจำหน่าย 22 kV



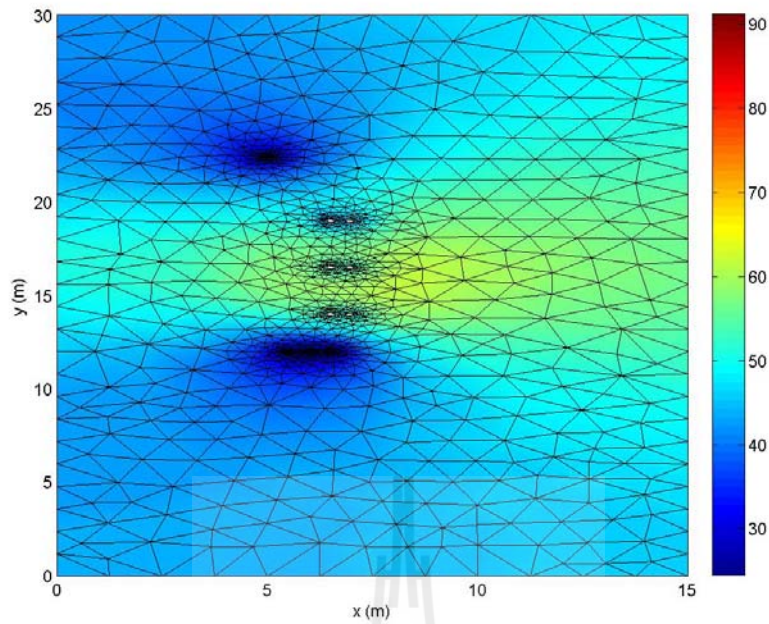
รูปที่ 5.2 ภาพตัดขวางค่าสนามไฟฟ้า (kV/m) เมื่อเกิดโคโรนาของระบบส่งจ่าย 115 kV ที่พาดผ่านระบบจำหน่าย 22 kV

5.3 ผลการจำลองอุณหภูมิที่เกิดจากปรากฏการณ์โคโรนา

การเกิดปรากฏการณ์โคโรนาจะทำให้กำลังไฟฟ้าถูกเปลี่ยนสภาพเป็นทั้งความร้อน แสง เสียง เคมี และคลื่นแม่เหล็กไฟฟ้า (ชวลิต, 2533) ดังนั้นเนื่องจากการเกิดโคโรนาจะทำให้กำลังไฟฟ้าถูกเปลี่ยนสภาพไปได้หลายทาง ในงานวิจัยนี้จึงสมมติให้การเกิดโคโรนาจะทำให้ถูกเปลี่ยนสภาพเป็นความร้อนเพียง 10% ที่เหลือจะถูกเปลี่ยนสภาพไปในรูปแบบอื่น และการจำลองผลของความร้อนในหัวข้อนี้จะพิจารณาเมื่อระบบเข้าสู่สภาวะคงตัวแล้ว ดังแสดงค่าอุณหภูมิในระบบส่งจ่ายกำลังไฟฟ้าขนาด 115 kV ที่พาดผ่านระบบจำหน่าย 22 kV ของการไฟฟ้าส่วนภูมิภาคเมื่อเกิดโคโรนาขึ้นได้ดังรูปที่ 5.3 และ 5.4 พร้อมแสดงค่าอุณหภูมิสูงสุดที่ตำแหน่งตัวนำต่างๆ เมื่อเกิดโคโรนาขึ้นได้ดังตารางที่ 5.1 ซึ่งจากผลการจำลองที่ปรากฏค่าอุณหภูมิสูงสุดของระบบเมื่อเกิดโคโรนาขึ้นมีค่าสูงถึง 91.5°C



รูปที่ 5.3 ค่าอุณหภูมิ ($^{\circ}\text{C}$) เมื่อเกิดโคโรนาบริเวณขอบของระบบส่งจ่าย 115 kV ที่พาดผ่านระบบจำหน่าย 22 kV



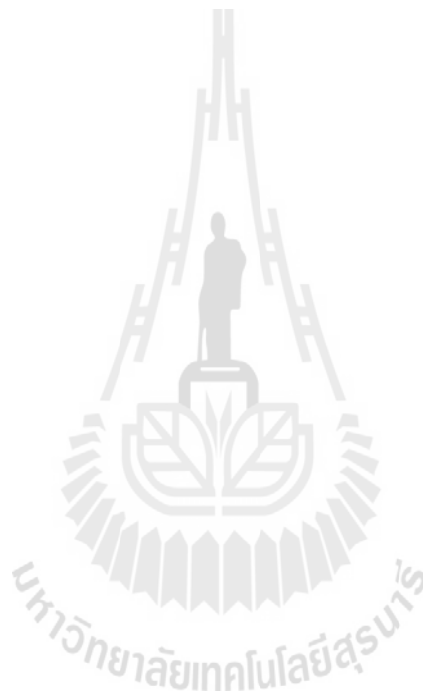
รูปที่ 5.4 ภาพตัดขวางค่าอุณหภูมิ ($^{\circ}\text{C}$) เมื่อเกิดโคโรนาของระบบส่งจ่าย 115 kV ที่พาดผ่านระบบ
จำหน่าย 22 kV

ตารางที่ 5.1 ค่าอุณหภูมิสูงสุดที่ตำแหน่งตัวนำต่างๆ เมื่อเกิดโคโรนา

ตัวนำ/เฟส	อุณหภูมิสูงสุด ($^{\circ}\text{C}$)
115kV/A	70.05
115kV/B	91.05
115kV/C	76.08
22kV/A	25.36
22kV/B	25.40
22kV/C	25.49

5.4 สรุป

บทที่ 5 เป็นการจำลองผลค่าสนามไฟฟ้าและอุณหภูมิเมื่อเกิดปรากฏการณ์โคโรนา ในระบบส่งจ่าย 115 kV ที่พาดผ่านสายส่งในระบบจำหน่าย 22 kV ด้วยระเบียบวิธีไฟไนต์เอลิเมนต์แบบ 3 มิติที่พัฒนาขึ้นด้วย MATLAB™ โดยได้สมมติให้บริเวณที่ผิวตัวนำของสายส่งมีค่าสนามไฟฟ้าที่สูงพอจะทำให้เกิดโคโรนาได้ ซึ่งค่าสนามไฟฟ้าของระบบที่สูงนี้ก็ส่งผลให้อุณหภูมิที่ตำแหน่งตัวนำต่างๆ ของสายส่งมีค่าที่สูงตามไปด้วย



บทที่ 6

สรุปและข้อเสนอแนะ

6.1 สรุป

งานวิจัยนี้ ได้นำเสนอแบบจำลองทางคณิตศาสตร์ซึ่งอยู่ในรูปของสมการอนุพันธ์ย่อยและการจำลองผลค่าสนามไฟฟ้าและอุณหภูมิเมื่อเกิดปรากฏการณ์โคโรนาขึ้นในระบบส่งจ่ายขนาด 115 kV ที่พาดผ่านระบบจำหน่าย 22 kV ของการไฟฟ้าส่วนภูมิภาค เพื่อเป็นแนวทางในการหาทางป้องกันผลกระทบของอุณหภูมิที่เกิดจากปรากฏการณ์โคโรนา การจำลองผลได้ใช้ระเบียบวิธีไฟไนท์อีลิเมนต์แบบ 3 มิติ ด้วยโปรแกรม MATLABTM ที่พัฒนาขึ้นเอง พร้อมแสดงผลทางกราฟิกของสนามไฟฟ้าและความร้อนที่เกิดขึ้น

ในบทที่ 2 เป็นขั้นตอนการพัฒนาแบบจำลองทางคณิตศาสตร์ของสนามไฟฟ้าและอุณหภูมิซึ่งอยู่ในรูปของสมการอนุพันธ์ย่อยอันดับสอง และอธิบายถึงขั้นตอนต่าง ๆ ในการประยุกต์ใช้ระเบียบวิธีไฟไนท์อีลิเมนต์แบบ 3 มิติ โดยได้เลือกใช้วิธีการถ่วงน้ำหนักเศษตกำลังของกาลเลอร์กิน ส่วนในบทที่ 3 เป็นการอธิบายถึงโปรแกรมจำลองผลสนามไฟฟ้าด้วยระเบียบวิธีไฟไนท์อีลิเมนต์แบบ 3 มิติ พร้อมนำเสนอผลการจำลองการกระจายค่าสนามไฟฟ้าของระบบส่งจ่าย 115 kV ที่พาดผ่านระบบจำหน่าย 22 kV ของการไฟฟ้าส่วนภูมิภาค โดยกระบวนการสร้างกริดแบบ 3 มิติได้เลือกใช้โปรแกรมสำเร็จรูปที่ชื่อว่า Solidworks ในบทที่ 4 เป็นการอธิบายถึงโปรแกรมจำลองผลของอุณหภูมิด้วยระเบียบวิธีไฟไนท์อีลิเมนต์แบบ 3 มิติ เช่นกัน โดยนำเสนอผลการจำลองการกระจายค่าความร้อนของระบบ พร้อมเปรียบเทียบผลการจำลองกับผลการทดสอบจริงซึ่งผลที่ได้จากการจำลองมีความสอดคล้องไปในทิศทางเดียวกันกับผลที่ได้จากการทดสอบจริง และในบทที่ 5 เป็นการนำเสนอผลการจำลองของสนามไฟฟ้าและอุณหภูมิที่เกิดจากปรากฏการณ์โคโรนา เพื่อศึกษาถึงผลกระทบของความร้อนบริเวณสายส่งที่เกิดจากปรากฏการณ์โคโรนา โดยได้สมมติให้บริเวณที่ผิวตัวนำของสายส่งมีค่าสนามไฟฟ้าที่สูงพอจะทำให้เกิดโคโรนาได้ ซึ่งค่าสนามไฟฟ้าของระบบที่สูงนี้ก็ส่งผลให้อุณหภูมิที่ตำแหน่งตัวนำต่างๆ ของสายส่งมีค่าที่สูงตามไปด้วย

6.2 ข้อเสนอแนะงานวิจัยในอนาคต

1. โครงสร้างของระบบทั้งหมดที่ใช้ในการจำลองผล อาทิเช่น ลูกถ้วย, เสาไฟฟ้า และอื่น ๆ ควรมีเข้ามาเพิ่มเติมในระบบ เพื่อให้ได้ผลเฉลยที่ถูกต้องและชัดเจนมากขึ้น แต่ทั้งนี้ก็เป็นการเพิ่มความยุ่งยากและความซับซ้อนในการพิจารณาตามมา

2. ศึกษาถึงผลกระทบของการเกิดโคโรนาที่อาจเป็นอันตรายต่อมนุษย์ที่อยู่บริเวณใต้แนวสายส่งไฟฟ้าแรงสูง

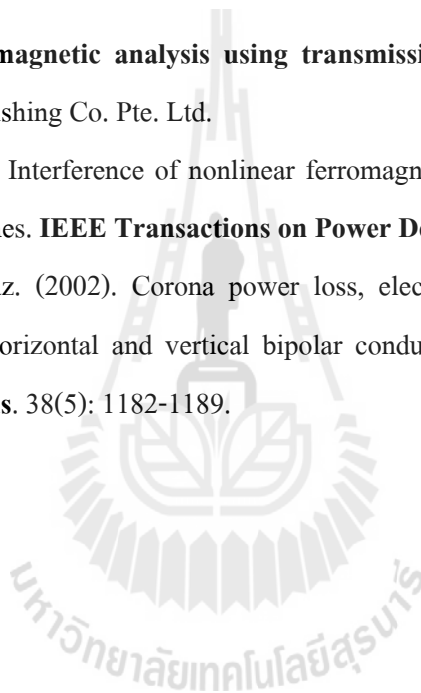


บรรณานุกรม

- ชวลิต คำรรัตน์. (2533). การส่งจ่ายกำลังไฟฟ้า. กรุงเทพฯ ฯ: ซีเอ็ดยูเคชั่น.
- นิรันดร์ คำประเสริฐ. (2545). วิศวกรรมแม่เหล็กและวิศวกรรมไมโครเวฟ เล่ม2. (พิมพ์ครั้งที่ 3). กรุงเทพฯ ฯ: ศูนย์สื่อเสริมกรุงเทพ.
- ปราโมทย์ เดชะอำไพ. (2544). ระเบียบวิธีเชิงตัวเลขในงานวิศวกรรม (พิมพ์ครั้งที่ 3). กรุงเทพฯ ฯ: จุฬาลงกรณ์มหาวิทยาลัย.
- เผด็จ เผ่าละอ. (2548). การออกแบบแนวใหม่ของมอเตอร์เหนี่ยวนำเพื่อลดการลั่นสะเทือนโดยวิธีไฟไนท์อีลิเมนต์. วิทยานิพนธ์คุุณบัณฑิต. สาขาวิชาวิศวกรรมไฟฟ้า มหาวิทยาลัยเทคโนโลยีสุรนารี.
- สำราญ สังข์สะอาด. (2528). วิศวกรรมไฟฟ้าแรงสูง. กรุงเทพฯ ฯ: จุฬาลงกรณ์มหาวิทยาลัย.
- Christopoulos, C., (1995). **The transmission-line modeling method: TLM**. USA: IEEE Press.
- Frazier, M. J., and Dabkowski, J. (1985). Magnetic coupled longitudinal electric field measurements on two transmission lines. **IEEE Transaction on Power Apparatus and Systems**. 104(4): 933-940.
- Gallagher, T. J., and Dudurych, I. M. (2004). Model of corona for an EMTP study of surge propagation along HV transmission lines. **IEE Proc.-Gener. Transm. Distrib.** 151(1): 61-66.
- Haber, F. (1974). The magnetic field in the vicinity of parallel and twisted three wire cable carrying balanced three-phased current. **IEEE Transactions on Electromagnetic Compatibility**. 16(2): 76-82.
- Hagel, R., Gong, L., and Unbehauen, R. (1994). On the magnetic field of an infinitely long helical line current. **IEEE Transactions on Magnetics**. 30(1): 80-84.
- Harrington, R. F., (2001). **Time-harmonic electromagnetic fields**. USA: IEEE Press.
- Hayt, Jr.W.H., and Buck, J.A. (2006). **Engineering electromagnetics (7th edition)**. Singapore: McGraw-Hill.
- Hossam-Eldin, A. A. (2001). Effect of electromagnetic fields from power lines on living organisms. **International Conference on Solid Dielectrics, IEEE**. 438-441.
- Huebner, K. H., Dewhurst, D. L., Smith, D. E., and Byrom, T. G. (2001). **The finite element method for engineer** (4th ed.). USA: John Wiley & Sons Inc.

- Keikko, T., Kuusiluoma, S., Sauramaki, T., and Korpinen, L. (2002). Comparison of electric and magnetic fields near 400 kV electric substation with exposure recommendations of the european union. **Transmission and Distribution Conference, Asia Pacific, IEEE/PES.** 1230-1234.
- Kirawanich, P., Gleason, D., Cornell, A., and Islam, N. E. (2005). Analysis of field through apertures by applying transmission line matrix method to electromagnetic topology simulations. **IEEE Transactions on Electromagnetic Compatibility.** 883-887.
- Kuusiluoma, S., Keikko, T., Hovila, and Korpinen, L. (2000). Comparison of electric and magnetic fields from electric power systems with exposure recommendations of the european union. **IEEE Proceeding International Conference.** 843-848.
- Lang, P. G., Allan, D. M., and Zhou, Y. (1994). The investigation of insulation defects in transmission line disc insulators using remote detection techniques. **IEEE Proceeding of the 4th International Conference on Properties and Applications of Dielectric Materials.** 868-871.
- Maruvada, P. S., Nguyen, D. H., and Hamadani-Zadeh, H. (1989). Studies on Modeling corona attenuation of dynamic overvoltages. **IEEE Transactions on Power Delivery.** 4(2): 1441-1449.
- Maruvada, P. S. (1993). Characterization of power frequency magnetic fields in different environments. **IEEE Transactions on Power Delivery.** 8(2): 598-606.
- Moser, J. R., and Spencer, R. F., JR. (1968). Predicting the magnetic fields from a twisted-pair cable. **IEEE Transactions on Electromagnetic Compatibility.** 10(3): 324-329.
- Olsen, R. G., Deno, D., and Baishiki, R. S. (1998). Magnetic fields from electric power lines theory and comparison to measurements. **IEEE Transactions on Power Delivery.** 3: 2127-2136.
- Pedrow, P. D., Qin B. L., and Wang, Q. Y. (1993). Influence of load current on bipolar dc corona. **IEEE Transactions on Power Delivery.** 8(3): 1443-1450.
- Pettersson, P. (1996). Principles in transmission line magnetic field reduction. **IEEE Transactions on Power Delivery.** 11(3): 1587-1593.
- Qin B. L., and Pedrow, P. D. (1994). Particle-in-cell simulation of bipolar dc corona. **IEEE Transactions on Dielectrics and Electrical Insulation.** 1(6): 1104-1118.
- Sadiku, M. N. O., and Peterson, A. F. (1990). A comparison of numerical methods for computing electromagnetic fields. **Southeastcon'90 proceeding, IEEE.** 42-47.

- Shenfeld, S. (1969). Magnetic fields of twisted-wire pairs. **IEEE Transactions on Electromagnetic Compatibility**. 11(4): 164-169.
- Sima, W., Espino-Cortes, F. P., Cherney, E. A., and Jayaram, S. H. (2004). Optimization of corona ring design for long-rod insulators using FEM based computational analysis. **IEEE International Symposium on Electrical Insulation**. 480-483.
- Stewart, J. R., Oppel, L. J., Thomann, G. C., Dorazio, T. F., and Brown, M. T. (1992). Insulation coordination, environmental and system analysis of existing double circuit line reconfigured to six-phase operation. **IEEE Transactions on Power Delivery**. 7(3): 1628-1633.
- Weiner, M., (2001). **Electromagnetic analysis using transmission line variables**. Singapore: World Scientific Publishing Co. Pte. Ltd.
- Yang, X., and Xu, X. (1996). Interference of nonlinear ferromagnetic pipeline on magnetic field produced by power lines. **IEEE Transactions on Power Delivery**. 11(2): 644-649.
- Zakariya, M., and Al-Hamouz. (2002). Corona power loss, electric field, and current density profiles in bundled horizontal and vertical bipolar conductors. **IEEE Transactions on Industry Applications**. 38(5): 1182-1189.



ภาคผนวก

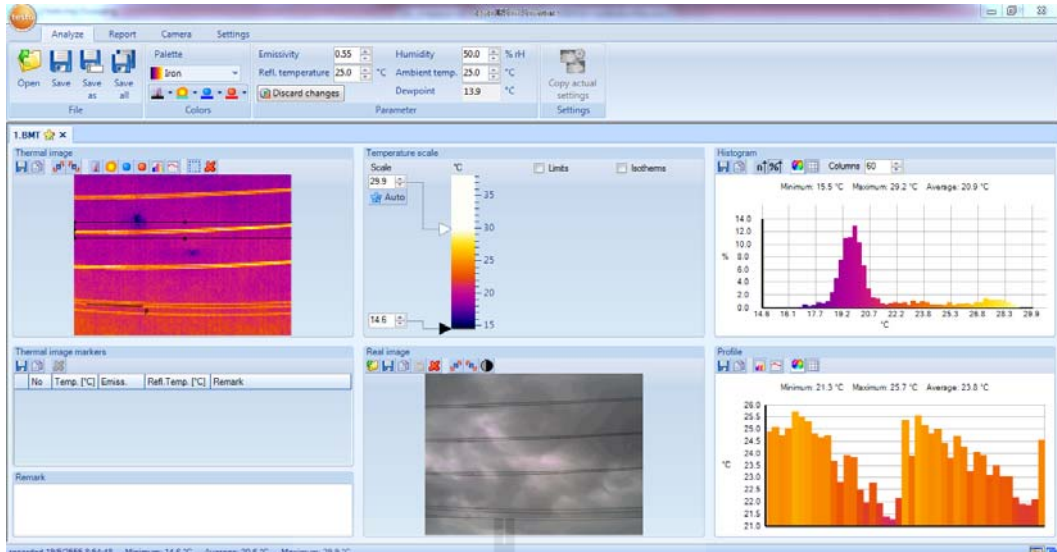
ภาพแสดงเครื่องมือและการวัดอุณหภูมิของสายส่งกำลังไฟฟ้า

การแสดงผลเครื่องมือวัดและการวัดอุณหภูมิของสายส่งกำลังไฟฟ้า 115 kV และ 22 kV ของงานวิจัยนี้ สามารถแสดงได้ดังรูปที่ ก.1



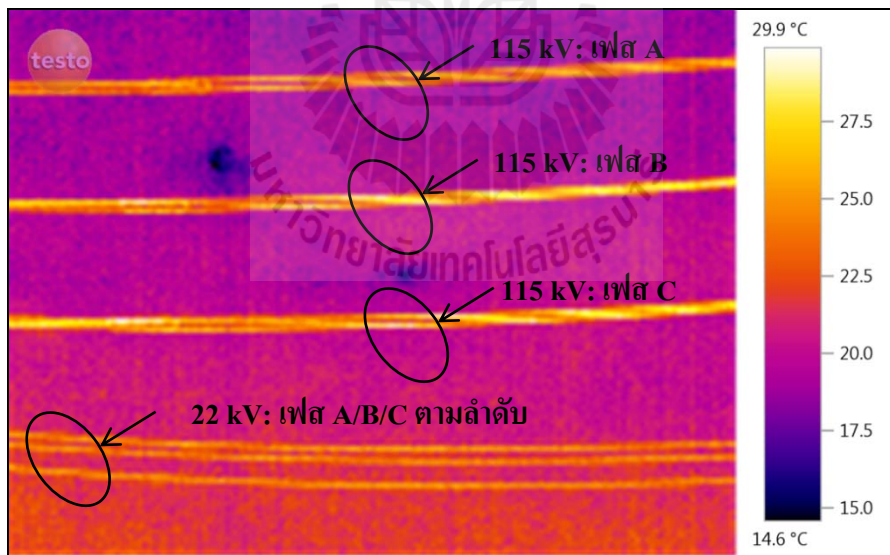
รูปที่ ก.1 กล้องถ่ายภาพความร้อน (Thermo imager) รุ่น TESCO 880

ซึ่งกล้องถ่ายภาพความร้อนนี้สามารถส่งผ่านข้อมูลเพื่อประมวลผลด้วยโปรแกรมการวิเคราะห์อุณหภูมิ TESCO IRSoft software ได้ดังแสดงด้วยรูปที่ ก.2

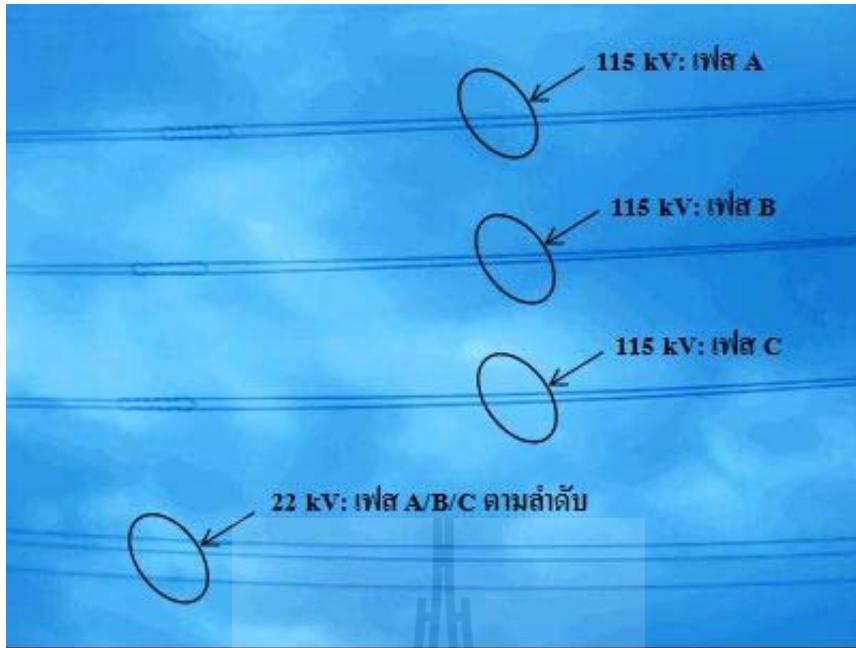


รูปที่ ก.2 โปรแกรมวิเคราะห์การวัดอุณหภูมิ TESCO IRSoft software

และโปรแกรมการวิเคราะห์การวัดอุณหภูมิ TESCO IRSoft software สามารถแสดงผลการวัดอุณหภูมิในลักษณะของภาพถ่ายทางความร้อนและภาพจริง และแสดงค่าอุณหภูมิในลักษณะแบบจุดและแบบกราฟได้ดังแสดงด้วยรูปที่ ก.3



ก) ภาพถ่ายทางความร้อนของสายส่งกำลังไฟฟ้าในงานวิจัย



ข) ภาพถ่ายจริงของสายส่งกำลังไฟฟ้าในงานวิจัย

รูปที่ ก.3 ภาพถ่ายทางความร้อนและภาพถ่ายจริงจากกล้องถ่ายภาพความร้อน

ประวัติผู้วิจัย

ผู้ช่วยศาสตราจารย์ ดร.เผด็จ เผ่าละออ เป็นอาจารย์ประจำสาขาวิชาวิศวกรรมไฟฟ้า สำนักวิชา วิศวกรรมศาสตร์ มหาวิทยาลัยเทคโนโลยีสุรนารี สำเร็จการศึกษาในระดับปริญญาตรี ปริญญาโท และปริญญาเอก จากสาขาวิชาวิศวกรรมไฟฟ้า มหาวิทยาลัยเทคโนโลยีสุรนารี ดำเนินงานวิจัยด้าน Applied FEM for Electromagnetic Field, for Electrical Machine, and for Heat Transfer และ Applied AI มีผลงานวิจัยตีพิมพ์ระดับชาติและนานาชาติมากกว่า 30 เรื่อง จดสิทธิบัตร 1 ผลงาน และ ลิขสิทธิ์โปรแกรม 3 ผลงาน

นายพีร วัจน์ มีสุข สำเร็จการศึกษา ระดับปริญญาวิศวกรรมศาสตร บัณฑิต (วิศวกรรมไฟฟ้า) จากมหาวิทยาลัยเทคโนโลยีสุรนารี จังหวัดนครราชสีมา ในปี พ.ศ.2551 ภายหลังสำเร็จการศึกษาได้เข้าศึกษาต่อระดับบัณฑิตศึกษาหลักสูตรวิศวกรรมศาสตร มหาบัณฑิต สาขาวิชาวิศวกรรมไฟฟ้า มหาวิทยาลัยเทคโนโลยีสุรนารี โดยขณะศึกษาได้เป็นผู้ช่วยสอน ปฏิบัติการของสาขาวิชาวิศวกรรมไฟฟ้า ทั้งนี้มีความสนใจในด้านการวิเคราะห์ระบบไฟฟ้ากำลัง สนามแม่เหล็กไฟฟ้าและการประยุกต์ใช้ระเบียบวิธีไฟในทอพลิเมนต์ในงานระบบไฟฟ้ากำลัง